

РАДИО

12'92



ch 1/48

РАДИО

12 • 1992

ЕЖЕМЕСЯЧНЫЙ
НАУЧНО-ПОПУЛЯРНЫЙ
РАДИОТЕХНИЧЕСКИЙ
ЖУРНАЛ

ИЗДАЕТСЯ С 1924 ГОДА

УЧРЕДИТЕЛИ:
ЖУРНАЛИСТИКИЙ
КОЛЛЕКТИВ "РАДИО",
ЦС СОСТО СГ

Главный редактор
А. В. ГОРОХОВСКИЙ

Редакционная коллегия:

И. Т. АКУЛИНИЧЕВ,
В. М. БОНДАРЕНКО, С. Г. БУНИН,
А. М. ВАРБАНСКИЙ, Г. П. ГИЧКИН,
И. Г. ГЛЕБОВ, А. Я. ГРИФ,
Ю. В. ГУЛЯЕВ, А. С. ЖУРАВЛЕВ,
А. Н. ИСАЕВ, Н. В. КАЗАНСКИЙ,
Е. А. КАРНАУХОВ, Э. В. КЕШЕК,
В. И. КОЛОДИН, В. В. КОПЬЕВ,
А. Н. КОРОТОНОШКО,
В. Г. МАКОВЕЕВ, В. В. МИГУЛИН,
А. Л. МСТИСЛАВСКИЙ
(отв. секретарь),
А. Р. НАЗАРЬЯН, В. А. ОРЛОВ,
С. Г. СМЕРНОВА, Б. Г. СТЕПАНОВ
(зам. главного редактора),
В. И. ХОХЛОВ

Художественный редактор
Г. А. ФЕДотова
Корректор
Т. А. ВАСИЛЬЕВА

Адрес редакции: 103045, Москва,
Селиверстов пер., 10.

Телефоны:

Для справок и группа работы
с письмами — 207-77-28.

Отделы: популяризации науки, техники
и радиолюбительства — 207-87-39;
общей радиоэлектроники — 207-72-54 и
207-88-18; бытовой радиоэлектроники —
208-83-05 и 207-89-00; микропроцес-
сорной техники — 208-89-49; инфор-
мации, технической консультации
и рекламы — 208-99-45; оформления —
207-71-69.
МП "Символ-Р" — 208-81-79.
Факс (0-95) 208-13-11.

Сдано в набор 1.10.1992.

Подписано к печати 19.11.1992 г.
Формат 70 × 100/16. Бумага
офсетная. Гарнитуры «Таймс»
и «Журнально-рублиная». Печать
офсетная. Объем 4 печ. л., 2 бум. л.
Усл. печ. л. 5,16. Тираж 357 100 экз.
Зак. 1217, в розницу — свободная цена.

Ордена Трудового Красного Знамени
Чеховский полиграфический комбинат
Министерства печати и информации
Российской Федерации
142300, Чехов Московской обл.

В НОМЕРЕ:

- 2 ТЕХНИКА НАШИХ ДНЕЙ
А. Долгий. «ЭЛЕКТРОНИКА МС 1502» — IBM PC У ВАС ДОМА
- 5 СМОТРИМ. СЛУШАЕМ
М. Парамонов. ПРИЕМ RTTY-СТАНЦИЙ
- 6 РАДИОЛЮБИТЕЛЬСТВО И СПОРТ
Г. Члиянц. МЕЖДУНАРОДНЫЕ ПОЧТОВЫЕ «ДЕНЬГИ». И. Паш-
куль, Ш. Торбич. ВОКРУГ ЗЕМЛИ... НА АВТОБУСЕ (с. 6).
CQ-U (с. 7)
- 8 ДЛЯ БЫТА И НАРОДНОГО ХОЗЯЙСТВА
ДОРАБОТКА ЭЛЕКТРОННЫХ ЧАСОВ. А. Кузема. УСТРОЙСТВО
БЛОКИРОВКИ ПИТАНИЯ ЭЛЕКТРОУСТАНОВКИ (с. 10)
- 11 ЭЛЕКТРОНИКА ЗА РУЛЕМ
С. Гуреев. ЗАРЯДНОЕ УСТРОЙСТВО-АВТОМАТ
- 13 МИКРОПРОЦЕССОРНАЯ ТЕХНИКА
М. Короткий. КОНТРОЛЛЕР НГМД ДЛЯ «ОРИОНА-128». А. Голов-
кин. ПРОГРАММА ROMMONITOR (с. 15). М. Шамсрахманов.
СОПРЯЖЕНИЕ ДЖОЙСТИКА С «РАДИО-86РК» (с. 16). В. Чер-
нышов. САМОЗАПУСК ПРОГРАММ НА «РАДИО-86РК» (с. 18).
В. Эдишерашвили. ВОССТАНОВЛЕНИЕ ИСПОРЧЕННЫХ ФАЙЛОВ
(с. 19)
- 20 ВИДЕОТЕХНИКА
В. Вовченко. ПУЛЬТ И ДЕШИФРАТОР СДУ НА ИК ЛУЧАХ
- 23 ИСТОЧНИКИ ПИТАНИЯ
П. Алешин. СВЕТОДИОД В НИЗКОВОЛЬТНОМ СТАБИЛИЗАТОРЕ
НАПРЯЖЕНИЯ
- 25 ЗВУКОТЕХНИКА
А. Фрунзе. О ПОВЫШЕНИИ КАЧЕСТВА ЗВУЧАНИЯ АС
- 29 РАДИОПРИЕМ
И. Нечаев. КОНВЕРТЕРЫ КВ ДИАПАЗОНА
- 32 РАДИОЛЮБИТЕЛЮ-КОНСТРУКТОРУ
А. Шифрин. УДВОЕНИЕ ЧАСТОТЫ ИМПУЛЬСНОГО СИГНАЛА.
А. Леонтьев, С. Лукаш. БЕСКОНТАКТНЫЙ ПЕРЕКЛЮЧАТЕЛЬ
(с. 33)
- 34 ПРОМЫШЛЕННАЯ АППАРАТУРА
С. Горелов. АКТИВНАЯ АКУСТИЧЕСКАЯ СИСТЕМА «ЯУЗА»
- 35 ЭЛЕКТРОННЫЕ МУЗЫКАЛЬНЫЕ ИНСТРУМЕНТЫ
А. Студнев. ЦИФРОВОЙ МУЗЫКАЛЬНЫЙ СИНТЕЗАТОР
- 40 «РАДИО» — НАЧИНАЮЩИМ
Школа начинающего радиолюбителя. Б. Сергеев. БИПОЛЯРНЫЙ
ТРАНЗИСТОР: КАК ЕГО ПРОВЕРИТЬ. С паяльником в руках.
Ю. Верхало. «ПОЮЩИЕ» ПРИБОРЫ (с. 43). Д. Синьков.
ЗВОНОК СТАЛ КОДОВЫМ (с. 45)
- 46 ИЗМЕРЕНИЯ
О. Старостин. ПРИБОРЫ РАДИОИЗМЕРИТЕЛЬНЫЕ. Осциллогра-
фы
- 48 ЦИФРОВАЯ ТЕХНИКА
С. Алексеев. ПРИМЕНЕНИЕ МИКРОСХЕМ СЕРИИ 564
- 52 ВОЗВРАЩАЯСЬ К НАПЕЧАТАННОМУ
ЕЩЕ РАЗ О ПИТАНИИ РАДИОПРИЕМНИКОВ ОТ СЕТИ
- ДОСКА ОБЪЯВЛЕНИЙ (с. 59—64)

На первой странице обложки. Неумирающий «Радио-86РК»! В планах редакции на 1993 г. — публикация описания контроллера НГМД и универсального программатора.

Фото В. Афанасьева

За последние годы многие читатели изготовили или приобрели один из описанных в журнале «Радио» компьютеров («Микро-80», «Радио-86РК», «Орбон-128») или их многочисленные аналоги, выпускаемые различными предприятиями и кооперативами. Широко распространены среди любителей и аналоги компьютеров «Специалист», «ZX-Spectrum». При всех различиях, это — устройства примерно одного класса.

После того, как проходит период изучения и освоения такого компьютера, его возможности перестают казаться безграничными. Все чаще возникают ситуации, когда и памяти не хватает, и быстроедействие хотелось бы иметь побольше, и ввод программ с магнитофона неудобен. Да и набор программ не слишком велик.

Первая реакция на это — желание усовершенствовать компьютер и разработать (или приобрести) недостающие программы. Но постепенно приходит понимание того, что дело здесь не в недостатках конкретной модели компьютера и его программного обеспечения, а в ограниченных возможностях микропроцессоров (КР580ВМ80 или Z80), на базе которых он построен. Возникает вопрос — что же делать?

Для тех, кто когда-нибудь пробовал работать на одном из компьютеров огромного семейства машин, совместимых с IBM PC, ответ очевиден — переходить на компьютер этого класса. Но как это сделать? Цены на импортные компьютеры таковы, что сами понимаете... Подобные им отечественные компьютеры ЕС-1840 и т. п. не многим дешевле, да и выпуск их ограничен. Достаточно простой, не требующей дефицитной комплектации и хорошо отработанной конструкции для самостоятельной сборки пока нет.

К счастью, все не так плохо. В последнее время в продаже появились сравнительно дешевые модели домашних компьютеров на базе микропроцессора КР1810ВМ88, изготовители которых заявляют об их совместимости с IBM PC. Автор этих строк приобрел один из таких компьютеров и делится с читателями впечатлениями о первых месяцах его эксплуатации.

Что выбрать?

Год назад в продаже были две модели совместимых с IBM PC бытовых компьютеров. Одну из них, «Поиск», выпускает киевское производственное объединение «Электронмаш». Другую, «Электроника МС1502», разработало киевское НПО «Микропроцессор», а выпускает завод «Континент» в г. Зеленодольске Днепропетровской области. Цена базовых блоков обоих компьютеров была примерно одинаковой: «Поиск» — 1400 руб., МС1502 — 1800 руб. Так что пришлось сравнивать и выбирать.

Оба компьютера рассчитаны на подключение к обычному телевизору — черно-белому или цветному, имеющему входы RGB. Можно работать и с любым телевизионным монитором, имеющим параметры развертки, соответствующие вещательному стандарту. В обоих компьютерах не применяется микросхема 6845 (1809ВГ6), на которой обычно строится стандартный видеоконтроллер CGA в IBM — совместимых компьютерах.

В «Поиске» видеоконтроллер выполнен на микросхемах средней степени интеграции и моделирует работу CGA только в графических режимах. Это значит, что все изображения могут состоять из

точек только четырех цветов. Точнее, возможны две переключаемые палитры по четыре цвета в каждой. Что касается вывода алфавитно-цифровых и псевдографических символов, то он реализован в том же графическом режиме видеоконтроллера, что сильно замедляет процесс вывода текстовых сообщений на экран дисплея компьютера.

В МС1502 видеоконтроллер построен на полупроводниковых БИС, так называемых базовых матричных кристаллах (БМК). Он реализует все функции стандартного CGA, за исключением светового пера, без которого, согласитесь, обойтись можно. В символьном и псевдографическом режимах можно пользоваться 16 разными цветами. Есть и графические режимы. Так что на компьютере МС1502 будут выполняться все программы, рассчитанные на видеоконтроллер CGA. Кстати, использование БМК привело к сокращению числа микросхем в базовом блоке компьютера. Их всего 65, в том числе 5 БМК. Базовый блок «Поиска» построен на 80 микросхемах.

Объем оперативной памяти в обоих базовых блоках одинаков — по 128 килобайт, но ПЗУ в МС1502 имеет объем 16 килобайт (в «Поиске» всего 8), в результате у него более мощные МОНИТОР и система ввода-вывода.

На базовой плате МС1502

имеются параллельный интерфейс ИРПР-М (Centronics), предназначенный в основном для подключения принтера, и последовательный интерфейс («токовая петля»). В «Поиске» они находятся на платах расширения. Так что МС1502 имеет преимущественно по всем перечисленным параметрам.

А вот еще несколько аргументов в его пользу:

- не нужен выносной блок питания (он встроен в базовый блок);

- более надежные разъемы для подключения плат расширения;

- большой набор программного обеспечения на магнитофонных кассетах (редактор текста, система управления базой данных, игровые программы);

- интерпретатор языка Бейсик в дополнительном ПЗУ (в «Поиске» Бейсик вводится с магнитофонной кассеты).

Я выбрал «Электроника МС1502». В приобретенный комплект, кроме базового блока, входили ПЗУ с интерпретатором «Бейсик-К», контроллер накопителя на гибких магнитных дисках, дискета с операционной системой С4-ДОС, дополнительное ОЗУ объемом 512 килобайт, а также матричный принтер «Электроника МС6313».

Первое включение!

После распаковки компьютера и установки его на столе сразу же выяснилось, что разъем прилагаемого к нему кабеля не подходит к моему видеомонитору. Пришлось найти в описании разводку этого разъема и заменить его. Кстати, для подключения компьютера к телевизорам ЗУСЦТ необходимо самостоятельно изготовить согласующее устройство, схема которого приводится в описании компьютера. Схема несложная, и непонятно, почему завод-изготовитель не поставляет готовое устройство вместе с компьютером.

Итак, включаем компьютер. Первая же надпись, появившаяся на экране, гласит: «БЕЙСИК-К не обнаружен». Все правильно, в разъем расширения не вставлена кассета ПЗУ с интерпретатором Бейсика. Впоследствии выяснилось, что это вовсе не обязательно. Кассету можно не вставлять, если не собираешься работать с Бейсиком.

Следующей появилась надпись «Тест ППЗУ завершен», после чего пошел тест ОЗУ. Он завершился сообщением «ОЗУ 128К», показывающим, что вся находящаяся на базовой плате память исправна и доступна программам. Кстати, если в разъем расширения вставлена кассета с дополнительным ОЗУ, будет проверена и она,

у вас дома

Таблица 1

а тест закончится сообщением «ОЗУ 640К». Но пока к компьютеру не подключена внешняя память — накопитель на гибких магнитных дисках, такой большой объем оперативной памяти практически не понадобится.

Затем на экране появилось и исчезло несколько загадочных картинок — это прошел тест видео-контроллера. Теперь настало время принять первое решение: нажав клавишу [↵] (аналог [BK], хорошо знакомой по «Радио-86РК»), завершить проверку компьютера или, нажав любую другую клавишу, начать тест клавиатуры и правильности воспроизведения цветов (если дисплей цветной) или градаций серого (если он черно-белый). Этот тест очень полезен при проверке и регулировке дисплея, но проводить его каждый раз не имеет смысла.

После окончания всех тестов на экране появляется красочная заставка с названиями компьютера и его разработчика, которая после нажатия любой клавиши сменяется приглашением МОНИТОРА. Теперь можно вводить и исполнять его директивы.

Все директивы МОНИТОРА перечислены в табл. 1. Как видим, ничего неожиданного нет. Имея опыт работы на «Радио-86РК», можно сразу же пользоваться и МОНИТОРОМ МС1502. Конечно, есть определенные отличия, связанные в основном со значительно большими возможностями этого компьютера и примененного в нем микропроцессора. Например, можно задавать адреса памяти в диапазоне от нуля до одного мегабайта, причем не только абсолютные, но и в виде смещения относительно значений сегментных регистров процессора. В директивах поиска и заполнения можно задавать список из нескольких образцов, значения которых могут быть и шестнадцатичными и символическими. При записи данных и воспроизведении их с магнитной ленты задают имя файла и его тип (программа или данные).

Кроме директив МОНИТОРА, в распоряжении пользователя МС1502 есть еще одно мощное средство. Это находящаяся в ПЗУ базовая система ввода-вывода. Как принято в IBM PC, будем называть ее ROM-BIOS или просто BIOS. Это аналог давно знакомых стандартных подпрограмм МОНИТОРА «Радио-86РК», но возможности BIOS несравненно шире.

Функции BIOS — это то «окно», через которое все выполняемые компьютером прикладные программы получают доступ к его ресурсам — памяти, клавиатуре, дисплею, принтеру, дисководом. Существуют строгие правила использования этих функций. Именно

МС1502	86РК	Выполняемая функция
0	-	Загрузка и запуск дисковой операционной системы
B	-	Вызов интерпретатора Бейсик-К
C	C	Сравнение содержимого двух областей памяти
D	D	Отображение на экране содержимого области памяти
E	M	Прокрутка и модификация содержимого памяти
F	F	Заполнение области памяти заданным значением
G	G	Запуск программы по заданному адресу
H	-	Сложение и вычитание шестнадцатичных чисел
I	-	Чтение байта из заданного порта
L	I	Загрузка программы с магнитофона
M	T	Пересылка содержимого одной области памяти в другую
O	-	Вывод байта в заданный порт
R	X	Вывод на экран и изменение содержимого регистров процессора
S	S	Поиск заданных значений в области памяти
V	-	Запуск серии тестов аналогичных выполняемым при включении компьютера
V1	-	Запуск теста устройства сопряжения с магнитофоном
V2	-	Запуск теста параллельного интерфейса
V3	-	Запуск теста последовательного интерфейса
VC	-	Проверка компьютера на отсутствие сбоев
W	O	Запись на магнитофон содержимого области памяти

этим достигается совместимость многочисленных компьютеров семейства IBM PC. Но, как и в «Радио-86РК», многие программисты нарушают эти правила. К ним относятся и авторы печально известных компьютерных вирусов, излюбленный прием которых — «перехватить» некоторые функции BIOS и выполнять их по-своему.

Функции BIOS (также как и расширяющие их функции дисковой операционной системы) часто называют прерываниями. Это понятие незнакомо пользователям «Радио-86РК» и требует некоторых пояснений.

Первоначально прерывание означало переход от выполнения одной программы к другой по внешнему сигналу, поступающему на специальный вход процессора. После окончания работы этой программы (обработки прерывания) процессор обычно продолжает выполнять первую программу с того места, где она была прервана. Такие прерывания, называемые аппаратными, предусмотрены в процессорах серии КР580. В их системе команд есть восемь однобайтных команд RST, по замыслу разработчиков процессора предназначенных именно для вызова программ обработки аппаратных прерываний. Но оказалось, что во многих случаях и для вызова обычных подпрограмм эти команды удобнее, чем стандартная команда CALL. Команды RST широко используются, например, в интерпретаторе BASIC*МИКРОН.

В процессорах серии КР1810 этот принцип нашел дальнейшее развитие. Здесь предусмотрено уже 256 команд прерывания. Первый килобайт адресного пространства процессора отведен для записи адресов подпрограмм обработки прерываний — так называемых векторов прерываний. Некоторые прерывания генерируются аппаратно — при возникновении особых ситуаций в самом процессоре (например, делении на ноль) или при подаче внешних сигналов запроса

прерывания от клавиатуры, принтера и т. п. Но все они могут быть вызваны и программой. Достаточно ввести в нее команду INT с указанием номера прерывания, и будет выполнена соответствующая подпрограмма. Это экономнее использования обычных команд вызова подпрограмм. Кроме того, если необходимо заменить одну подпрограмму другой (скажем, более совершенной), достаточно указать новый вектор в таблице, не изменяя основной программы.

Значительная часть программных прерываний закреплена за функциями ROM-BIOS. Они перечислены в табл. 2. Там, где это возможно, указан и адрес аналогичной подпрограммы МОНИТОРА «Радио-86РК». Конечно, аналогия здесь чисто функциональная и весьма отдаленная. Некоторые прерывания выполняют несколько функций, связанных с разными вариантами обслуживания одного и того же устройства. Как и перед вызовом стандартных подпрограмм МОНИТОРА «Радио-86РК», предварительно нужно занести в регистры процессора необходимые исходные данные. Номер функции указывается в регистре AH.

Работа с МОНИТОРОМ очень полезна на первом этапе освоения компьютера, так как позволяет понять основные принципы работы и структуры компьютера. Для того, чтобы освоить систему команд процессора, можно попробовать писать простейшие, из нескольких команд программы в машинных кодах. Но создать более или менее серьезную программу, пользуясь только МОНИТОРОМ, практически невозможно. Для этого нужно более основательное математическое обеспечение — редакторы текстов, ассемблеры, отладчики, трансляторы с языков высокого уровня. Все это обязательно появится у вас позже, а пока придется ограничиться теми программами, которые доставляет с компьютером его изготовитель.

Таблица 2

Прерывание		Функция	Аналог в Б6РК
INT	АН		
05H	—	Печать на принтере содержимого экрана	—
10H	—	Управление дисплеем	—
	00H	Установить видеорежим	0F802DH
	01H	Установить размер курсора	—
	02H	Установить позицию курсора	0F809H
	03H	Прочитать позицию курсора	0F81EH
	04H	Прочитать позицию светового пера (в MC1502 не реализована)	—
	05H	Переключение страниц экрана	—
	06H	Скроллинг экрана вверх	—
	07H	Скроллинг экрана вниз	—
	08H	Прочитать с экрана символ и его атрибуты	0F821H
	09H	Вывести на экран символ с заданными атрибутами	—
	0AH	Вывести на экран символ, не изменяя атрибуты	—
	0BH	Установить палитру	—
	0CH	Записать точку в графическом режиме	—
	0DH	Прочитать точку в графическом режиме	—
	0EH	Записать символ в режиме телетайпа	0F809H
	0FH	Прочитать параметры видеорежима	—
11H	—	Запрос списка оборудования компьютера	—
12H	—	Запрос размера памяти	0F830H
13H	—	Управление дисководом	—
	00H	Начальная установка	—
	01H	Прочитать статус дисковода	—
	02H	Чтение секторов	—
	03H	Запись секторов	—
	04H	Проверка секторов	—
	05H	Форматирование дорожки	—
14H	—	Управление последовательным интерфейсом	—
	00H	Установка параметров канала	—
	01H	Вывести один символ в канал	—
	02H	Принять один символ из канала	—
	03H	Прочитать статус канала	—
15H	—	Управление магнитофоном	—
	00H	Включить мотор (в MC1502 не реализована)	—
	01H	Выключить мотор (в MC1502 не реализована)	—
	02H	Читать блок данных	0F824H
	03H	Записать блок данных	0F827H
16H	—	Управление клавиатурой	—
	00H	Ввести символ с клавиатуры	0F803H
	01H	Определить готовность клавиатуры	0F812H
	02H	Прочитать статус клавиатуры	—
17H	—	Управление принтером	—
	00H	Вывести байт на принтер	0F80FH
	01H	Инициализация принтера	—
	02H	Прочитать статус принтера	—
18H	—	Запуск интерпретатора Бейсик-К	—
19H	—	Загрузка дисковой операционной системы	—
1AH	—	Запрос/установка текущего времени и даты	—
	00H	Прочитать текущее состояние счетчика часов	—
	01H	Установить новое состояние счетчика часов	—

Работаем с магнитофоном

В комплект поставки «Электроники MC1502» входят две магнитофонные кассеты. На одной из них записаны программы редактора текстов и системы управления базой данных, на другой — несколько десятков игровых программ.

Итак, прежде всего нужно подключить к компьютеру магнитофон.

Разъем для его подключения находится на задней стенке компьютера. Кабели в комплект не входят — предлагается пользоваться кабелями из комплекта магнитофона. По непонятной причине магни-

тофонные вход и выход в компьютере соединены вместе и выведены на один и тот же контакт одного и того же разъема. Это создает большие неудобства — при переходе от записи к воспроизведению или обратно приходится переключать кабели.

Ввод программ с магнитофона достаточно прост. Нужно найти на ленте начало нужной записи и выполнить директиву МОНИТОРА L. В этой директиве должно быть указано имя загружаемого файла. На вкладышах кассет, прилагаемых к компьютеру, перечислены записанные на них программы и соответствующие им имена файлов. Если имя файла, считанное с ленты, сов-

пало с указанным в директиве, то данные будут прочитаны и загружены в память. В противном случае записи пропускаются до совпадения имен. Примерно так же вводятся записи на «Радио-86РК» при работе с редактором текста ED.МИКРОН или с интерпретатором BASIC*МИКРОН.

Если сразу ввести какую-либо программу не удастся, не отчаивайтесь. Попробуйте изменить уровень сигнала, поступающего с магнитофона в компьютер, или просто повторите ввод несколько раз. Иногда приходится регулировать угол наклона универсальной головки магнитофона. В общем, проблемы, хорошо знакомые по «Радио-86РК».

Здесь нужно сказать несколько слов о качестве кассет. Как следует из прилагаемого к каждой из них талона, запись программ выполнена хозрасчетной фирмой «Доля» в г. Днепропетровской области. Ссылаясь на низкое качество кассет, в случае сбоев при вводе фирма предлагает бесплатную перезапись программ на чистую кассету, poslanую заказчиком. Но по моим наблюдениям, дело не столько в качестве кассет, сколько в отсутствии контроля качества продукции на этой фирме. Основные дефекты — низкий уровень сигнала, его резкие изменения, повышенная детонация могли быть выявлены при элементарном прослушивании записи. Конечно, организация выходного контроля — это дорого и невыгодно фирме. Куда проще свалить на потребителя поиск хорошей кассеты, хлопоты по ее пересылке, ожидание ответа. А хороший компьютер, стоящий куда дороже плохой кассеты, тем временем бездействует.

И еще о надежности ввода с магнитофона. Метод кодирования сигнала, принятый в MC1502, по-видимому, не самый лучший. Почему бы разработчикам компьютера не подумать об использовании широко распространенного и подтвердившего свою надежность метода, примененного в «Радио-86РК»?

Введенную программу запускают директивой МОНИТОРА G. Каждая из игр содержит подробную подсказку, в которой описаны ее правила, так что освоить их нетрудно. Эти же правила есть в прилагаемом к компьютеру описании. Прилагается и руководство по работе с редактором текстов и «Записной книжкой» — так называемая система управления базой данных. Они ориентированы на хранение текстов документов и других данных на магнитной ленте. Здесь мы не будем останавливаться на особенностях их работы, все подробно описано в руководстве.

(Окончание следует)

А. ДОЛГИЙ

г. Москва



ПРИЕМ RTTY - СТАНЦИЙ

Таблица 1

Номер комбинации	Кодовая комбинация	Регистры		
		ЛАТ.	РУС.	ЦИФ.
1	11000	A	A	—
2	10011	B	B	?
3	01110	C	C	:
4	10010	D	D	
5	10000	E	E	3
6	10110	F	Ф	Э
7	01011	G	Г	Ш
8	00101	H	Х	Щ
9	01100	I	И	8
10	11010	J	Й	Ю
11	11110	K	К	(
12	01001	L	Л)
13	00111	M	М	.
14	00110	N	Н	,
15	00011	O	О	9
16	01101	P	П	0
17	11101	Q	Я	1
18	01010	R	Р	4
19	10100	S	С	АПФ
20	00001	T	Т	5
21	11100	U	У	7
22	01111	V	Ж	=
23	11001	W	В	2
24	10111	X	Ь	/
25	10101	Y	Ы	6
26	10001	Z	З	+
27	00010		ВОЗВРАТ КАРЕТКИ	
28	01000		ПЕРЕВОД СТРОКИ	
29	11111		БУКВЫ ЛАТИНСКИЕ	
30	11011		ЦИФРЫ	
31	00100		ПРОБЕЛ	
32	00000		БУКВЫ РУССКИЕ	

Таблица 2

Частота, кГц	Время MSK	Скорость, Бод	Позывной	Станция
4489	00.18	50	GLF 22/23/24/26	METEO
4785,5	18.50	100	DHJ 51	GRENGEL METEO
5240	01.27	50	40C2	TANJUG
6920	19.20	50	РГЦ70/РГЦ72/РЩГ71	METEO
7622	20.00	75	IBH	NATO
7650	21.30	75	BZP57/BZR67	XINHUA
7658	19.30	50	YZD	TANJUG
7806	21.00	50	YZD7	TANJUG
7996	19.45	50	YZD9	TANJUG
8600	17.00	50	URD	РАДИО-БЮЛ-ЛЕТЕНЬ «МОЛЯК БАЛТИКИ»
9395	00.35	50	ATCC	RYONGYANG
10380	00.26	50		ТЕЛЕГРАММЫ НА РУССКОМ ЯЗЫКЕ
11035	01.03	50		—
11430	00.27	50	HMF55/HMF84	ОБЩИЙ ВЫЗОВ
11476	22.47	50	KCNAO	RYONGYANG
11527	02.05	50		—
11536	22.53	50	ATCC	—
11638	00.05	50		METEO

ЛИТЕРАТУРА

1. Демиденко А. Низкочастотный RTTY-конвертер. — Радио, 1985, № 9, с. 19.
2. Павлов М., Касминин Г. Телетайп из «Радио-86РК». — Радио, 1988, № 10, с. 17.

М. ПАРАМОНОВ

г. Москва



МЕЖДУНАРОДНЫЕ ПОЧТОВЫЕ "ДЕНЬГИ"

В своих письмах в редакцию радиолюбители часто спрашивают, что такое IRC?

Во многих странах существует документ, носящий название «Почтовые правила (кодекс)», один из параграфов которого гласит: «В оплату международной корреспонденции могут приниматься международные ответные купоны, выпускаемые Международным бюро Всемирного почтового союза. Они должны, как правило, иметь на лицевой стороне отпечаток календарного штемпеля иностранного почтового учреждения, продавшего купон. Незаштемпелеванный в порядке исключения также подлежит приему». В радиолюбительской практике этот купон (см. рис.) носит название IRC — INTERNATIONAL REPLY COUPON и широко используется для оплаты ответного письма, а также оплаты стоимости и пересылки радиолюбительских дипломов.

Какова история их возникновения?

Всемирный почтовый союз (ВПС), созданный в 1874 г., с начала своего существования пытался создать единую почтовую марку для всех стран, но из этого ничего не вышло. И только на VI Всемирном почтовом конгрессе в Риме в 1906 г. было принято решение ввести в обращение международные ответные купоны. Монополия их производства была предоставлена типографской фирме «Бершингер и К°» в швейцарском городе Эйнзидельне.

Первые международные ответ-



ные купоны поступили в обращение 1 ноября 1907 г. Тиражи купонов зависят от заказов почтовых ведомств стран. Так, например, в 1986 г. типография отпечатала 500 купонов для Самоа, а для ФРГ — 1 миллион. Всего же в 1986 г. напечатано 5 299 300 купонов для 69 стран.

Почтовые ведомства некоторых государств используют купоны, изданные для других стран, делая на них свои надпечатки.

В связи с девальвацией, изменением тарифов или названия валюты на купонах обычно делают надпечатки новых номиналов или наименований. Иногда это делается от руки или на купоны наклеивают почтовые марки на недостающую сумму. В последние годы все чаще IRC выпускаются без указания страны-заказчика и номинальной стоимости купона.

Международные ответные купоны получили свои названия от го-

родов, где проходили конгрессы Всемирного почтового союза и где утверждались их новые образцы. Так, купоны «Рим» — имели хождение с 1907 г. по 1974 г., «Лондон» — с 1930 г. по 1966 г., «Вена» — с 1967 г. по 1974 г., «Лозанна» — с 1975 г. и по настоящее время.

На оборотной стороне IRC имелась надпись: «Этот купон обменивается во всех странах Всемирного почтового союза на одну или несколько почтовых марок, представляющих стоимость оплаты простого письма в одну единицу веса по назначению за границу». Такой текст печатался на первых выпусках на четырех языках (немецком, английском, испанском, итальянском), а с шестидесятих годов — на шести (немецком, английском, испанском, арабском, китайском и русском). С 1992 г. надпись изменилась и теперь она гласит: «Этот купон обменивается во всех странах Всемирного почтового союза на одну или несколько почтовых марок, представляющих минимальную стоимость оплаты приоритетного отправления или простого письма, отправляемого за границу воздушным путем».

Где взять IRC? Ответить на этот вопрос трудно. Для тех, кто хочет их иметь, можно только посоветовать больше работать в эфире, организовывать всевозможные радиолюбительские экспедиции, которые будут представлять интерес для коротковолновиков мира. Кроме того, вопрос доступности IRC для большинства радиолюбителей можно решить, создавая специальные структуры. Одной из таких попыток является организация фонда экспедиций «World Gold Line» (103009, Москва, аб. ящ. 308, тел. 971-21-51), который и предполагает оказывать помощь радиолюбителям.

Г. ЧЛИЯНЦ (UY5XE)

г. Львов

ВОКРУГ ЗЕМЛИ ... НА АВТОБУСЕ

Продолжается кругосветная экспедиция «Hungarian World Bus DX-pedition» на серийно выпускаемом автобусе «Икарус-350», цель которой — популяризация достижений венгерской автомобильной промышленности. В экспедиции приняли участие и радиолюбители — Габор Ковач (HG5BKG), Иштван Химбергер (HG5CH1) и Имре Пашкуль (HA5HO). Во время этого путешествия длиной около 70 000 км предполагается провести не менее 100 000 QSO практически всеми видами радиосвязи, уделяя особое внимание RTTY, AMTOR (ARQ/FEC), PACKET RADIO.

Радиолюбителям всего мира предоставляется еще одна увлекательная возможность провести интересные опыты с антеннами, аппаратурой, прохождением радиоволн. Радиостанция экспедиции работает на всех диапазонах от 3,5 до 1296 МГц любым видом излучения.

Об антенном хозяйстве позаботилась фирма CUSHCRAFT. В стационарном варианте используются диполь на 3,5 и 7 МГц, 18AVT и четырехдиапазонная трехэлементная YAGI, а в мобильном — GP на 7, 14, 21, 144, 432 и 1296 МГц.

Автобус оснащен также двумя компьютерами: IBM PC AT и COMMODORE-64 со всей необходимой периферией.

Экспедиция имеет BBS (позывной HA5HO, частота — 14 105 кГц). Здесь можно передавать различные сообщения для участников экспедиции и получать информацию о ней.

Радиостанция экспедиции работала следующими позывными: ZAIHA (во время пробного выезда в Албанию), OE, DL, UA, EP, VU, S2/HA5BUS. Организаторы экспедиции предполагают учредить диплом трех степеней, который будет выдаваться за проведение связей с HA5BUS. QSL-карточки высылаются по адресу: Hungary 1311 Budapest, P. O. Box 49. Globex.

Итак, позади уже немало стран Европы и Азии. В маршрут экспедиции входит и Австралийский континент.

И. ПАШКУЛЬ (HA5BUS), Ш. ТОРБИЧ (UB5DUX)



INFO-INFO-INFO

СОРЕВНОВАНИЯ

Первые украинские телефонно-телеграфные международные соревнования на диапазоне 160 м (1830...1930 кГц) пройдут в период с 21.00 16 января до 5.00 17 января 1993 г. (время UT). К участию в них приглашаются операторы любительских радиостанций и наблюдатели в возрасте до 18 лет включительно из всех стран мира (они составят соответственно первую и третью подгруппы) и украинские коротковолновики старше 18 лет (вторая подгруппа).

Контрольные номера, которыми обмениваются операторы, — пяти-символьные. У соревнующихся из первой подгруппы, а также членов клуба «Радио-ТЛУМ», находящихся за пределами Украины, он состоит из порядкового номера связи и возраста участника, девушки (женщины) — участницы вместо возраста передают число 88. Украинские радиолубители старше 18 лет после номера связи сообщают двухбуквенное кодовое название своего региона.

С каждым корреспондентом разрешается проводить по две связи (по два наблюдения), но разными видами излучения и не ранее, чем через полчаса после установления предыдущей. Смешанные связи не засчитываются.

Наблюдатели должны принять позывной и контрольный номер станции, а также позывной ее корреспондента, который не должен повторяться более трех раз подряд или встречаться более десяти раз на протяжении соревнований.

За связь внутри своей страны начисляется 1 очко, с другой страной — 3 очка. Дополнительно за каждую новую страну начисляется по 20 очков, за связь со станцией из первой подгруппы — число очков, равное возрасту корреспондента.

Зачетное время для радиолубителей не старше 18 лет — любые шесть часов непрерывной работы.

Победители, отдельно по странам в каждой зачетной подгруппе среди членов «Радио-ТЛУМ», будут определяться по наибольшей сумме всех набранных очков.

Отчеты нужно высылать в двухнедельный срок после окончания соревнований по адресу: 286018, Украина, аб. ящ. 4994, «Радио-ТЛУМ», «CONTEST».

Станции второй подгруппы из Винницкой области будут передавать кодовое сокращение VI, Волынской — VN, Днепропетровской — DP, Донецкой — DO, Житомирской — ZT, Закарпатской — ZK, Запорожской — ZP, Ивано-Франковской — TF, Киевской — KO, Кировоградской — KD, Крымской — AP-KR, Луганской — LG, Львовской — LV, Николаевской — MY, Одесской — OD, Полтавской — PL, Ровенской — RI, Сумской — SU, Тернопольской — TP, Харьковской — HA, Херсонской — HO, Хмельницкой — HM, Черкасской — CK, Черновицкой — CV, Черниговской — CN, из г. Киева — KY, из г. Севастополя — SE.

ДИПЛОМЫ, ВЫМПЕЛЫ

Изменились условия оплаты диплома «Владимир». С 1 июля 1992 г. он стоит 15 руб. Оплату производят почтовым переводом по адресу: 600022, Владимир, ул. Ставропольская, 8, областной СТК. К заявке необходимо прикладывать квитанцию об оплате.

Союз ветеранов Афганистана г. Самарканда учредил вымпел «Мараканда» и значок «Афган», которые можно получить, если проведена связь хотя бы с одной любительской станцией г. Самарканда. Стоимость вымпела (20 руб.) и значка (10 руб.) оплачивают почтовым переводом на адрес: 703000, Узбекистан, г. Самарканда, аб. ящ. 32, Кочеткову И. В. (U18IAU). Туда же высылают заявку произвольной формы на вымпел и значок, квитанцию об их оплате, конверт с домашним адресом соискателя и марки на сумму 2 руб. Все собранные средства идут на помощь семьям погибших в Афганистане.

QSL INFO

A35JM — JA3JM, Akio Shimizu, 6—22. 3 Chome, Kasugaoka, Fujidera City, Ooka 583, Japan.

CN2MB — I3JTE, Massimo Bellemo, Via E Caviglia 14, I-30173 Mestre, Italy.

C9RJJ — W8GIO, Paul R Vets, Rt 1 Box 140-42, Bunker Hill, WV 25413, USA.

D2CW — DK2PE, Rudolf Klos, Kleine Untergasse 25, D-6501 Niederroim, Germany.

D2EL — EA7EL, Jose Carlos Peter Cervera, PO Box 13325, 41080 Sevilla, Spain.

FM5FE — F1NCZ, Daniel Joachim, 3 Allée de la Paix, F-92220 Bagneux, France.

FM5GD — Michel, PO Box 954, F-97246, Fort de France, via France.

PY0TUP — PT7BI, Milton Daniel Mouthinho de Assuncao, PO Box 3230, 60414 Fortaleza, CE, Brazil.

S2IA — W4FRU, John Parrott, PO Box 5127, Suffolk, VA 23435, USA.

ПРОГНОЗ ПРОХОЖДЕНИЯ РАДИОВОЛН НА ЯНВАРЬ

ЦЕНТР ЗОНЫ	АЗМУТ (ГРАДУС)	ИЗМЕР.	ВРЕМЯ, UT												
			0	2	4	6	8	10	12	14	16	18	20	22	24
УАЗ (с центром в Москве)	150	NHB													
	93	VN													
	105	ZSH													
	253	LU													
	298	HP													
	311A	W2													
	344B	WR													

UAI (с центром в С.-Петербурге)	8	NRB													
	83	VR													
	245	PM													
	304A	W2													
	338B	W2													

UAB (с центром в С.-Петербурге)	20P	NRB													
	104	VR													
	250	PVI													
	299	HP													
	316	W2													
	348P	W2													

UAG (с центром в Калининграде)	20P	NRB													
	127	VR													
	287	PVI													
	302	G													
	343P	W2													

UAD (с центром в Калининграде)	36A	W2													
	143	VR													
	245	ZBI													
	307	PVI													
	359P	W2													

UAE (с центром в Калининграде)	23P	W2													
	56	VR													
	167	VR													
	333A	G													
	357P	PVI													

При невысокой солнечной активности ($W=93$) в январе ожидается типично зимнее прохождение. Диапазоны будут открыты только в дневные часы. Прохождения по трассам, проходящим через полярную шапку, практически не будет. Не будет и прохождения в диапазоне 10 м. Однако там с большой вероятностью можно ожидать спорадического прохождения, связанного с отражением от слоя E_s .

Г. ЛЯПИН. (UA3AOW)

TL8DF — FE1LBM, Patrick Labeaume, 137 Rue de la Gaucherie, F-53000 Laval.

TL8IM — AC3D, Richard L Gulatsi Jr, 288 Devonshire Rd. Devon, PA 19333, USA.

T30IL — JA3OIN, Tadashi Hashimoto, 40-7, Daigokuden, Kaidecho, Mukoh 617.

VP8CKC — GM4KLO, Mike Mistofsky, 25 Boomerfield Rd, Glasgow G77 5ER, Scotland.

XU4OF — DJ4OF, Manfred Schneider, Lerchenweg 15, D-3123 Boden-teich.

Раздел ведет
А. ГУСЕВ (UA3AVG)





ДОРАБОТКА ЭЛЕКТРОННЫХ ЧАСОВ

ВАРИАНТ БУДИЛЬНИКА ЧАСОВ

Будильник, схема которого опубликована в [Л], хоть и отличается простотой, однако, как показала практика, его мультивибратор работает неустойчиво, особенно при замене капсулы ДЭМШ-1М на какой-либо другой, например, на миниатюрный от слухового аппарата. Кроме того, сигнал звучит непрерывно в течение минуты и одинаково для обоих будильников и таймера.



Будильник, собранный по представленной на рисунке схеме, свободен от этих недостатков. Сигнал таймера звучит непрерывно, сигнал первого будильника — прерывисто, а сигнал второго — двутональный.

Для более устойчивой работы мультивибратора оказалось достаточно заменить его кремниевые транзисторы (VT5 и VT6) на германиевые.

В исходном состоянии на выводах 26, 27, 28 микросхемы DD1 напряжение низкого уровня. Все транзисторы, кроме VT4, закрыты. При срабатывании таймера на выводе 27 БИС DD1 появляется сигнал высокого уровня, транзистор VT1 открывается и мультивибратор генерирует непрерывный тональный сигнал.

При включении будильника Б1 также открывается транзистор VT1. Одновременно на выводе

26 БИС часов появляются импульсы, следующие с частотой 1 Гц, которые периодически открывают транзистор VT3. Этот транзистор шунтирует по базе транзистор VT1, прерывая тональный сигнал мультивибратора.

В момент срабатывания будильника Б2 открывается транзистор VT2 и начинает работать мультивибратор. Импульсы с вывода 26 БИС периодически «прикрывают» транзистор VT4. Из-за этого изменяется его проводимость, а значит, и напряжение питания мультивибратора. В результате формируется двутональный звуковой сигнал.

Конденсаторы C1—C3 в устройстве — блокирующие. Подключение к источнику питания и самого устройства и дополнительных кнопок не отличается от описанного в [Л]. Транзисторы — любые маломощные, VT5, VT6 — германиевые, а VT1—VT4 — кремниевые.

г. Горловка
Донецкой обл.

С. КОЗЛОВ

ЛИТЕРАТУРА

Фаламин А. Будильник для часов из набора «Старт». — Радио, 1990, № 4, с. 70, 71.

ПЛАВНОЕ УВЕЛИЧЕНИЕ ГРОМКОСТИ БУДИЛЬНИКА

В журнале «Радио» опубликовано немало статей, в которых радиолюбители описывали устройства для расширения возможностей электронных часов. Я тоже экспериментировал с часами из набора «Старт 7176» и предлагаю доработку, которая, на мой взгляд, позволяет повысить удобство пользования часами.

Дело в том, что все известные читателям журнала будильники при срабатывании сразу дают звуковой сигнал максимальной громкости. Ранним утром это на многих действует, как удар по нервам. А если рядом спит маленький ребенок, пробуждение превращается в проблему.

Поэтому в свои часы я ввел несложное устройство, устраняющее указанный недостаток. Оно может работать в любых часах на микросхеме K145ИК1901, независимо от того, какой в них будильник. Необходимо только, чтобы в будильнике была применена динамическая головка или капсуль от телефонов, но не пьезоизлучатель.

Если допустимо, чтобы сигнал часов одинаково звучал при срабатывании как будильника Б1, так и Б2, то схема предлагаемого устройства имеет вид, показанный на рис. 1. При включении часов в сеть на выводах 27, 28 микросхемы DD1 появляется сигнал высокого уровня, что приводит к открыванию транзисторов VT1, VT2. Конденсатор C1 заряжается через транзистор VT2 и резистор R5 до напряжения стабилизации стабилитрона VD1, равного 6,8 В. Транзисторы VT3, VT4 открываются, причем транзистор VT4 шунтирует вход усилителя сигнала будильника. В этом состоянии часы находятся до момента срабатывания любого из будильников.

При срабатывании будильника напряжение на выводах 27, 28 микросхемы DD1 уменьшается почти до нуля, транзисторы VT1, VT2 закрываются. Конденсатор C1 медленно — в течение 20...30 с — разряжается, напряжение на нем уменьшается. Это вызывает плавное закрытие транзисторов VT3, VT4. В результате громкость будильника плавно увеличивается до максимума.

Если же в часах применен будильник, подающий при срабатывании звук разной тональности (как, например, будильник, описанный в [Л]), к устройству следует добавить узел на транзисторах VT5, VT6 (рис. 2).

Теперь при срабатывании будильника Б1 появляется нулевой уровень на выводе 27 микросхе-

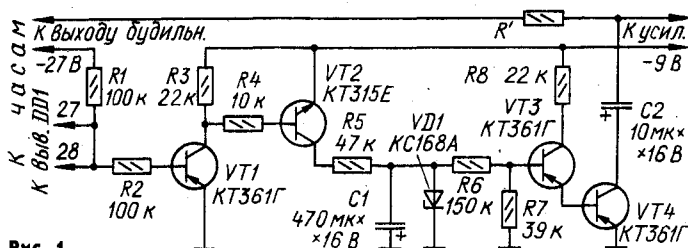


Рис. 1

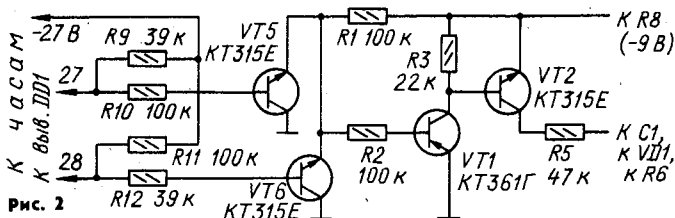


Рис. 2

мы DD1 и открывается транзистор VT5, а при срабатывании будильника Б2 — на выводе 28 этой микросхемы и открывается транзистор VT6. И в том, и в другом случае напряжение на резисторе R1 уменьшается и далее устройство работает так же, как описано выше.

В тех часах, где будильник питается напряжением 27 В, следует применить конденсатор C1 с большим номинальным напряжением и увеличить сопротивление резисторов R3, R8 в три раза, а необходимость в отдельном выпрямителе на 9 В отпадает.

Учитывая, что нагрузочная способность микросхемы K145ИД1901 невелика, транзисторы VT1 (рис. 1) или VT5, VT6 (рис. 2) следует выбрать с возможно большим статическим коэффициентом передачи тока, но не менее 100. Транзисторы VT3, VT4 можно заменить любыми маломощными низкочастотными соответствующей структуры со статическим коэффициентом передачи тока более 50.

Предлагаемое устройство опробовано в нескольких экземплярах часов и показало хорошие результаты.

П. ГАЛАШЕВСКИЙ

г. Малая Виска
Кировоградской обл.,
Украина

БУДИЛЬНИК ИЗ "МУЗЫКАЛЬНОЙ ОТКРЫТКИ"

Оригинальное и простое сигнальное устройство для будильника часов из набора «Старт 7176» можно собрать на основе «музыкальной открытки» (11МО.081.413ТУ). «Открытки» выпускает завод «Цветотрон» в г. Бресте, они поступали в розничную продажу еще в 1990 г. При замыкании контактов электронный блок «открытки» воспроизводит фрагменты нескольких популярных мелодий.

Схема сопряжения электронного блока «открытки» с часами показана на рисунке. Включают будильник тумблером SA1, при этом включается светодиод HL1 «Будильник включен». Кнопка SB1 служит для выбора мелодии. При нажатии на кнопку электронный блок 11МО.081.413ТУ воспроизводит фрагмент одной из мелодий. Для смены мелодии еще раз нажимают на кнопку во время звучания фрагмента.

При появлении сигнала будильника на выходах Y5 (вывод 27) или Y6 (вывод 28) микросхемы DD1 часов включается электронный блок «открытки» и пьезоизлу-

чателъ HA1 в течение 55 с воспроизводит выбранный музыкальный фрагмент. Прерывать звуковой сигнал можно отключением будильника тумблером SA1 либо нажатием на кнопку «В» часов [Л]. Светодиод HL1 выполняет две функции — индикатора включения будильника и стабилизированного источника питания микросхемы DD1 «открытки».

Описываемое сигнальное устройство можно использовать при модернизации других промышленных конструкций.

Д. ОЧУЛИН

г. Горький

ЛИТЕРАТУРА

Георгиев К. Часы-будильник из набора «Старт 7176». — Радио, 1986, № 6, с. 40—44.

ДОРАБОТКА ИСПОЛНИТЕЛЬНОГО УСТРОЙСТВА

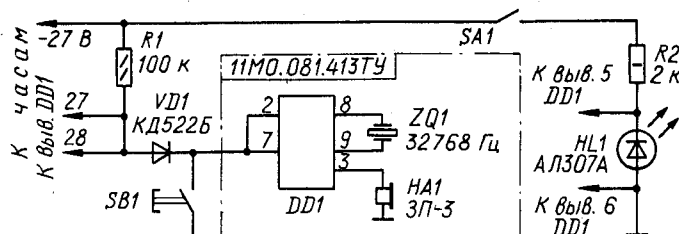
В журнале «Радио» было описано [1] исполнительное устройство для электронных часов. При испытаниях его мною были отмечены сбои в работе часов. После поступления сигнала с вывода 27 БИС часов резко падало напряжение питания часов, в результате чего происходило их обнуление, погасал люминесцентный индикатор. При сигнале с вывода 28 БИС из-за уменьшения напряжения питания заметно снижалась яркость свечения индикатора.

Причина неудовлетворительной работы часов с исполнительным устройством заключается в довольно большом и практически ничем не ограниченном токе базы транзистора VT3, протекающем через открытый транзистор VT1. При сигнале с вывода 28 БИС значительный ток (около 50 мА) протекал и через открытый транзистор VT4 и резистор R5.

Для устранения этих недостатков необходимо между коллектором транзистора VT1 и общим проводом исполнительного устройства включить резистор сопротивлением около 10 Ом, а также подобрать резистор R5 возможно большего сопротивления, при котором реле K1 еще

ЛИТЕРАТУРА

Богданов В., Николаев А. Усовершенствование электронных часов из набора «Старт». Сигнальные устройства. — Радио, 1989, № 9, с. 41, 42 (см. также поправку в «Радио», 1989, № 11, с. 55).



надежно удерживает якорь. Желательно также доработать блок питания, как указано в [2] на рис. 14.

г. Сулюкта
Ошской обл.

О. ИБАХ

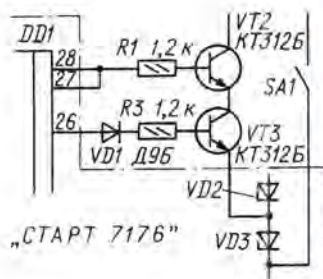
ЛИТЕРАТУРА

1. Пистогов Ю. Усовершенствование электронных часов из набора «Старт». Исполнительное устройство для электронных часов. — Радио, 1989, № 9, с. 42.
2. Георгиев К. Часы-будильник из набора «Старт 7176». — Радио, 1986, № 7, с. 29—32.

ПРЕРЫВИСТЫЙ СИГНАЛ В БУДИЛЬНИКЕ

К устройству, описанному в статье А. Фаламина «Будильник для часов из набора «Старт» («Радио», 1990, № 4, с. 70, 71), я хочу предложить следующее дополнение.

Этот будильник формирует непрерывный сигнал. Но при сравнительно небольшой громкости более эффективно действует сигнал прерывистый. Для того, чтобы указанный будильник давал такой сигнал, достаточно дополнить его тремя деталями — диодом VD1, резистором R3 и транзистором VT3 (см. схему).



Эти детали составляют еще один ключ. Управляющим сигналом для ключа служит импульсная последовательность частотой 1 Гц, снимаемая с вывода 26 микросхемы DD1 часов. Поскольку в режиме «Таймер» сигнал на выводе 26 отсутствует, это устройство может работать только в режимах «Будильник 1» и «Будильник 2».

Целесообразно также ввести в будильник выключатель. Его удобнее всего включить в разрыв провода, соединяющего общую точку стабилитронов VD3, VD4 с общей точкой резистора R2 и капсулы НВ1.

Б. БАБАХИН

г. Пермь

УСТРОЙСТВО БЛОКИРОВКИ ПИТАНИЯ ЭЛЕКТРОУСТАНОВКИ

При работе с электроустановками особое внимание необходимо уделять мерам электробезопасности. Так, например, установка должна быть снабжена надежной системой блокировки, не допускающей самопроизвольного включения устройства во время проведения ремонтных работ или после случайного кратковременного отключения напряжения питания сети.

Типовые системы, используемые для этой цели, обладают тем недостатком, что не совмещают одновременно требования по удобству эксплуатации с требованиями электробезопасности. На рис. 1 представлена принципиальная схема устройства, позволяющего устранить этот недостаток. Для управления устройством служит однокнопочный выключатель SB1, а надежность блокировки обеспечивает электронный ключ, выполненный на транзисторе VS1.

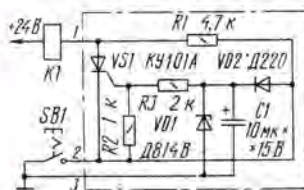


Рис. 1

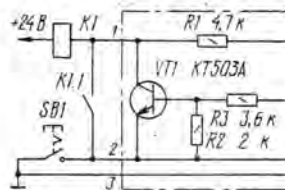


Рис. 2

В исходном состоянии контакты кнопки управления SB1 разомкнуты. Реле K1, коммутирующее цепи питания электроустановки, обесточено (контакты реле на схеме не показаны). Конденсатор C1, включенный в цепь управляющего электрода транзистора, заряжен до напряжения стабилизации стабилитрона VD1. При замыкании контактов кнопки SB1 катод транзистора VS1 подключается к общему проводу. В результате этого транзистор открывается, реле K1 срабатывает, а конденсатор C1 разряжается через резистор R3 и управляющий переход транзистора.

В случае отключения напряжения питания реле отпустит якорь и обесточит электроустройство. Когда же напряжение вновь будет включено, реле уже не сработает, так как пусковая цепь транзистора (VD2, C1) шунтирована замкнутыми контактами кнопки SB1. Таким образом, отключено самопроизвольное включение установки после кратковременного снятия напряжения питания.

Для снятия блокировки оператору необходимо еще раз нажать на кнопку SB1 и тем самым разомкнуть ее контакты. Конденсатор C1 быстро зарядится, и устройство будет готово к новому включению нагрузки.

В качестве электронного ключа, наряду с транзистором, можно использовать транзистор структуры п-р-п, при этом необходимо использовать в устройстве еще одну группу контактов реле K1.1 (см. рис. 2) и изменить номиналы резисторов R2 и R3.

Когда транзистор VT1 открывается, реле K1 срабатывает и самоблокируется контактами K1.1. Дальнейшая работа этого устройства аналогична описанному выше.

В устройстве могут быть использованы, кроме указанных на схеме, транзисторы KT315B—KT315Г, KT3102A, KT3117A, транзисторы — КУ102А, КУ104Б—КУ104Г. Стабилитроны — любые маломощные с напряжением стабилизации 9...12 В, например, Д814Г, КС482А и др. Реле — РЭС22 (паспорт РЭ4.500.131). Конденсаторы — К50-6. Резисторы — МЛТ.

Предельные значения рабочего напряжения транзистора (транзистора), диодов и конденсатора определяют исходя из напряжения питания устройства. Сопротивление резистора R1 должно удовлетворять условию: ток зарядки конденсатора C1 должен быть меньше тока срабатывания реле K1.

Для обеспечения большей надежности работы транзисторного варианта устройства следует обмотку реле шунтировать диодом Д223Б, включив его катодом к выводу +24 В.

А. КУЗЕМА

г. Гатчина Ленинградской обл.



ЗАРЯДНОЕ УСТРОЙСТВО- АВТОМАТ

Описываемый ниже автомат предназначен для обслуживания двенадцативольтовых кислотных аккумуляторных батарей. Он может быть использован и как мощный источник переменного напряжения 12 В для питания вулканизаторов, переносных ламп и другого оборудования. Устройство не содержит дефицитных деталей, просто в эксплуатации и вполне доступно для повторения даже начинающим радиолюбителям.

Основные характеристики автомата

Ток зарядки, А	
на пределе 5 А	5,8...4,5
на пределе 2 А	2...1,5
Ток разрядки, А	2...1,5
Мощность, потребляемая от сети переменного тока в режиме зарядки, Вт, не более	150
Ток, потребляемый автоматом от заряжаемой батареи по окончании цикла зарядки, мА, не более	17
Мощность, потребляемая нагрузкой с гнезда «12 В», Вт, не более	80

Автомат может работать в одном из трех режимов: двух автоматических — «АП», «КТЦ» или «Ручн.».

Режим «АП» предназначен для автоматической подзарядки батареи. В его основу положена функциональная зависимость напряжения на зажимах батареи от

степени ее заряженности. При достижении напряжения 14,6...14,8 В автомат отключился от сети. Цикл зарядки повторится, если напряжение батареи станет ниже 12,8...13 В. Режим «КТЦ» — контрольно-тренировочный цикл — предназначен для десульфатации пластин батарей. Он представляет собой многократное чередование режимов зарядки до напряжения 14,6...14,8 В и разрядки до 10,6...10,8 В.

В автоматических режимах устройство не боится замыкания выходной цепи при отключенной батарее.

В режиме «Ручн.» автомат используют в качестве обычного зарядного устройства.

Принципиальная схема автомата показана на рис. 1. Узел стабилизации и ограничения зарядного тока [Л] выполнен на нелинейных элементах — лампах накаливания HL1 — HL3, включенных последовательно с заряжаемой батареей. При увеличении, например, тока зарядки сопротивление нитей ламп увеличивается, препятствуя изменению тока. Требуемое значение зарядного тока выбирают тумблером SA3.

Напряжение на выводах батареи контролирует триггер Шмитта, выполненный на операционном усилителе DA1. С параметрического стабилизатора VD6 R5 на вход усилителя поступает образцовое напряжение, а с делителя R3R4R6 — напряжение, пропорциональное напряжению батареи.

Пусть тумблеры SA2 и SA4 установлены в положения, показанные на схеме, что соответствует режиму «АП». При подключении

аккумуляторной батареи ее напряжение поступает на делитель R3R4R6. Если оно меньше 14,6...14,8 В, то на выходе ОУ DA1 установится напряжение низкого уровня, которое откроет составной транзистор VT2VT3. Реле K1 сработает и своими контактами K1.1 и K1.2 подключит трансформатор Т1 к сети. Батарея начнет заряжаться, о чем сигнализирует свечение лампы HL5.

При зарядке батареи до 14,6...14,8 В падение напряжения на делителе превысит порог срабатывания триггера, что приведет к его переключению и установлению на его выходе напряжения высокого уровня. Транзисторы VT2, VT3 закроются и обесточат реле K1 — автомат отключится от сети; лампа HL5 погаснет. Когда напряжение на батарее уменьшится до 12,8...13 В, цикл подзарядки повторится.

Для перехода в режим «КТЦ» переключают тумблер SA4. При этом цикл зарядки батареи происходит так же, как в режиме «АП». По окончании зарядки напряжение высокого уровня с выхода ОУ закрывает транзисторы VT2, VT3 и открывает транзистор VT1, который входит в насыщение и вместе с резистором R2 шунтирует резистор R6 делителя напряжения. В результате этого снижается порог переключения триггера Шмитта до 10...10,8 В. До этого порога батарея разряжается через резисторы R14—R15, замкнутые контактами SA4.2 и K1.3. Свечение лампы HL4 сигнализирует о цикле разрядки. При уменьшении напряжения на выводах батареи до 10,6...10,8 В напряжение низкого уровня с выхода ОУ закрывает транзистор VT1 и открывает транзисторы VT2, VT3. Реле K1 сработает и цикл зарядки повторится.

Используя прибор в качестве источника переменного напряжения 12 В, следует отдать предпочтение режиму «Ручн.», так как во всех остальных автомате подключается к сети только в том случае, когда его выход соединен с батареей. Свечение лампы HL5 в этом режиме сигнализирует о включении устройства в сеть.

Конденсатор C1 устраняет преж-

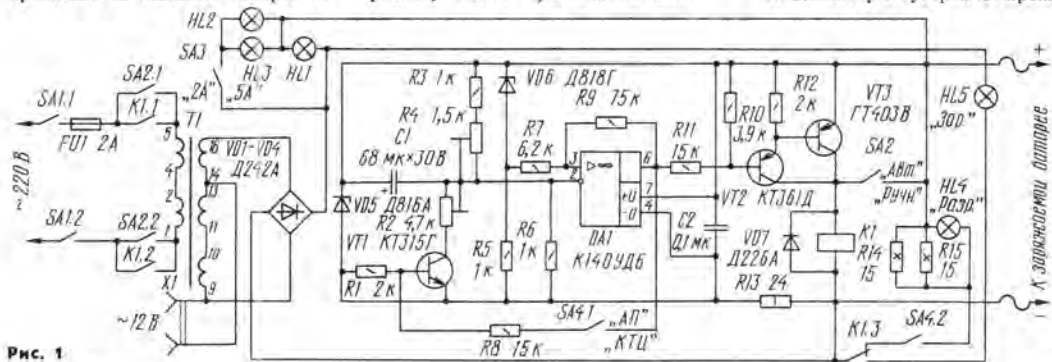


Рис. 1

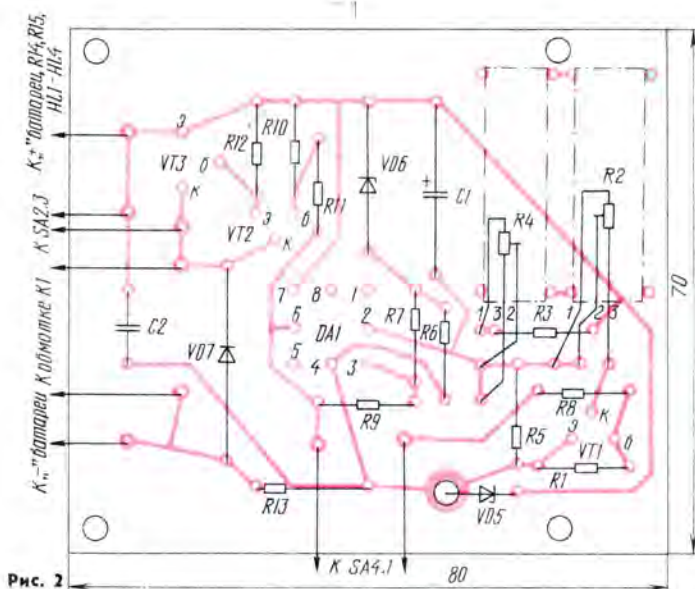


Рис. 2

временное отключение автомата из-за пульсаций напряжения, которые могут возникнуть при зарядке сильно сульфатированной батареи. Конденсатор C2 предотвращает ложное срабатывание автомата от действия помех. Параметрический стабилизатор VD5R13 служит для защиты ОУ от пробоя напряжением самоиндукции вторичной обмотки трансформатора Т1.

Вместо операционного усилителя К140УД6 в автомате применен К157УД1. Транзистор КТ315Г может быть заменен на КТ315Б, КТ315Е, а КТ361Д — на КТ361В, КТ361К. Вместо ГТ403В подойдет транзистор ГТ403Г — ГТ403И, а также КТ814В, КТ814Г. Диоды VD1—VD4 из серий Д242, Д243, Д245, ВЛ10 с любыми буквенными индексами; VD7 — любой из серий Д226, Д7, КД105. Вместо стабилитрона Д816А можно применить Д816Б.

Трансформатор Т1 — серийный, ТН-61-220/127-50 мощностью 190 Вт или любой другой, рассчитанный на мощность 190...250 Вт, с напряжением на вторичной обмотке 12...19 В при токе 7...8 А.

В устройстве использовано реле ПЭ-30У3. Оно должно срабатывать при напряжении 8...9 В и токе не более 100 мА, поэтому обмотка перемотана проводом ПЭВ-2 0,16 мм до заполнения каркаса. Возможно применение реле ПЭ-23У3 или МКУ-48, обмотки которых придется перемотать, а сечение провода подобрать экспериментально. Контакты используемого реле должны быть рассчитаны на ток не менее 5 А.

Тумблеры SA1, SA3, SA4 — ТП1-2, SA2 — ТВ1-4. Лампы накаливания HL1—HL3 — автомобильные на 12 В мощностью 40...50 Вт, а HL4, HL5 — любые

маломощные на 13,5 и 24 В соответственно. Подстроечные резисторы — многооборотные, из серии СП5. Резисторы R14, R15 — ПЭВ-10. Конденсатор C1 — К53-18, К50-6 либо К50-16 на напряжение не менее 15 В. Конденсатор C2 — любой керамический.

Соединяют автомат с батареей гибкими проводниками из меди сечением не менее 2,5 мм² с пружинными зажимами на концах.

Детали автомата смонтированы на печатной плате размерами 80×70 мм из одностороннего фольгированного стеклотекстолита толщиной 1,5 мм (рис. 2). Диоды VD1—VD4 установлены на металлическом шасси через изолирующие прокладки. Трансформатор Т1 и реле К1 также размещены на шасси прибора. Лампы HL1—HL3 крепят на отдельной плате, которую вместе с резисторами R14, R15 размещают по возможности даль-

ше от печатной платы, рядом с вентиляционными отверстиями в кожухе прибора.

При налаживании автомата тумблеры SA2, SA4 сначала устанавливают в положение, соответствующее режиму «АП», движок резистора R4 — в верхнее по схеме положение. К автомату вместо батареи подключают регулируемый источник постоянного тока и плавно от нуля увеличивают напряжение. При напряжении 8...9,5 В должно сработать реле К1.

Далее увеличивают напряжение до 14,6...14,8 В и подстроечным резистором R4 добиваются выключения реле. Плавно уменьшая напряжение, убеждаются в срабатывании реле при напряжении 12,8...13 В (если реле не срабатывает, то подбирают резисторы R7, R9).

После этого переводят устройство в режим «КТЦ» и отключают цепь R14, R15, HL4. Плавно увеличивая напряжение источника от 5...7 В, убеждаются, что реле выключается при напряжении 14,6...14,8 В. Далее уменьшают напряжение до 10,6...10,8 В и подстроечным резистором R2 добиваются срабатывания реле.

В заключение еще раз проверяют работу автомата в режимах «АП» и «КТЦ» и вновь подключают цепь R14, R15, HL4.

Следует отметить, что при эксплуатации автомата в режимах «АП» или «КТЦ» с батареями емкостью до 55 А·ч предпочтительнее пользоваться пределом тока зарядки 2 А, что исключит чрезмерно частые переключения реле. В режиме «Ручн.» нельзя допускать замыкания выходной цепи.

С. ГУРЕЕВ

г. Щёкино
Тульской обл.

ЛИТЕРАТУРА

Коробков А. Прибор для автоматической тренировки аккумуляторов. — Сб.: В помощь радиолюбителю. Вып. 96, с. 61—70. — М.: ДОСААФ, 1987.

ВНИМАНИЕ!

Редакция регулярно издает приложение к журналу «Радио» — газету «Радиобиржа». Если вы хотите продать, купить, обменять радиодетали, аппаратуру, материалы и т. п., присылайте свои предложения по адресу: 103045, г. Москва, Селиверстов пер., д. 10. Частные объявления, содержание которых не связано с коммерческой деятельностью, публикуются БЕСПЛАТНО. Объявления предприятий и организаций оплачиваются по договорной цене.

Для получения одного экз. «РБ» нужно перевести 5 р.+5 р. 60 к. (почтовые услуги) на р/сч. журнала «Радио» № 400609329 в коммерческом банке «Бизнес» г. Москва, МФО 201638 с указанием — за «РБ». После получения квитанции о переводе, редакция вышлет нужное количество экз.

На тех же условиях «РБ» высылает фирма «ЛААС»: расчетный счет № 467001 в Волжском филиале коммерческого банка «АЯР», г. Волжск, Республика Марий Эл, МФО 183024.

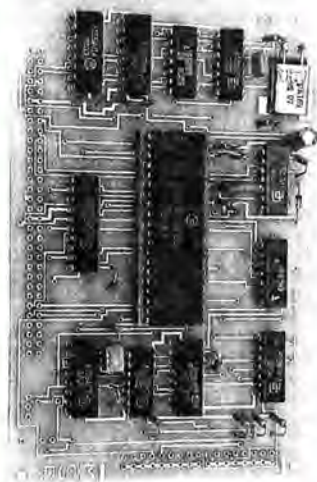
Редакция приглашает к сотрудничеству на коммерческой основе всех желающих принять участие в распространении газеты «РБ». Справки по всем вопросам выпуска и распространения «РБ» по московскому тел. 208-77-13.



КОНТРОЛЛЕР НГМД ДЛЯ "ОРИОНА-128"

Подключение дисководов к компьютеру переводит последний в качественно новую категорию. Вот почему в редакционной почте так много писем с просьбой дать описание контроллеров дисководов для "Радио-86РК" и "Ориона-128". Задача эта весьма непростая. Если описание "железа" еще можно вместить в объем журнальной статьи (да и то с разбивкой на два-три номера), то для программной поддержки к нему потребовался бы отдельный журнал... Да и это не выход из положения: "набивать" десятки и сотни килобайт по дампам — занятие весьма неблагоприятное и неэффективное. Программное обеспечение для компьютеров с дисковыми накопителями надо распространять уже записанным на дискетах или в ПЗУ. И здесь журналу придется, по-видимому, переходить в новое качество, поддерживая свои публикации своеобразными "приложениями" в виде уже запрограммированных микросхем и дискет с записями программ, а также некоторого "железа".

В этом номере мы начинаем рассказ об одном из вариантов контроллера дисководов для компьютера "Орион-128". Дамп операционной системы будет приведен в первом номере журнала в следующем году, а описание ОС — во втором номере. Те, кто хотел бы приобрести ПЗУ с ОС, а также печатную плату для контроллера, могут получить необходимую информацию по телефону 207-77-28.



Вот так выглядит этот контроллер в собранном виде.

Внимание читателей и поклонников компьютера «ОРИОН-128» предлагается контроллер, предназначенный для обмена данными с накопителями на гибких магнитных дисках (НГМД). Его программное и аппаратное обеспечение корректно вписывается в общую идеологию ПРК «ОРИОН-128», изложенную ранее в журнале. Контроллер выполнен на сравнительно доступной элементной базе. Применение стандартной микросхемы контроллера гибкого диска — КР1818ВГ93 обеспечивает совместимость дискет на физическом уровне с контроллерами IBM PC, ДВК, УНКЦ и т. д. Это дает возможность только лишь программными средствами обеспечить обмен файлами между ПРК «ОРИОН-128» и перечисленными выше компьютерами.

Автору известны более или менее успешные попытки адаптации системы CP/M на «ОРИОН-128». Необходимо заметить, что использование CP/M на этом ПРК наталкивается на определенные трудности, обусловленные распределением памяти, использованием квазидиска и ROM-дискет, а также 64-символьного экрана (а не 80-ти) и т. п.

Возникает и проблема адаптации уже наработанного для «ОРИОНА-128» программного обеспечения.

Вот почему в данной разработке и предлагается другая программная среда, которая выполнена в виде специальной операционной системы SPDOS (SPeial DOS) и оформлена как запускаемый файл ORDOS. SPDOS можно рассматривать как программу обмена между квазидиском В: и гибким диском, который будем называть С:. Простота, малый объем и возможность использовать в прикладных программах внутренние ресурсы SPDOS делает эту систему особенно пригодной для эксплуатации в любительских условиях. Основное достоинство SPDOS состоит в том, что она не отвергает уже существующее обширное программное обеспечение, а также новое, нарабатываемое на этом ПРК под системой «ORDOS».

Основные характеристики контроллера НГМД: формат данных на диске — MFМ (двойная плотность); скорость обмена данными с накопителем — 250 кбит/с; тип подключаемых накопителей — двусторонние 80-до-

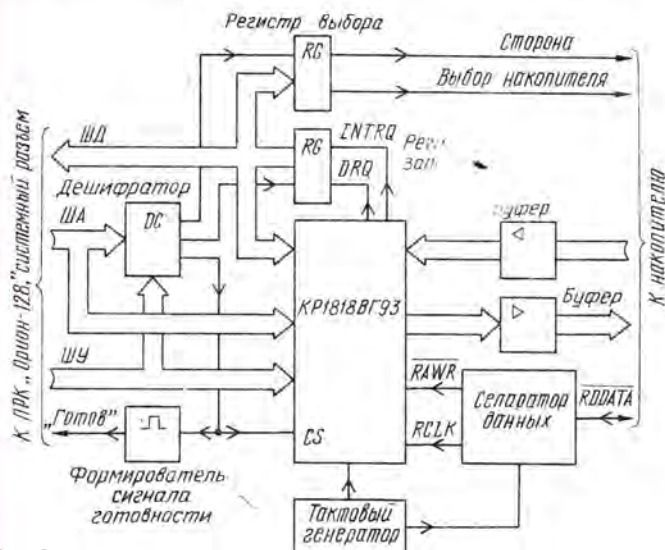


Рис. 1



Рассмотрим функциональную схему контроллера (рис. 1). Специализированная БИС KP1818BG93 (DD9 по принципиальной схеме на рис. 2) обеспечивает основные операции по управлению и передаче данных, а также логический интерфейс ПРК и НГМД.

Не будем вдаваться в подробности работы этой БИС (соответствующую информацию о ней можно найти в литературе [1, 2]). Дешифратор DC (DD12) служит для формирования сигналов выборки внешних регистров и БИС КР1818ВГ93. Он активизируется сигналом ПОРТ РАСШИРЕНИЯ на системном разъеме Х2 ПРК «ОРИОН-128» [3]. При этом программно становятся доступными внешние регистры (регистр запросов — DD11, регистр выбора — DD10) и внутренние регистры БИС КР1818ВГ93. Их адреса:

F704 — регистр запросов
(только чтение),

Регистр выбора служит для формирования сигналов выбора рабочей стороны и номера накопителя, а регистр запросов — для программной обработки аппаратных сигналов INTRQ и DRQ БИС KP1818BF93. Цифровой селектор данных (DD3, DD4, DD5) предназначен для выделения синхронимпульсов (RCLK) из последовательности данных (RDATA), поступающих от накопителя. В действительности этот узел выполняет функции системы фазовой автоподстройки частоты (ФАПЧ), различные варианты которой используются в контроллерах НГМД и накопителей типа «Винчестер» [4]. Специфика схем ФАПЧ в контроллерах состоит в подстройке частоты периодического сигнала RCLK к непериодическому сигналу RDATA, а он зависит от скорости вращения диска (может

ПРОГРАММА ROMMONITOR

Директива R МОНИТОРа радиодублирующего компьютера «Радио-86РК» предназначена для загрузки в ОЗУ программ из внешних ПЗУ. Неудобство использования этой директивы (нужно задать три параметра — начальный и конечный адреса программы в ПЗУ и адрес загрузки в ОЗУ, которые необходимо помнить), привело к созданию целого ряда сервисных программ, автоматизирующих поиск и загрузку из ПЗУ. Вниманию читателей предлагается, вероятно, самый простой и короткий вариант программ-загрузчика ROMMONITOR.

Программа работает автоматически с одним или несколькими внешними ПЗУ различной емкости в компьютерах с различным объемом оперативной памяти. Малый объем позволяет поместить ее в МОНИТОР на место редко используемой подпрограммы вывода на экран состояния процессора X. Во избежание путаницы новой подпрограмме присвоено новое имя, при записи в МОНИТОР ее можно вызывать директивой P, при этом прошивая новый МОНИТОР, кроме изменений в соответствии с табл. 1, в нем нужно также записать по адресу F8B8H код ASCII латинской буквы P 50H.

Если по каким-либо причинам поместить подпрограмму ROMMONITOR в MONITOR компьютера нежелательно, ее можно разместить и в ОЗУ. В табл. 2 дается исходный (дисассемблированный) текст и машинные коды для этого случая. Стартовый адрес программы 75B0H.

Программа ROMMONITOR работает с ПЗУ, в которых записана информация об имеющихся программах. На каждую программу отводится 16 байт — одна стандартная строка дампа. В первые 10 байт записывается в символическом виде имя программы, которое при чтении выводится на экран программой ROMMONITOR. Следующие два байта отведены под начальный адрес программы в ПЗУ, еще два — под конечный адрес и последние два — под адрес пересылки в ОЗУ, который одновременно является и стартовым. Имя программы должно начинаться с символа возврата каретки ODH, если желательно, чтобы при просмотре содержимого ПЗУ имена программ сменяли друг друга

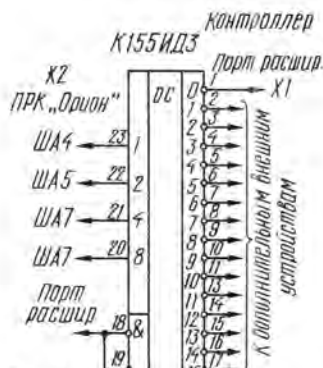


Рис. 5

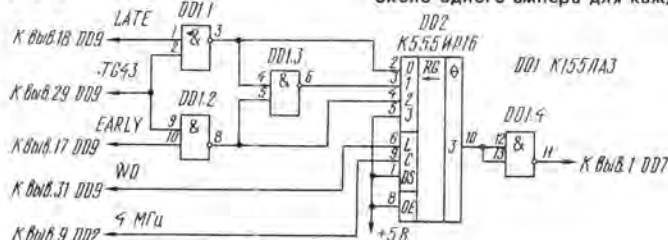


Рис. 6.

немного «плавать») и нестабильности частоты тактового генератора при записи. Для упрощения конструкции предкомпенсация записи в данном варианте контроллера отсутствует. В общем случае предкомпенсация применяется при записи на старшие (внутренние) дорожки диска, т. к. там физическая плотность данных выше, чем на внешних дорожках.

Теперь о самом неприятном. Из-за несовместимости по времени циклов обмена у БИС контроллера и у процессора К580ВВМ80А требуются дополнительные аппаратные средства для их согласования. Дело в том, что длительность сигнала чтения в «Орионе-128» 400 нс, у БИС контроллера это время должно быть больше. Требуемое согласование могло бы быть осуществлено применением в ПРК микро-схемы системного контроллера КР580ВК28(38) [5].

Здесь предлагается другой подход, дающий желаемые результаты. В «ОРИОН-128» рекомендуется установить дополнительно микросхему K155ЛА8 в подключении ее по схеме рис. 3. Предпочтительное расположение этой микросхемы — поверх микросхемы ПРК DD13 (K155ТМ2). Если провести подобную модификацию ПРК, то не гарантируется устойчивая работа контроллера с любыми, заводом исправными КР181ВВ93.

Тактовый генератор (DD1, DD2) обеспечивает синхронизацию для БИС контроллера и сепаратора данных. Назначение буферов (DD6, DD7, DD8) — очевидное.

Контроллер подключается к системному разъему X2 ПКР (см. [3]) в соответствии с схемой рис. 2. Обратите внимание на то, что питание +12 В для БИС КР181ВВГ3 берется с преобразователя ПКР, и если в вашем компьютере нет такого преобразователя, то нужно найти соответствующий источник питания (ток потребления 20 мА). Подключение контроллера к накопителю осуществляется плоским кабелем (34 жилы), в котором каждый нечетный провод — общий (GND), а каждый четный — информационный.

НГМД требуют два напряжения питания: +5 В и +12 В при токах около одного ампера для каждо-

го из них. Например, для накопителя MC-5311 они составляют соответственно 0,9 и 0,7 А. Для накопителя необходимо изготовить соответствующий блок питания. Теперь несколько слов о возможных заменах и наладивании. Все микросхемы серии 155 в контроллере можно заменить микросхемами серии 555, но при замене 155АФЗ нужно изменить номиналы RC-цепи C2R3 (для получения длительности импульса 230 нс). Практика показала, что для некоторых накопителей может потребоваться следующее изменение в схеме: сигнал READY (выв. 34 X2 на рис. 3) надо соединить с общим проводом.

Как принято говорить, устройство, собранное из исправных деталей и без ошибок в наложении не нуждается. Однако на практике могут возникнуть и некоторые проблемы. Если это произошло, то надо начать с проверки работы тактового генератора и сепаратора данных. Основные осциллограммы для последнего даны на рис. 4 (номера выводов — по панели КР1818ВГ93). Дальнейшую проверку проводят в два этапа: без КР1818ВГ93 и с ним. С помощью программы М1285 (или любой аналогичной) считывают байт по адресу F704H — при выноной из панели микросхеме КР1818ВГ93 он должен быть 81H. При замыкании по очереди выводов 38 и 39 на панель КР1818ВГ93 на общий провод, должны считываться соответственно байты 80H и 01H.

Окончание на с. 31.

ТАБЛИЦА 1

```

FFD0 11 00 50 D5 E1 3E 10 2B 3D C2 DA FF E5
FFD0 01 DF 75 C5 CD F8 FA E1 CD 18 F8 D1 00 03 F8 FE
FFD0 CD C2 D6 FF 23 F9 E1 D1 C1 C5 CD 68 FA E1 E9

```

ТАБЛИЦА 2

```

; ИНИЦИАЛИЗАЦИЯ ROMMONITOR
; АЛГОРИТМ ПОИСКА А. С.
; П. ЗЕЛЕНЮК

```

```

7500 11 00 50          ORG 7580H
7503 D5              LXI D,8000H
7504 E1              BEGIN:
7505 3E 10            PUSH D
7506 2B              POP H
7507 3D              MVI A,10H
7508 C2              CYCLE:
7509 D5              DCX H
750A F8              JNZ CYCLE
750B CD              PUSH H
750C F8              LXI B,STACK
750D 01 DF 75        CALL EXTRA
750E C5              POP H
750F 01 DF 75        CALL MSG
7510 01 DF 75        POP D
7511 01 DF 75        CALL CONIN
7512 01 DF 75        CPI ODH
7513 01 DF 75        JNZ BEGIN
7514 01 DF 75        INX H
7515 01 DF 75        SPHL
7516 01 DF 75        POP H
7517 01 DF 75        POP D
7518 01 DF 75        POP B
7519 01 DF 75        PUSH B
751A 01 DF 75        CALL EXTRA
751B 01 DF 75        POP H
751C 01 DF 75        PCHL
751D 01 DF 75        EQU 75DFH
751E 01 DF 75        EQU 0F80GH
751F 01 DF 75        EQU 0F81BH
7520 01 DF 75        EQU 0FA68H
7521 01 DF 75        STACK
7522 01 DF 75        CONIN
7523 01 DF 75        MSG
7524 01 DF 75        EXTRA
7525 01 DF 75        END

```

ТАБЛИЦА 3

```

07F0 0D 52 4F 4D 4D 4F 4E 49 54 00 A2 06 CD 06 B0 75 .ROMMONIT.....Y

```

одной строке, если же требуется вывести имена программ списком — в начале имени должны стоять символы возврата каретки ODH и перевода строки OAH. Последний, десятый байт имени должен быть нулевым. Таким образом, в первом варианте в имени может быть восемь значащих символов, а во втором — только семь. Адреса следует записывать по правилам процессора KP580BM80: первым — младший байт адреса, а вторым — старший. Сами программы можно записывать в ПЗУ «кстыки», без заголовка.

Внешне работа программы ROMMONITOR выглядит следующим образом. При ее запуске, если к компьютеру подключено внешнее ПЗУ произвольной емкости, на дисплее появляется имя одной из записанных в нем программ. Если для работы эта программа не нужна, нажимают любую клавишу, кроме BK, на экране появится имя следующей программы и так далее. Для загрузки и автоматического запуска необходимой программы достаточно нажать клавишу BK в тот момент, когда имя этой программы появится на экране.

Безразлично, информация о какой (по порядку расположения в ПЗУ) программе записана в той или иной информационной строке, важно, чтобы одна из строк была последней в ПЗУ, а остальные располагались рядом с ней

без промежутков. Это связано с тем, что при запуске программа ROMMONITOR обращается к последней строке дампа. Если программа, информация о которой содержит эта строка, не будет выбрана для загрузки, ROMMONITOR перейдет к предпоследней строке дампа и так далее, перебирая в процессе работы строки в направлении нулевого адреса ПЗУ.

Вероятно, не следует жалеть 16 байт на каждую программу, так как они с лихвой окупаются простотой и удобством работы с ПЗУ. Отметим еще одно удобство такой организации загрузки. Наличие в ПЗУ имен программ позволяет легко идентифицировать микросхемы ПЗУ, для этого достаточно просмотреть их содержимое по директиве L МОНИТОРА компьютера. Пример информационной строки дан в табл. 3, где приведен дамп такой строки в шестнадцатичном и символическом виде для программы ROMMONITOR: имя программы ROMMONIT, начальный адрес в ПЗУ 06A2H, конечный 06CDH и стартовый адрес в ОЗУ 7580H.

При использовании программы ROMMONITOR в компьютере с объемом памяти 16 килобайт в приведенных таблицах необходимо все коды 75H заменить на 35H.

А. ГОЛОВКИН

г. Зеленоград

МИКРОПРОЦЕССОРНАЯ ТЕХНИКА

Программное обеспечение любой микро-ЭВМ содержит игровые программы. Не является исключением и компьютер радиолокационной «РАДИО-86РК». Обычно игровой ситуацией в нем управляют, нажимая на клавиши основной клавиатуры, что не всегда удобно, да и сокращается срок службы клавиш, особенно таких «популярных», как клавиши управления курсором. Гораздо удобнее в таких случаях джойстик, который, помимо удобства работы, позволит еще и продлить «жизнь» клавиатуры.

Читателям предлагается один из вариантов простого джойстика, не требующего внесения каких-либо изменений в аппаратную часть компьютера. Однако за простоту надо платить, и цена такая:

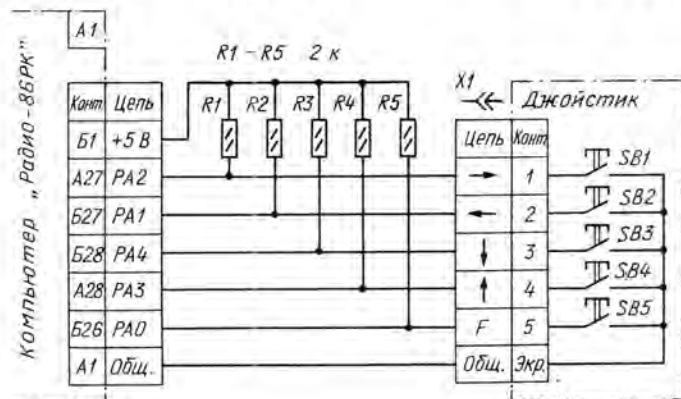
— джойстик предназначен для совместной работы с игровыми программами, опрашивающими состояние основной клавиатуры через подпрограмму ввода кода нажатой клавиши МОНИТОРА (точка входа F81BH, употребляющееся обозначение соответствующей метки QUERY), использование джойстика в программах, самостоятельно опрашивающих клавиатуру, сложнее и в статье не рассматривается;

— есть опасность «вторжения» в служебную область игровой программы, так как обычно они используют ячейки ОЗУ для хранения данных, как стек и т. д., а расположение этих ячеек в адресном пространстве известно не всегда.

Предлагаемый джойстик аналогичен описанному в журнале «Радио» ранее [1], но в отличие от него не ориентирован на конкретную игровую программу. Принципиальная электрическая схема джойстика (см. рисунок) предельно проста. Он состоит из пяти микропереключателей, герконов, нефиксирующихся кнопок SB1—SB5 и пяти резисторов R1—R5. Микропереключатели соединены с остальными цепями разъемом X1 (можно использовать обычный пятиштырьковый разъем типа ОНЦ-ВГ-5), блокная часть которого установлена на корпусе компьютера и на ней навесным монтажом смонтированы резисторы. Общий провод в этом случае соединяется с корпусом разъема и образует шестую связь.

Считывание информации происходит через порт РА имеющейся в компьютере микросхемы D14. Процедура программирования порта не предусмотрена, так как при запуске компьютера пос-

СОПРЯЖЕНИЕ ДЖОЙСТИКА С "РАДИО - 86РК"



```

; ПОДПРОГРАММА-ДРАЙВЕР ДЖОЙСТИКА
; АВТОР ШАМСРАХМАНОВ МАРАТ ФАЙЗРАХМАНОВИЧ
; Г. СОСНОВКА КИРОВСКОЙ ОБЛАСТИ
QUERY: EQU 0F81BH; ПОДПРОГРАММА ОПРОСА
; КОДА НАЖАТОЙ КЛАВИШИ
PA55: EQU 0A00H; АДРЕС ПОРТА

A000 =
1100
1100 CD1BF8 JOY: CALL QUERY; ПРОВЕРИМ КЛАВИАТУРУ
1103 PEF8 CPI OFFH; ЕСЛИ НАЖАТА КЛАВИША
1105 00 RNZ; ТО ВЕРНЕМСЯ В ПРОГРАММУ
1106 3A00A0 LDA PA55; НЕ НАЖАТА - ПРОВЕРИМ
1109 0F RRC; ДЖОЙСТИК
110A 47 MOV B,A
110B 3E20 MVI A,20H; ОГОНЬ
110D 00 RNC
110E 78 MOV A,B
110F 0F RRC
1110 47 MOV B,A
1111 3E08 MVI A,8; ВЛЕВО
1113 00 RNC
1114 78 MOV A,B
1115 0F RRC
1116 47 MOV B,A
1117 3E18 MVI A,18H; ВПРАВО
1119 00 RNC
111A 78 MOV A,B
111B 0F RRC
111C 47 MOV B,A
111D 3E19 MVI A,19H; ВВЕРХ
111F 00 RNC
1120 78 MOV A,B
1121 0F RRC
1122 3E1A MVI A,1AH; ВНИЗ
1124 00 RNC
1125 3EFF MVI A,OFFH; ДЖОЙСТИК КОМАНД
1127 09 RET; НЕ ВЫДАЕТ, ВОЗВРАТ
    
```

сле прихода сигнала RESET все каналы D14 настраиваются на ввод [2]. В исходном состоянии на всех пяти используемых линиях порта PA присутствует высокий логический уровень, обусловленный наличием резисторов R1—R5. При манипуляциях ручки джойстика и при нажатии расположенной на нем кнопки F (FIRE — огонь) замыкаются соответствующие контакты и на определенной линии порта PA устанавливается

низкий логический уровень. В считанном из порта PA байте в одном из разрядов появляется 0, свидетельствующий о наличии команды, которая должна быть выполнена программой.

Обработка полученной информации и сопряжение с игровой программой обеспечивает подпрограмма — драйвер, обслуживающая джойстик. Она предельно коротка, всего 40 байт, исходный текст с машинными кодами

приведен в таблице. Заметим, что начальный адрес подпрограммы 1100H в данном случае условный (без указания адреса просто невозможно оттранслировать исходный текст) и при практическом использовании он должен быть другим. Дело в том, что, используя приемы, описанные в [3], удалось создать полностью перемещаемую подпрограмму, что в данном случае очень важно: игровые программы имеют разные размеры, располагаются в различных областях памяти компьютера и заранее неизвестно, в какой области ОЗУ будет работать драйвер.

В большинстве игровых программ управление осуществляется пятью клавишами клавиатуры: «влево», «вправо», «вверх», «вниз» и «пробел». Подпрограмма ввода кода нажатой клавиши МОНИТОРА, обращение к которой происходит при работе игровой программы, возвращает в этом случае в регистре A (аккумуляторе) шестнадцатичные числа 08H, 18H, 19H, 1AH и 20H. Затем эти числа обрабатываются по заложенным в игровую программу алгоритмам. Чтобы обеспечить полную программную совместимость, эту же процедуру реализует и драйвер джойстика, кроме того в нем сохранено обращение к подпрограмме МОНИТОРА 0F81BH, за счет чего сохраняется управление с клавиатуры.

Заметим особо, что при обращении к драйверу теряется значение регистра B — это накладывает определенные ограничения. Содержимое остальных регистров не изменяется (кроме, разумеется, аккумулятора). Обращение к драйверу из игровой программы происходит в тех местах, где ранее находилось обращение к подпрограмме МОНИТОРА 0F81BH.

Процесс пристыковки драйвера к телу игровой программы требует внимательности и осторожности. Критерий — минимальный объем памяти, занимаемой программой и драйвером. Важно не занять драйвером служебные ячейки игровой программы. Для этого нужно определить область памяти, не используемую программой, и возможно ближе к ней. Гарантированных рецептов здесь нет, но можно порекомендовать такой прием: загрузите игровую программу, предварительно очистив ОЗУ, запустите ее, поиграйте некоторое время и, выйдя в МОНИТОР, просмотрите область памяти, непосредственно примыкающую к телу программы. Содержимое служебных ячеек,

как правило, отличается от нуля. В области нулевых байт, сделав, на всякий случай, небольшой запас, можно расположить драйвер. Делается это в несколько шагов:

— загрузить игровую программу;

— в свободную область памяти, возможно близко к программе, поместить драйвер джойстика (например, набрать по директиве M МОНИТОРА или с помощью программы DUNPCOR), запомнив начальный адрес (точку входа) драйвера;

— в теле игровой программы отыскать обращения к подпрограмме ввода кода нажатой клавиши МОНИТОРА, в шестнадцатичном виде оно выглядит как CD 1B F8 или что-то подобное и заменить его на обращение к драйверу, записав вместо 1BF8 начальный адрес драйвера (не следует забывать, что первым идет младший байт, а за ним старший);

— записать всю новую программу (и игровую и драйвер!) на магнитофон.

Для лучшего понимания процесса рассмотрим пример пристыковки драйвера к игровой программе «ПИТОН» [4]. Свободную область ОЗУ здесь определить легко — по листингу. Она начинается с адреса 128EH. Начиная с него, и введем коды драйвера. В игровом цикле программы «ПИТОН» обращение к подпрограмме МОНИТОРА 0F81BH находится по адресу 1177H. Значит, в ячейку 1178H нужно записать 8EH (младший байт стартового адреса драйвера), а в ячейку 1179H—12H (старший байт стартового адреса драйвера). Теперь можно записать всю модернизированную программу с адреса 1100H по 12B5H на магнитную ленту.

Автор надеется, что предлагаемое устройство окажется полезным дополнением и сделает Ваш досуг более занимательным.

М. ШАМСРАХМАНОВ

г. Сосновка,
Кировская область

ЛИТЕРАТУРА

1. А. Пекин, Ю. Солнцев. Игруем в «Ралли». — Радио, 1988, № 5, с. 27; № 6, с. 26.
2. Д. Горшков и др. Персональный радиолобительский компьютер «Радио-86РК». — Радио, 1986, № 6, с. 26.
3. Е. Еремин. Пишем перемещаемые программы. — Радио, 1991, № 12, с. 38.
4. Д. Горшков, Г. Зеленко. Немного о программировании. — Радио, 1987, № 4, с. 17.

САМОЗАПУСК ПРОГРАММ НА "РАДИО-86РК"

После ввода с магнитофона программы в машинных кодах нужно произвести ее запуск: дать директиву G с шестнадцатичным стартовым адресом. Излишне говорить, что это не очень удобно, особенно если «стартуешь» не с нулевого адреса. В большинстве современных компьютеров имеется возможность автоматического запуска программ (разумеется речь идет об исполняемых программах, а не о текстовых файлах и т. п.). Оказывается, что и простейший из персональных компьютеров — «Радио-86РК» — может запускать загружаемые программы. Для этого достаточно иметь в его программном обеспечении специальную программу, которая при записи машинных кодов программы на магнитную ленту добавит к ним небольшой «довесок» — автозагрузчик.

Вниманию читателей предлагается один из вариантов простой сервисной программы, добавляю-

дательные точки входа, но и направляющую к некоторым его подпрограммам. Это затрудняет ее использование в компьютерах «Радио-86РК» с модифицированным МОНИТОРОМ. В частности это относится к некоторым промышленным моделям, которые считаются совместимыми с «Радио-86РК». Так, для загрузки основной программы загрузчик вызывает подпрограмму ввода с магнитофона, которая не имеет объявленной точки входа и в стандартном МОНИТОРЕ начинается с адреса FA86H. В явном виде этого адреса в программе-загрузчике нет, он формируется в процессе ее выполнения.

Принцип действия программы основан на загрузке в верхнюю стека нового адреса возврата из подпрограммы ввода файла с магнитной ленты (директива I). Этим новым адресом является адрес старта первоначального загрузчика, записанный в первых двух байтах подпрограммы загрузки.

```
6000 31 FF 75 21 77 60 CD 18 F8 CD 03 F8 FE 03 CA 6C 1579
6010 F8 FE 20 02 09 60 21 48 60 01 CD 76 7E 02 23 03 F6F4
6020 FE 09 02 1C 60 21 00 00 11 FF 1F E5 CD 2A F8 D5 30FE
6030 05 21 CD 76 11 FF 76 B5 CD 2A F8 E1 CD 27 F8 01 5911
6040 D1 E1 CD 27 F8 03 09 60 D1 76 00 00 0E 0A CD 09 FCFF
6050 F8 21 00 50 2B 7C D6 00 CD D9 76 2A 0F 76 E5 3E 5289
6060 7B 06 7F 67 3E 7F C6 07 6F E5 01 00 3A 2F 76 74E5
6070 5F 16 00 21 00 00 09 20 20 20 20 4F 4B 3A 00 D5D3
```

щей перед машинными кодами основной программы около 50 байт и обеспечивающей ее запуск после успешной загрузки. От тела программы этот фрагмент отделен вторым «ракордом» — тональным сигналом. Это дает возможность исключить автозапуск, начиная ввод программы по второму тональному сигналу. Этот же прием понадобится при работе с компьютерами, не полностью совместимыми аппаратно или программно с базовой моделью, описанной в журнале «Радио» в 1986 г. Вместо автозапуска может произойти труднопрогнозируемое: зависание, переход на другую программу и т. п.

Отметим, что для сокращения объема программы-загрузчика она обращается к МОНИТОРУ компьютера не только через стан-

дартные точки входа, но и направляющую к некоторым его подпрограммам. Это затрудняет ее использование в компьютерах «Радио-86РК» с модифицированным МОНИТОРОМ. В частности это относится к некоторым промышленным моделям, которые считаются совместимыми с «Радио-86РК». Так, для загрузки основной программы загрузчик вызывает подпрограмму ввода с магнитофона, которая не имеет объявленной точки входа и в стандартном МОНИТОРЕ начинается с адреса FA86H. В явном виде этого адреса в программе-загрузчике нет, он формируется в процессе ее выполнения.

Принцип действия программы основан на загрузке в верхнюю стека нового адреса возврата из подпрограммы ввода файла с магнитной ленты (директива I). Этим новым адресом является адрес старта первоначального загрузчика, записанный в первых двух байтах подпрограммы загрузки.

— начальный адрес записываемой программы в ОЗУ (ячейки 6026H и 6027H);

— конечный адрес записываемой программы в ОЗУ (ячейки 6029H и 602AH);

— стартовый адрес (адрес запуска) записываемой программы (ячейки 604AH и 604BH).

Напомним, что первым записывается младший байт адреса, а вторым — старший. Старший байт стартового адреса не должен превышать 7FH.

Работу программы-загрузчика с автозапуском поясним на примере. Прежде всего нужно ввести в память компьютера и сохранить на магнитной ленте машинные коды собственно программы-загрузчика (см. таблицу) и проверить контрольную сумму — она должна равняться F3BC в шестнадцатичном формате. Затем в ее служебные ячейки нужно, как отмечалось ранее, записать три адреса. Предположим, что мы хотим записать с автозапуском интерпретатор BASIC «МИКРОН». Его начальный адрес 0000H записываем с помощью директивы M МОНИТОРА или программы DUM-PCOR в ячейки 6026H и 6027H, конечный адрес 1FFFFH — в ячейки 6029H (FFH) и 602AH (F) и, наконец, адрес старта (запуска) — 0000H в ячейки 604AH и 604BH (заметьте, что в дампе, приведенном в таблице, записаны как раз эти адреса). Теперь можно запустить программу-загрузчик директивой G6000. На экране появится сообщение «OK:», и программа перейдет в режим ожидания команд. Их всего две: нажатие клавиши F4 передает управление МОНИТОРУ, а нажатие ПРОБЕЛА приводит к записи файла на магнитофон, который предварительно нужно включить в режим записи. По окончании записи программа-загрузчик вновь войдет в режим ожидания команд — на экране появится «OK:». Запись можно повторить, нажав ПРОБЕЛ и сделав нужное количество дублей, а если это не требуется — выйти в монитор нажатием клавиши F4. Записанная программа теперь может использоваться для загрузки с автозапуском (по первому рекорду) и без автозапуска (по второму). При вводе с автозапуском вначале в область ОЗУ 76CD—76FF записывается вспомогательная программа-загрузчик, затем ей передается управление, загружается основная программа и, наконец, основная программа запускается на выполнение по заданному адресу. Если при старте основной экран не очищается, то на нем будут видны начальный, конечный адреса и контрольная сумма загрузчика и через пустую строку адреса и контрольная сумма основной программы.

Программа-загрузчик может располагаться не только в области 6000H—607FH, но и в любой другой, ее можно переместить путем дизассемблирования и повторного ассемблирования с новым стартовым адресом, не забывая о ранее отмеченных ограничениях.

Принцип автозапуска программ достаточно универсален и может быть применен в более сложных программах и в программах для других компьютеров.

В. ЧЕРНЫШЕВ

г. Ивано-Франковск

ВОССТАНОВЛЕНИЕ ИСПОРЧЕННЫХ ФАЙЛОВ

Н аверное многим владельцам компьютера «Радио-86РК» приходилось сталкиваться с ситуацией, когда несмотря на все старания программа вводится с ошибкой, а другой, более качественной копии нет. При просмотре видно, что в программах на Бейсике нарушен порядок нумерации строк, искажена текстовая информация, а в программах в машинных кодах не совпадает контрольная сумма, искажены тексты и т. д. Попытки почистить и выставить поточнее магнитную головку помогают не всегда, и делается вывод об утрате программы. Проведенные автором исследования показали, что в некоторых слу-

```

; ПРОГРАММА ВОССТАНОВЛЕНИЯ
; ИСПОРЧЕННЫХ ФАЙЛОВ
; АВТОР ЭДИШЕРАШВИЛИ В. Г.
; Г. ЗАПОРОЖЬЕ
MONITOR EQU 0F800H
ORG 7400H
LXI H,75D0H
SPHL
LXI H,BECBAD
LXI B,ENDBAD
PUSH PSW
SHIFT: POP PSW
MOV A,M
RAR
MOV M,A
PUSH PSW
INX H
MOV A,H
SUB B
JNZ SHIFT
MOV A,L
SUB C
JNZ SHIFT
JMP MONITOR
END

F800
7400 21 DO 75
7403 F9
7404 21 XX XX
7407 01 YY YY
740A F5
740B F1
740C 7E
740D 1F
740E 77
740F F5
7410 23
7411 7C
7412 90
7413 C2 OB 74
7416 7D
7417 91
7418 C2 OB 74
741B C3 00 F8

```

чаях испорченную и якобы безнадежно утраченную программу можно восстановить. Очень часто причина искажений текста программы — выпадение одного или нескольких бит информации. При считывании ввод информации происходит побитно, и в результате происходит сдвиг всей информации влево на количество выпавших бит (например, из-за дефекта магнитной ленты). В такой ситуации может оказаться полезной предлагаемая программа, исходный текст и машинные коды которой приведены в таблице. В машинных кодах программы вместо XX XX и YY YY должны быть указаны адреса начала и конца «испорченной» области программы. Для программ на BASICе их можно определить, просматривая по директиве L МОНИТОРА память компьютера, начиная с адреса 2200H. Характерные признаки порчи программы — отсутствие текстовой информации, неупорядоченное возрастание номеров строк. Программы в машинных кодах предварительно нужно дизассемблировать и анализировать полученный текст, в котором признаками порчи будут передача управления или вызов подпрограмм за пределами рабочей области или МОНИТОРА и т. д.

Адрес начала «испорченной области» записывают вместо XX XX (первым — младший байт), а адрес конца — вместо YY YY, также соблюдая порядок следования байтов в адресе. Затем программу-корректировщик запускают командой G7400 и вновь просматривают тексты (дампы) программ, как описано ранее. Если текстовая информация восстановилась — «ремонт закончен», а если же нет, процедуру можно попытаться повторить. За каждый проход происходит сдвиг вправо на один бит, таким образом, сколько бит утрачено, столько раз придется запускать программу. Признак восстановления программ (помимо появления осмысленных текстовых сообщений) — правильная нумерация строк в программах на BASICе и отсутствие запрещенных обращений и адресов подпрограмм в дизассемблированных текстах программ в машинных кодах.

Заключительная операция — корректировка начала сдвигавшейся (бывшей «плохой») области. На место утраченных нужно добавить в старшие разряды один или несколько бит, исходя из контекста корректируемой программы. Контрольные суммы должны совпадать, программы на BASICе — просматриваться без сбоев по директиве LIST.

В. ЭДИШЕРАШВИЛИ

г. Запорожье



ПУЛЬТ И ДЕШИФРАТОР СДУ НА ИК ЛУЧАХ

ДЕШИФРАТОР КОМАНД

Фотоприемник для СДУ целесообразно собрать по известной типовой схеме, изображенной на рис. 4. Он принимает ИК излучение, формирует и усиливает пакеты импульсных посылок.

Принципиальная схема дешифратора показана на рис. 5. Он состоит из селектора информационных импульсов (VT1, DD3.2, DD5.2), счетчика-распределителя (DD2), формирователя сигналов защиты от помех (DD1, VT2, DD4.1), формирователя импульсов переключения программ (VD3, VD4, VT3, DD5.1, DD6, DD7), трех емкостных цифроаналоговых преобразователей (DD3.1, DD4.2, VT4; DD3.3, DD4.3, VT5; DD3.4, DD4.4, VT6), устройства выключения телевизора (VT10, K1, VD12), формирователя импульсов индикации громкости (DD5.3, DD5.4, VT7) и индикатора прохождения команд VD13.

Импульсы отрицательной полярности, приходящие с фотоприемника, инвертируются элементом DD3.2 (рис. 6, осц. 1) и запускают одновибратор, собранный на RS-триггере DD5.2 с времязадающей цепью обнуления R1C1VD1. На выходе одновибратора формируется серия импульсов (рис. 6,

осц. 2), которые интегрируются цепью R2C2 (на осциллограмме показано штриховой линией) и поступают на эмиттер транзистора VT1. На его базу воздействуют неинвертированные отрицательные импульсы с фотоприемника. Как видно на осциллограммах 1 и 2, все служебные импульсы приходят на базу транзистора в моменты, когда на его эмиттере присутствует очень малое напряжение. В результате на его коллекторе ничего не формируется. Во время поступления информационного импульса транзистор открывается и на резисторе R6 в его коллекторной цепи выделяется отселектированный импульс положительной полярности (рис. 6, осц. 3), который используется для обнуления счетчика DD2.

Счетчик-распределитель DD2 работает в режиме, когда на его вход CN подано напряжение питания. В этом случае он считает отрицательные перепады импульсов (рис. 6, осц. 2, 4–6), поступающих на вход CP с одновибратора. Результат счета зависит от положения информационного импульса: подсчет числа служебных импульсов ведется начиная с того, после которого расположен информационный, т. е.

с доинформационного (рис. 6, осц. 1, 2, 4).

Если, как в нашем примере, информационный импульс расположен после третьего служебного (на пульте нажата кнопка SB3), то в результате счета (8–2) напряжение (уровень 1) появится на выходе 6 счетчика DD2 в интервале времени от t_2 до t_4 (рис. 6, осц. 7 и 12) между командными послылками. При нажатии кнопки SB4 уровень 1 появится на выходе 5 (8–3) и т. д. В табл. 1 указаны состояния счетчика DD2 (номер выхода с уровнем 1) в зависимости от передаваемой с пульта команды.

Таблица 1

Команда (кнопка пульта)	Сигнал на выходе DD2
Яркость — (SB1)	8
Яркость+ (SB2)	7
Громкость — (SB3)	6
Громкость+ (SB4)	5
Насыщенность — (SB5)	4
Насыщенность+ (SB6)	3
Каналы — (SB7)	2
Каналы+ (SB8)	1

Следует отметить, что счетчик DD2 считает все служебные импульсы (рис. 6, осц. 4, 5). Однако на результат счета влияют только импульсы, начиная с доинформационного, т. е. с момента обнуления счетчика и до момента включения канала обработки сигнала соответствующей команды.

Формирователь сигналов защиты от помех вырабатывает импульсы разрешения работы счетчика-распределителя и прохождения сигналов с его выходов по соответствующим каналам обработки команд. Основным элементом формирователя служит счетчик DD1. На его вход CN поступают принятые командные послылки положительной полярности, импульсы которых он и считает.

При отсутствии помех после девятого импульса послылки на выходе 9 возникает уровень 1 (рис. 6, осц. 8, момент t_2). Напряжение на входе R счетчика начинает медленно расти (рис. 6, осц. 9) за счет зарядки конденсатора C3 через эмиттерный переход открытого транзистора VT2. Примерно через 0,3 с оно достигает уровня сброса счетчика (момент t_3 на осц. 8, 9). Счетчик обнуляется и готов к приему следующего пакета импульсов.

Сформированные прямоугольные импульсы с его выхода 9 приходят на фильтр R7C4 с большой постоянной времени. Постоянное напряжение с фильтра вызывает замыкание ключа DD4.1, к входу R счетчика DD2 подключается резистор R6 и на нем возникает

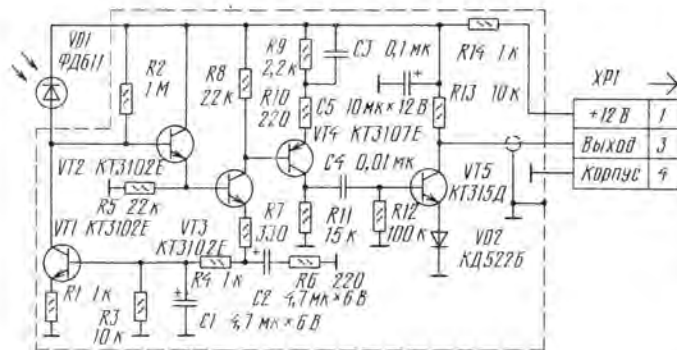


Рис. 4

Продолжение. Начало см. в «Радио», 1992, № 11.

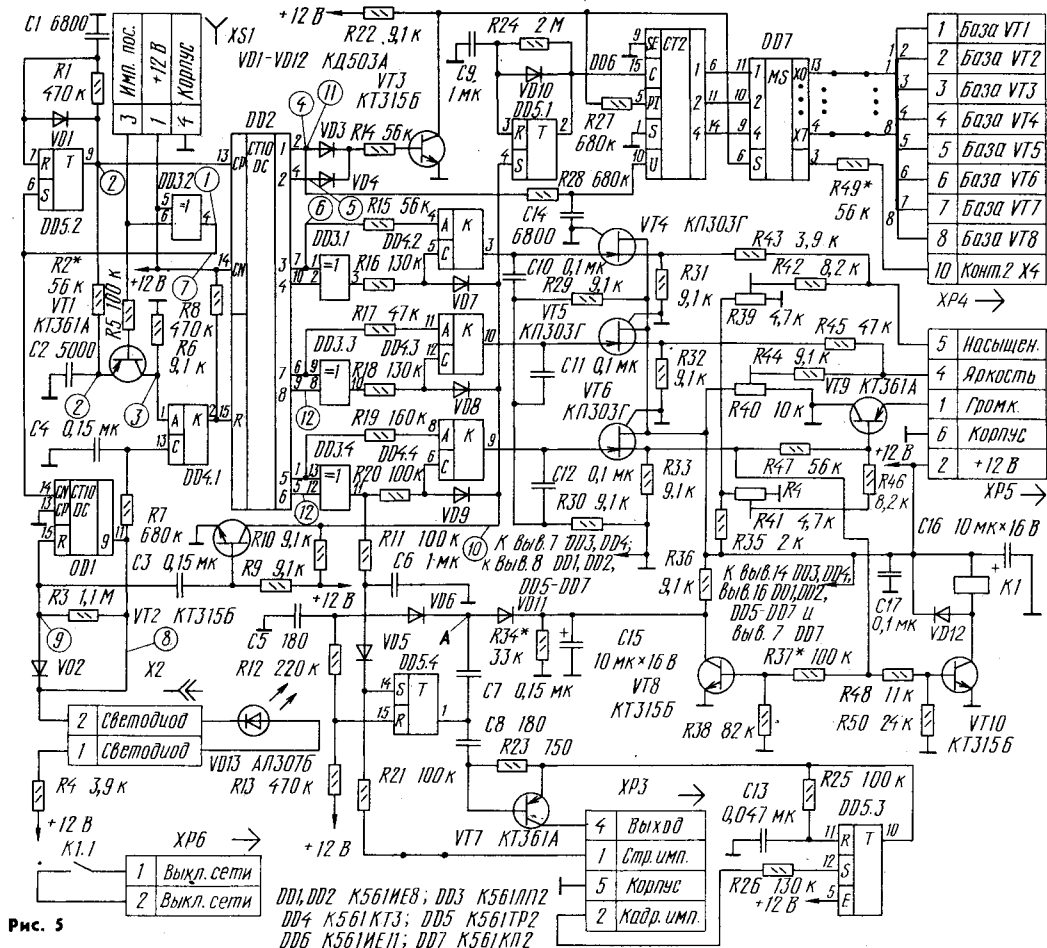


Рис. 5

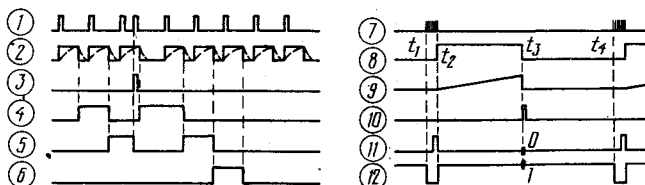


Рис. 6

уровень 0. Вследствие этого счетчик-распределитель DD2, находящийся в обнуленном исходном состоянии (на его вход R через резистор R8 воздействует напряжение питания), начинает функционировать.

Кроме того, в момент t_3 (рис. 6, осц. 9) конденсатор C3 разряжается через резистор R9, диод VD2 и выход 9 счетчика DD1, а напряжение на нем закрывает транзистор VT2. В результате в коллекторной цепи последнего после каждой посылки формируется положительный импульс (рис. 6, осц. 10), разрешающий работу каналов обработки сигналов команд.

При наличии помех (число импульсов в посылках не равно девяти) на выходе счетчика образуется либо уровень 0, либо короткие импульсы. В обоих случаях нет условий для формирования разрешающих сигналов и каналы обработки сигналов команд закрыты.

Основным элементом формирователя импульсов переключения телевизионных каналов (точнее, программ) служит реверсивный счетчик DD6. Импульсы, приходящие на его вход С, определяют темп переключения программ. Период следования разрешающих импульсов (0,4 с) для этой цели не-

приемлем. Поэтому в формирователе введен одновибратор на RS-триггере DD5.1 с времязадающей цепью обнуления R24C9VD10, работающий в режиме делителя частоты. Изменяя постоянную времени цепи R24C9, можно менять коэффициент деления частоты и, следовательно, задавать желаемый темп переключения программ.

На вход изменения направления счета U счетчика DD6 поступает сигнал с выхода 1 счетчика-распределителя DD2. На этом входе будет уровень 1 при нажатии на кнопку SB8 пульта и, следовательно, счет будет вестись в сторону увеличения. Если же нажать на кнопку SB7, то на выходе 1 счетчика DD2 возникнет уровень 0 и счет будет происходить в сторону уменьшения.

Для предотвращения работы счетчика DD6 при нажатии любой другой кнопки, кроме SB7 и SB8 (случай, когда на выходах 1 и 2 счетчика DD2 одновременно присутствуют уровни 0), элементы VD3, VD4, VT3 формируют сигнал запрета счета.

С выходов счетчика DD6 сигналы

переключения программ в двоичном коде поступают на управляющие входы микросхемы DD7, работающей в режиме демультиплексора. Она распределяет напряжение по восьми каналам. Поскольку электронные ключи мультиплексора DD7 — двунаправленные, это позволяет подключить СДУ к телевизорам с различными устройствами сенсорного выбора программ (СВП). На рис. 5 показана схема сопряжения дешифратора с устройством УСУ-1-15. Контакты 1—8 разъема ХР4 должны быть подсоединены к базам транзисторов VT1—VT8 устройства, а на контакт 10 нужно подать напряжение +12 В.

Сопряжение СДУ с устройством СВП-4-1 или СВП-4-5 — сложное, поскольку оно коммутирует высокое напряжение 60 В. Поэтому для защиты мультиплексора нужно использовать ограничительную диодную матрицу, включаемую вместо перемычек, соединяющих выходы микросхемы DD7 с контактами разъема ХР4 (на плате в следующей части статьи детали матрицы показаны штриховыми линиями). В этом случае контакт 10 разъема ХР4 должен быть соединен с базой транзистора VT11 устройства СВП-4, контакты 1—6 разъема ХР4 — с выводами 16, 10, 11, 13, 14, 15 микросхемы D4 устройства, а сопротивление резистора R49 должно быть увеличено до 100...500 кОм.

Команды, посылаемые кнопками пульта SB1—SB6, используют для создания аналоговых сигналов управления яркостью, насыщенностью изображения и громкостью звука. Это делают три одинаковых емкостных цифроаналоговых преобразователя. Рассмотрим для примера работу канала регулировки яркости изображения.

При нажатии на кнопку SB2 команды «Яркость+» на выходе 7 микросхемы DD2 в интервале времени от t_2 до t_1 (рис. 6, осц. 12) присутствует уровень 1 (на остальных выходах счетчика — уровень 0). На выходе элемента «ИСКЛЮЧАЮЩЕЕ ИЛИ» DD3.3 также будет уровень 1. При поступлении разрешающего импульса (рис. 6, осц. 10) электронный ключ DD4.3 замыкается и накопительный конденсатор C11 подзарядается через резистор R17. При длительной подаче команды «Яркость+» электронный ключ периодически замыкается, в результате чего конденсатор C11 ступенчато заряжается. В интервалах времени между разрешающими импульсами и при отсутствии сигнала команды электронный ключ разомкнут (состояние Z), а конденсатор C11, не имея цепи разрядки, в течение длительного времени сохраняет накопленный заряд. Напряжение, получаемое при этом на выходе истокового повторителя на транзисторе VT5, обеспечивает необходимую большую яркость изображения.

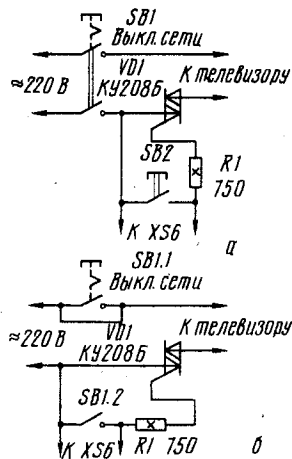


Рис. 7

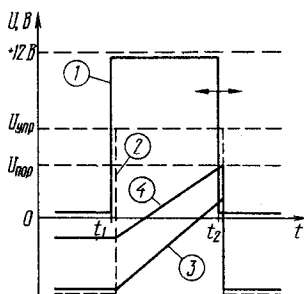


Рис. 8

При нажатии на кнопку SB1 («Яркость —»), как и в предыдущем случае, электронный ключ DD4.3 будет периодически замыкаться, поскольку на выходе элемента DD3.3 опять повторяется уровень 1 с выхода 8 счетчика DD2. Однако теперь на его выходе 7 будет уровень 0, в результате конденсатор C11 будет ступенчато разряжаться. Следовательно, яркость изображения будет уменьшаться.

В момент включения телевизора желательно, чтобы система автоматически устанавливала средние (нормированные) уровни регулировок. Это достигается подключением нижних (по схеме) обкладок конденсаторов C10—C12 к делителю R29R30. При включении телевизора напряжение с делителя через конденсаторы C10—C12 оказывается приложенным к затворам транзисторов VT4—VT6 истоковых повторителей, что и обуславливает установку нормированных уровней, от которых и начинается регулировка при подаче команд с пульта управления.

Выключение телевизора с пульта обеспечивается уменьшением громкости звука до нуля. С этой целью телевизор дорабатывают по одному из двух вариантов в соответствии со схемами на рис. 7. Параллельно контактам пусковой

кнопки SB2 (рис. 7, а), устанавливаемой в телевизор, через разъем XS6 подключены контакты K1.1 реле K1. Если при этом включить выключатель сети телевизора и нажать пусковую кнопку SB2, телевизор включается, подается напряжение питания на СДУ, автоматически устанавливаются нормированные уровни регулировок и на истоке транзистора VT6 появляется напряжение около 6 В. При таком напряжении открывается транзистор VT10, реле K1 срабатывает и его контакты K1.1 замыкаются, блокируя контакты пусковой кнопки SB2, которую поэтому можно опустить.

При необходимости выключения телевизора с пульта уменьшают громкость до нуля, напряжение на истоке транзистора VT6 уменьшается до 2 В, транзистор VT10 закрывается, контакты K1.1 реле K1 размыкаются, симистор VD1 закрывается и телевизор выключается.

Второй вариант доработки (рис. 7, б) отличается тем, что функцию пусковой кнопки выполняет выключатель сети телевизора. Это, конечно, удобнее, однако при выключении телевизора размыкается лишь один провод сети, тогда как в первом варианте (рис. 7, а) при выключении телевизора его выключателем этот недостаток отсутствует.

Регулировочные напряжения, сформированные СДУ, поступают на выходы управления микросхем соответствующих каналов телевизора. Однако диапазоны их изменения в разных каналах и различных телевизорах существенно отличаются. Так, в телевизорах УПИМЦТ для регулирования яркости от минимума до максимума достаточно на выводе управления микросхемы изменить напряжение в пределах 4,7...5,5 В, а на истоке транзистора VT5 (рис. 5) напряжение меняется в пределах 2...10 В. Поэтому для получения требуемых диапазонов и крутизны (скорости) регулировок в СДУ введены цепи согласования на резисторах R39—R47. Крутизна регулировок уменьшается введением делителей на резисторах R42—R47, а среднее значение в диапазонах регулировок, как более критичный параметр, устанавливают подстроечными резисторами R39—R41.

Громкость звука в телевизорах УПИМЦТ регулируется шунтированием управляющей цепи микросхемы переменным резистором. Так как на выводе микросхемы напряжение равно +3,5 В, для обеспечения регулировки введен транзистор VT9. При изменении напряжения на базе он шунтирует цепь микросхемы, чем и достигается регулировка громкости. В случае сопряжения СДУ с телевизором ЗУСЦТ на эмиттер транзистора VT9 нужно подать напряжение питания через резистор сопротивлением 9,1 кОм.

Основным элементом формирования импульсов визуализации процесса регулировки громкости служит мультивибратор на RS-триггере DD5.4. Он запускается строчными импульсами положительной полярности, поступающими из телевизора через разъем ХРЗ. На выходе мультивибратора формируются импульсы с изменяющейся задержкой спада в зависимости от регулирующего напряжения.

С этой целью конденсатор С7 и диод VD11 образуют переходную цепь импульсной фиксации уровня регулирующего (управляющего) напряжения. В точке А (рис. 5) это напряжение, поступающее на катод диода VD11, фиксируется за счет зарядки конденсатора С7 во время действия импульса мультивибратора (рис. 8, осц. 1 и 2). При отсутствии импульса до момента t_1 конденсатор С5 быстро заряжается через диод VD6 до напряжения на конденсаторе С7. В интервале времени от t_1 до t_2 , т. е. во время действия импульса мультивибратора, диод VD6 закрывается, а конденсатор С5 продолжает заряжаться через резисторы R12 и R13 (рис. 8, осц. 3). На вход R триггера DD5.4 поступает напряжение с делителя R12R13 (рис. 8, осц. 4). В момент t_2 напряжение на входе R достигает уровня переключения мультивибратора, что и определяет момент формирования спада импульса. Если изменяется управляющее напряжение, то изменяется и напряжение, с которого начинается зарядка конденсатора С5 и, следовательно, изменяется момент переключения мультивибратора.

Сформированное на выходе триггера DD5.4 импульсное напряжение дифференцируется цепью С8R23. Получаемый при этом отрицательный импульс, совпадающий с моментом спада импульса мультивибратора, открывает транзистор VT7. Импульс на его коллекторе, будучи введенным в яркостный сигнал телевизора, создает на экране яркую вертикальную линию.

Одновибратор на RS-триггере DD5.3 запускается кадровыми импульсами телевизора. На выходе одновибратора формируются положительные импульсы длительностью около 4 мс, которые используются для питания транзистора VT7. Вследствие этого вертикальная линия превращается в короткий штрих вверх экрана. Для того, чтобы при увеличении управляющего напряжения на входе транзистора VT6 штрих визуализации регулировки громкости перемещался вправо, это напряжение инвертирует каскад на транзисторе VT8.

(Окончание следует)

В. ВОВЧЕНКО

г. Харьков



СВЕТОДИОД В НИЗКОВОЛЬТНОМ СТАБИЛИЗАТОРЕ НАПЯЖЕНИЯ

Разрабатывая стабилизаторы малых напряжений, радиолюбители нередко сталкиваются с трудностями подбора хороших стабилизаторов. Широко распространенные низковольтные стабилизаторы (КС133А, а также другие на напряжение 3,3 В, не всегда пригодны для этих целей, так как обладают высоким динамическим сопротивлением и большим температурным коэффициентом напряжения. Примерно такими же параметрами характеризуются и кремниевые диоды при их включении в прямом направлении, что позволяет применять их в качестве источников образцового напряжения в стабилизаторах лишь в самом крайнем случае.

Между тем есть другой путь решения этой проблемы. Речь идет об использовании в низковольтных стабилизаторах напряжения светодиодов. На светодиодах при прямых токах 2...10 мА происходит падение напряжения 1,55...2,2 В — это значение зависит от типа светодиода и его цвета свечения. Температурный коэффициент напряжения светодиода по абсолютной величине близок к такому же параметру кремниевых диодов и транзисторов (около 2 мВ/град), что позволяет достаточно точно компенсировать их температурный дрейф.

К сожалению, диапазон напряжений, которые могут стабилизировать светодиоды, не очень широк. Испытанные инфракрасные светодиоды АЛ107А имели падение напряжения 1,07...1,14 В при токе 2...10 мА, а красные светодиоды — от 1,55 до 1,8 В при токе 2 мА и от 1,65 до 1,9 В при токе 10 мА. Падение напряжения на светодиодах желтого и зеленого свечения колеблется от 1,8 до 2 В при таких же токах (рис. 1). Некоторые светодиоды при токах 5...10 мА имели падение напряжения до 2,2 В, хотя при токе 1...2 мА их характеристики были такие же, как и у остальных светодиодов.

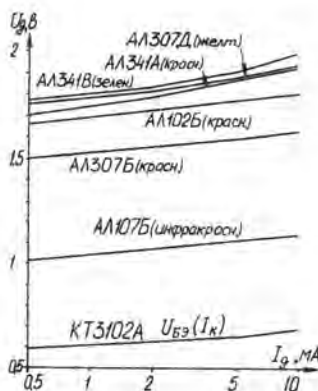


Рис. 1

Дифференциальное сопротивление светодиодов может быть от 40 Ом при токе 1 мА до 4...6 Ом при токе 10 мА.

При разработке низковольтных стабилизаторов приходится также учитывать, что напряжение на регулирующем транзисторе с некоторым запасом на напряжение пульсаций становится близким по значению к входному стабилизируемому напряжению или превышает его, что сильно снижает КПД стабилизатора. Поэтому возникает необходимость увеличения емкости конденсатора, сглаживающего пульсации на входе стабилизатора, а также использования стабилизатора с минимальным падением напряжения на регулирующем транзисторе.

Схема одного из вариантов стабилизатора на напряжение 3 В при токе до 250 мА, разработанного с учетом сказанного выше, приведена на рис. 2. Стабилизатор собран по схеме моста в выходной цепи, образованного резисторами R4, R5 и светодиодами HL1, HL2. В диагональ моста включен эмиттерный переход транзистора VT2, управляющего регулирующим транзистором VT1. Светодиоды моста

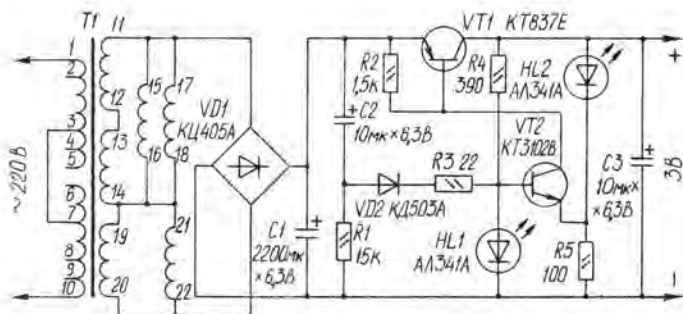


Рис. 2

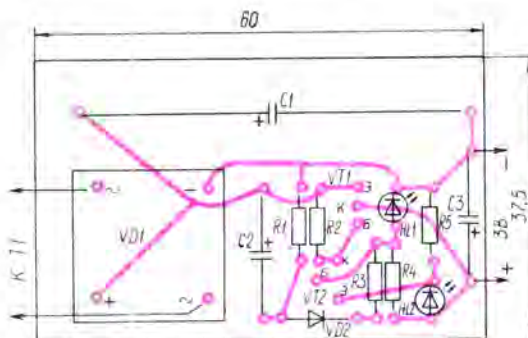


Рис. 3

выполняют функцию стабилизирующих элементов. Температурные изменения падения напряжения на светодиоде HL1 и эмиттерном переходе транзистора VT2 компенсируются [1], температурный дрейф падения напряжения на светодиоде HL2 не скомпенсирован и определяет ТКН стабилизатора в целом на уровне -2 мВ/град.

Напряжение на выходе стабилизатора определяется суммарным падением напряжения на светодиодах HL1 и HL2 (около 3,7 В) минус падение напряжения на эмиттерном переходе транзистора VT2 (0,65 В).

Цепь C2R1VD2R3 — пусковая. В момент включения стабилизатора импульс тока зарядки конденсатора C2, протекая через светодиод HL1, включает транзисторы VT2, VT1 и стабилизатор в целом [2].

Трансформатор Т1, использованный в выпрямителе блока питания, типа ТПП-204, напряжение которого (6,3 В при указанном на схеме соединении вторичных обмоток) несколько уменьшено за счет включения большей части сетевых обмоток в сеть по сравнению с номинальным режимом, когда в сеть включаются выводы 2 и 9 первичных обмоток. При использовании самодельного сетевого трансформатора его вторичная обмотка должна быть рассчитана на напряжение 5,5...6 В. Можно также использовать любой накальный трансформатор на напряжение 6,3 В, но в этом случае несколько снизится КПД

стабилизатора и увеличится нагрев транзистора VT1.

Транзистор VT1 может быть любым из серий КТ814, КТ816, КТ818, КТ837 со статическим коэффициентом передачи тока базы не менее 40, а транзистор VT2 — мало-мощным кремниевым структуры п-р-п с таким же коэффициентом h_{213} . Конденсатор C1 — К50-29, а C2 и C3 — К53-4; резисторы — МЛТ-0,125, диод VD2 — любой кремниевый.

Все детали, кроме трансформатора, размещены на печатной плате размерами 60х37,5 мм (рис. 3). Транзистор VT1 снабжен небольшим пластинчатым теплоотводом, расположенным над диодным мостом VD1.

Стабилизатор защищен от коротких замыканий в цепи нагрузки. В случае перегрузки транзистор VT2 и, следовательно, VT1 закроются. Такое состояние стабилизатора устойчиво и сохраняется до его выключения. Повторное включение стабилизатора возможно только после разрядки конденсатора C1. Поскольку этот конденсатор сам по себе разряжается долго, параллельно ему можно подключить резистор сопротивлением 1...2 кОм. При обычном же выключении питания конденсатор C1 быстро разряжается через элементы стабилизатора или нагрузку.

Стабилизатор защищен и от перегрузки по току. Ток базы транзистора VT1 не может превысить значение тока, текущего через резистор R5. При указанных на схеме номиналах радиодеталей

ток через этот резистор равен примерно 12 мА, поэтому ток коллектора транзистора VT1 при коэффициенте h_{213} около 40 не может превысить 480 мА. Поскольку с повышением температуры транзистора его коэффициент h_{213} увеличивается, порог ограничения выходного тока также возрастает. Если статический коэффициент передачи тока используемого транзистора VT1 больше, чем 40, сопротивление резистора R5 целесообразно пропорционально увеличить.

Выходное сопротивление стабилизатора определяется в первом приближении динамическим сопротивлением светодиода HL2, деленным на коэффициент h_{213} транзистора VT1. Если, однако, снижение выходного сопротивления является более важным, чем требование защиты стабилизатора от перегрузки по току, целесообразно использовать транзистор VT1 с возможно большим коэффициентом, а ток через резистор R5 установить максимально допустимым для светодиода HL2, что уменьшит динамическое сопротивление этого светодиода.

Для перестройки стабилизатора на другое выходное напряжение потребуются светодиоды другого типа или иного цвета свечения. Можно также последовательно со светодиодом HL2 включить еще один аналогичный ему светодиод или заменить его стабилитроном КС139А — в этом случае выходное напряжение будет близко к 5 В.

Увеличить выходной ток стабилизатора можно заменой транзистора VT1 составным транзистором. Если изменить полярность включения оксидных конденсаторов, диода, светодиодов и применить транзистор структур, противоположных показанным на схеме рис. 1, то транзистор VT1 может быть серии КТ829, что обеспечит выходной ток до нескольких ампер. Такой транзистор следует установить на теплоотвод, который может быть соединен с общим проводом (конечно, при положительной полярности выходного напряжения).

Описанный здесь стабилизатор много лет используется для питания магнитофона-плеера в стационарных условиях.

П. АЛЕШИН

г. Москва

ЛИТЕРАТУРА

1. Бирюков С. Портативный цифровой мультиметр: Сб. «В помощь радиолюбителю», вып. 100, с. 71. — М.: ДОСААФ, 1988.
2. Аleshин П. Усовершенствованное дупольное стабилизатора. — Радио, 1988, № 1, с. 50.



О ПОВЫШЕНИИ КАЧЕСТВА ЗВУЧАНИЯ АС

О РАБОТЕ ГРОМКОГОВОРТЕЛЯ В ОБЛАСТИ СРЕДНИХ И ВЫСОКИХ ЧАСТОТ

Сглаживание АЧХ громкоговорителя по звуковому давлению в области низких частот — не единственная задача, которую приходится решать радиолюбителю при попытке улучшить параметры своей АС. Дело в том, что ни одна из созданных до настоящего времени динамических головок не в состоянии перекрыть весь звуковой диапазон, и поэтому все АС класса Hi-Fi выполняются по двух- или трехполосным схемам, предполагающим наличие в них разделительных фильтров. Как правило, это пассивные фильтры первого (реже второго) порядка, влияние которых на характеристики громкоговорителей так же велико, как и самих динамических головок. Однако, судя по публикациям журнала «Радио», это обстоятельство большинством читателей и авторов во внимание не принимается.

Проиллюстрируем сказанное примером, взятым из работы [7]. На рис. 13 приведены АЧХ установленных в громкоговорителе 25АС-309 головок 25ГД-26, 15ГД-11А и 3ГД-31, включенных через заводской разделительный фильтр. Сплошной линией показана АЧХ НЧ и ВЧ головок (при отключенной среднечастотной), штриховой — АЧХ одной СЧ головки. На последней характеристике обращает на себя внимание подъем АЧХ вблизи частоты 100 Гц, достигающий 10 дБ. Этот подъем замечто увеличивает «бубнение» АС, что и побудило авторов [7] переделать громкоговоритель.

Каковы причины возникновения этого нежелательного подъема АЧХ? Очевидно, что общая добротность СЧ головки достаточно велика и скорее всего больше 1.

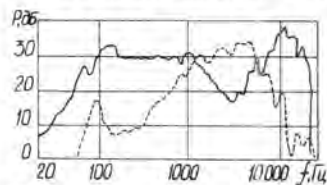


Рис. 1

Окончание. Начало см. в «Радио», 1992, № 9—11.

Однако вместо того, чтобы сгладить характеристику если не отрицательным, то хотя бы нулевым выходным сопротивлением УМЗЧ, разработчики АС последовательно с головкой включили резистор сопротивлением 5,1 Ом, что и привело к увеличению подъема АЧХ не менее чем на 6 дБ. Отказаться от применения этого резистора нельзя, поскольку отдача СЧ головки 15ГД-11А (при одинаковой подводимой мощности) примерно вдвое выше, чем у 25ГД-26. Установленный в АС разделительный фильтр первого порядка, хотя и настроен на относительно высокую частоту (1600 Гц), не в состоянии достаточным образом ослабить сигнал СЧ головки на низких частотах. К тому же частота раздела находится в области максимальной чувствительности слуха к искажениям, что не могло не сказаться на качестве звучания.

Анализ характеристики ВЧ головки (сплошная кривая на рис. 13 в области от 5...20 кГц) показывает, что в сравнении с НЧ головкой ее отдача также слишком высока. В связи с этим последовательно с ней также пришлось включить резистор сопротивлением 5,1 Ом. Однако этого оказалось недостаточно и подъем АЧХ ВЧ головки на частотах 10...15 кГц остался неоправданно большим.

Указанные недостатки присущи как многим (если не большинству) серийно выпускаемым в стране АС [6], так и большинству трехполосных АС, изготовленных радиолюбителями (правда, о последнем можно говорить лишь предположительно, так как практически никто из радиолюбителей не обладает возможностью подобно авторам [7] снять АЧХ своей АС в звуковой камере). Способы борьбы с этими недостатками, предлагаемые авторами [7], хотя и дают положительные результаты для конкретной АС, однако вряд ли могут быть рекомендованы на все случаи жизни, поскольку номиналы элементов фильтров сильно зависят от типов применяемых громкоговорителей и их акустического оформления. Настоящий пример демонстрирует, как пренебрежение хотя бы одним из звеньев звуковоспроизводящего комплекса делает качество звучания заметно хуже потенциально достижимого.

Из всего многообразия литера-

туры, посвященной громкоговорителям, пожалуй, лишь в работе [3] разделительным фильтрам уделено должное внимание. Поэтому прежде, чем обсуждать дальнейшие пути улучшения параметров громкоговорителей, нужно хотя бы вкратце познакомиться с современными воззрениями на роль разделительных фильтров в АС, типами применяемых фильтров, их достоинствами и недостатками.

ОСОБЕННОСТИ РАБОТЫ ФИЛЬТРОВ В АС

Исследования 40—50-х годов показали, что при проектировании многополосных АС недостаточно учитывать только АЧХ фильтров и не принимать во внимание их фазочастотные характеристики (ФЧХ). Предположим, что в имеющейся в нашем распоряжении двухполосной АС применены идеально согласованные по АЧХ фильтры. Иными словами, в области частоты раздела сумма амплитуд сигналов на выходах фильтров (при неизменной амплитуде на входах) постоянна и равна амплитуде сигнала на выходе любого из них в пределах его полосы пропускания. Если пренебречь неравномерностью АЧХ такой АС, обусловленной интерференцией звуковых волн в закрытом объеме, то, казалось бы, она должна быть горизонтальной в области частоты раздела, без подъемов и провалов.

Однако получить такую АЧХ не удастся. Причина — в различии ФЧХ НЧ и ВЧ фильтров. Если на одной из частот в области частоты раздела амплитуды сигналов на выходах НЧ и ВЧ фильтров примерно равны, но один из них задерживает сигнал на 90°, а на выходе другого он присутствует с опережением по фазе на такую же величину, то сигналы, воспроизводимые ВЧ и НЧ головками одновременно, будут не суммироваться, а вычитаться, в результате чего на АЧХ возникнет глубокий провал на упомянутой частоте. По этой причине далеко не все фильтры могут быть применены в высококачественных АС.

В настоящее время разработчиками большинства западных фирм, равно как и разработчиками лучших отечественных АС, используются всего несколько типов фильтров, получивших названия фильтров «постоянного входного сопротивления», «всепропускающего типа» и «постоянного наприжения».

Фильтры «постоянного входного сопротивления», по существу, представляют собой фильтры Баттерворта соответствующего порядка. При равенстве и активном характере сопротивлений нагрузки НЧ и ВЧ каналов их входное сопротивление постоянно. Фильтры четных порядков на частоте раздела создают на суммарной АЧХ АС по звуковому дав-

лению подъем, достигающий 3 дБ, в связи с чем они не используются разработчиками высококачественных АС. Суммарная АЧХ АС, использующих фильтры нечетных порядков, не зависит от частоты, но эти фильтры имеют частотно-зависимый фазовый сдвиг как в ВЧ, так и в НЧ каналах. ФЧХ НЧ и ВЧ каналов фильтров Баттерворта нечетного порядка идентичны, но характеризуются фазовым сдвигом ВЧ сигнала относительно НЧ,

равным $p \cdot \frac{\pi}{2}$, где $p=1, 3, 5, \dots$

Диаграмма направленности АС, использующей фильтры Баттерворта нечетного порядка, несимметрична в области частоты раздела вследствие упомянутого фазового сдвига.

Отметим факт, неизвестный большинству радиолюбителей и разработчиков АС: в фильтрах Баттерворта 3-го, 7-го и т. д. порядков противофазное включение головок разделяемых каналов предпочтительнее с точки зрения снижения фазовых искажений и несимметричности диаграммы направленности, в фильтрах Баттерворта 1-го, 5-го и т. д. порядков предпочтительнее синфазное включение.

Отличительная особенность фильтров «всепропускающего типа» — независимость их суммарной АЧХ от частоты для фильтров нечетных и четных порядков. Для фильтров четных порядков разность ФЧХ ВЧ и НЧ каналов равна $p \cdot 2\pi$, где $p=1, 2, 3, \dots$, для нечетных — $p \cdot \frac{\pi}{2}$, где $p=1, 3, 5, \dots$

Упомянутыми свойствами обладают фильтры Баттерворта нечетных порядков, описанные выше. Таким образом, фильтры Баттерворта нечетных порядков одновременно принадлежат и к классу фильтров «постоянного входного сопротивления», и к классу фильтров «всепропускающего типа».

Но фильтры «всепропускающего типа» четных порядков уже не являются фильтрами Баттерворта, хотя и описываются передаточной функцией, представляющей собой возведенную в квадрат передаточную функцию фильтра Баттерворта вдвое более низкого порядка [3]. Фильтры «всепропускающего типа» четного порядка имеют симметричную диаграмму направленности в области частоты раздела (относительно оси, проходящей через центры динамических головок разделяемых полос). Для них тоже существуют свои правила фазировки динамических головок: для фильтров четных порядков, имеющих степень, равную 4 m , где $m=1, 2, 3, \dots$ обязательно синфазное включение головок в разделяемых полосах. Если порядок равен $2(2m+1)$, где $m=0, 1, 2, \dots$, то допустимо только противофазное включение головок.

Третий класс фильтров — «постоянного напряжения» — используется реже первых двух и труден

для расчета и реализации даже подготовленными радиолюбителями. Желаясь поближе с этими фильтрами познакомиться, равно как и тем, кто хочет получить более полную информацию об описанных выше фильтрах, можно рекомендовать работу [3]. Мы же вернемся к вопросу о том, как с помощью схемотехнических доработок УМЗЧ можно повысить качество звучания АС.

О ВЫБОРЕ ФИЛЬТРОВ ДЛЯ РАДИОЛЮБИТЕЛЬСКОЙ АС

Трудности, испытываемые разработчиками АС при выборе пары ВЧ-НЧ фильтров, имеющих плоскую суммарную АЧХ и удовлетворительную ФЧХ, в значительной мере обусловлены тем, что они должны удовлетворять еще одному требованию — включаться между УМЗЧ и динамическими головками, т. е. быть пассивными. Последнее условие ограничивает возможности разработчиков, поскольку исключает из рассмотрения так называемые фильтры дополнительной функции (ФДФ), в которых в один из каналов, например в низкочастотный, сигнал подается с выхода ФВЧ, а в другой (высокочастотный) поступает разность между входным сигналом и сигналом низкочастотного канала. В таком фильтре достаточно высокие требования к устройству, выделяющему разностный сигнал, в связи с чем его выполняют, как правило, на ОУ. Однако в этом случае для усиления разностного сигнала потребуются дополнительный УМЗЧ, поскольку сигнал с выхода ОУ широкого применения нельзя подавать непосредственно на динамическую головку сопротивлением несколько Ом. В результате усилитель превращается в многополосный, т. е. количество независимых УМЗЧ в стереофоническом комплексе вырастает с 2 до 4—6.

Такой вариант, как правило, неприемлем для фирм-разработчиков и изготовителей звуковоспроизводящей аппаратуры, поскольку стоимость дополнительных затрат в единице продукции не снижается с ростом выпуска. Иными словами, до тех пор, пока существует надежда найти пару ВЧ-НЧ фильтров с хорошо согласованными характеристиками, производители (из экономических соображений) будут придерживаться традиционной схемы построения такой аппаратуры: широкополосный высококачественный УМЗЧ — пассивные разделительные фильтры — динамические головки.

Для радиолюбителей подобный путь далеко не столь оптимален. Дело в том, что из-за отсутствия соответствующей измерительной аппаратуры подавляющее большинство радиолюбителей не имеет возможности достоверно судить о причинах низкого качества звуча-

ния своей АС и подобно [7] целенаправленно выбрать пути их устранения, поскольку единственным способом оценки результатов доработки АС является для них оценка улучшения качества звучания «на слух».

В этом случае гарантированное достижение положительного результата возможно либо при повторении конструкций, предложенных высококвалифицированными специалистами, имеющими возможность объективной приборной оценки своей работы [4], [7], либо при выборе таких технических решений, которые дают результаты, близкие к расчетным.

По мнению автора статьи, к таким решениям, в первую очередь, относится замена однополосного УМЗЧ на многополосный, в котором для разделения полос используются активные фильтры и ФДФ. О преимуществах такого УМЗЧ многое сказано в [10], [11]. Добавим к этому лишь следующее.

При намотке катушек фильтров для высококачественной АС, будь то фильтры «всепропускающего типа», «постоянного напряжения» или «постоянного входного сопротивления», радиолюбитель должен стремиться к тому, чтобы не только индуктивность, но и активное сопротивление катушки было равно расчетному. В противном случае изменяется добротность катушки, а следовательно, и тип фильтра. При применении активных фильтров эта проблема решается легко, поскольку добротность фильтра устанавливается, как правило, одним подстроенным резистором.

Установка пассивных фильтров предполагает использование в них элементов с разбросом номиналов 2...3 %. При выходе за границы этих допусков меняются частоты настроек каждого из фильтров пары ВЧ-НЧ и тип фильтров. АЧХ и ФЧХ АС при этом отклоняются от расчетных, что опять-таки снижает качество АС. Применение ФДФ снимает эту проблему, так как АЧХ и ФЧХ пары таких фильтров согласуются автоматически, причем для любого типа фильтров.

Применение пассивных фильтров и динамических головок с различающимися активными сопротивлениями и развиваемыми уровнями звукового давления требует использования балластных резисторов для согласования этих головок в АС. Как показано выше, это может привести к появлению на АЧХ АС подъема, обусловленного резонансом СЧ головки, подавить который не удастся даже отрицательным выходным сопротивлением УМЗЧ. Все эти проблемы автоматически решаются при использовании многополосного УМЗЧ с подстройкой усиления в каждой из полос и непосредственным подключением динамической головки к выходу УМЗЧ соответствующей полосы.

Как уже отмечалось, наибольшие искажения диаграммы направленности АС отмечаются вблизи частот раздела, когда сигнал излучается одновременно двумя разнесенными в пространстве динамическими головками. Использование активных фильтров 3-го и 4-го порядков в многополосном УМЗЧ позволяет в несколько раз сузить эти области в сравнении с АС, использующими пассивные разделительные фильтры первого (реже второго) порядка.

Кроме того, сами динамические головки вносят свои фазовые сдвиги в излучаемые ими сигналы. Компенсация этих сдвигов при использовании пассивных фильтров в любительских условиях практически невозможна, так как требует большого количества сложных измерений и машинных расчетов. Использование многополосных УМЗЧ облегчает решение и этой задачи, поскольку в данном случае требуется корректировать систему усилитель — реактивный элемент на выходе, что сде-

лать гораздо легче. Если к перечисленным преимуществам добавить легкость расчета правильно сконструированных активных фильтров высокого порядка и лучшее соответствие расчету реальных активных фильтров высокого порядка (вследствие малого влияния одного звена фильтра на другое), становится очевидным, что для радиолюбителя, решившего создать действительно высококачественную АС, но не имеющего в своем распоряжении аппаратуры для количественного анализа всех причин снижения качества ее звучания, оптимальным является использование многополосного УМЗЧ с активными фильтрами высокого порядка и ФДФ.

МНОГОПОЛОСНЫЙ УМЗЧ С РАЗДЕЛИТЕЛЬНЫМИ ФИЛЬТРАМИ

На рис. 14 приведена схема устройства фильтрации и формирования отрицательного выходного сопротивления для трехполосного УМЗЧ, разработанного в соответствии с рекомендациями, приведенными в настоящей статье. Устройство подключается к выходу предварительного усилителя, после регуляторов громкости и тембра. Если выходное сопротивление предшествующего каскада достаточно велико, более 1 кОм, то к

и смесителя НЧ полосы на ОУ DA3. Сигнал ВЧ канала формируется фильтром дополнительной функции на дифференциальном усилителе DA1. На инвертирующий вход усилителя поступает весь входной сигнал, а на неинвертирующий — сигнал с выхода настроенного на частоту 6,5 кГц ФНЧ на транзисторе VT1. Выбранный порядок выделения полос оптимален с точки зрения снижения интермодуляционных искажений — гармоники высших порядков, возникающие в СЧ и НЧ каналах УМЗЧ не могут попасть на УМЗЧ ВЧ канала. С этой же целью в качестве ОУ желательно использовать широкополосные ОУ (например, K574УД1 или K544УД2) с цепями коррекции для единичного усиления.

СЧ и НЧ составляющие входного сигнала, выделенные фильтром на VT1, поступают на инвертирующий вход дифференциального усилителя на ОУ DA2. На его

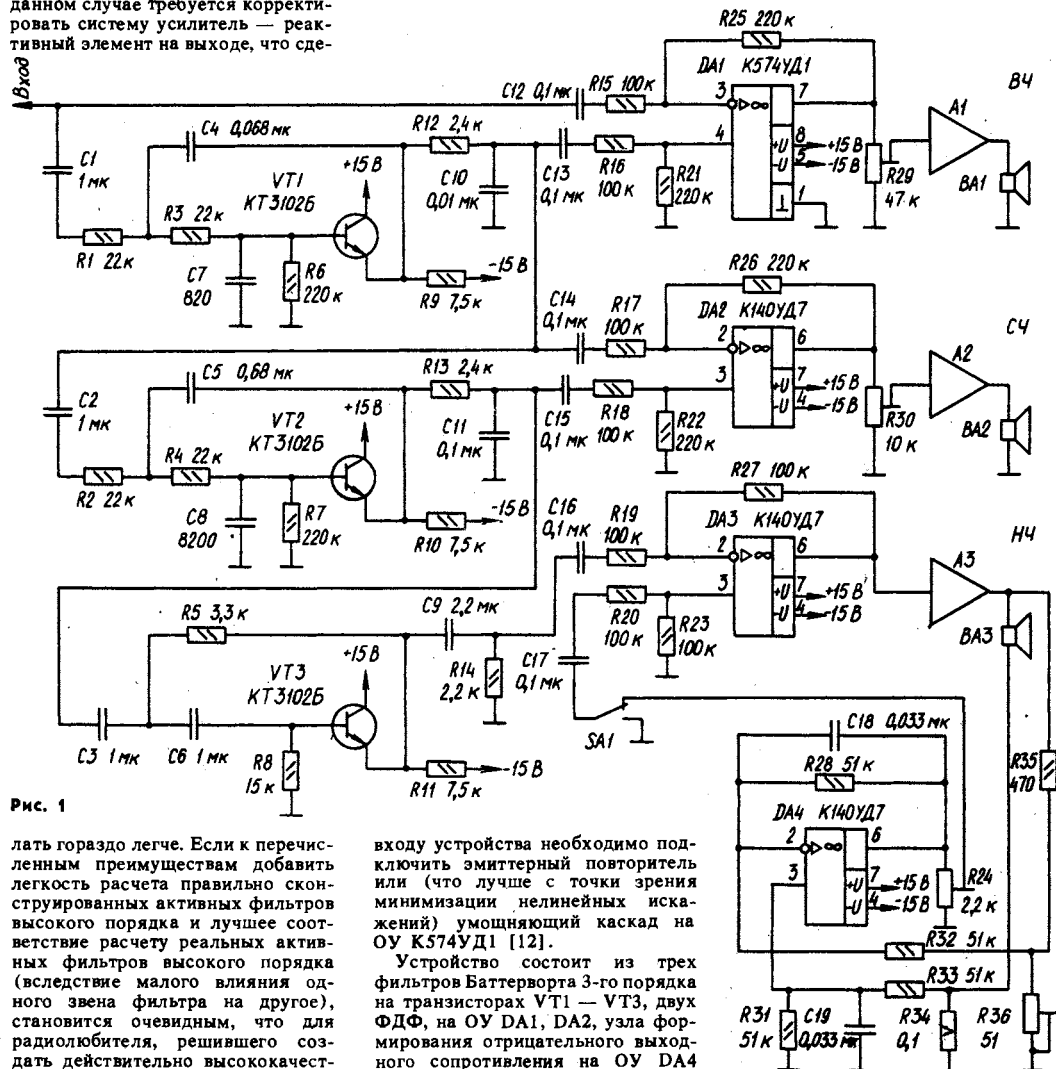


Рис. 1

лать гораздо легче. Если к перечисленным преимуществам добавить легкость расчета правильно сконструированных активных фильтров высокого порядка и лучшее соответствие расчету реальных активных фильтров высокого порядка (вследствие малого влияния одного звена фильтра на другое), становится очевидным, что для радиолюбителя, решившего создать действительно высококачествен-

входу устройства необходимо подключить эмиттерный повторитель или (что лучше с точки зрения минимизации нелинейных искажений) умоощающий каскад на ОУ K574УД1 [12].

Устройство состоит из трех фильтров Баттерворта 3-го порядка на транзисторах VT1 — VT3, двух ФДФ, на ОУ DA1, DA2, узла формирования отрицательного выходного сопротивления на ОУ DA4

неинвертирующий вход поступает сигнал с выхода ФНЧ на транзисторе VT2. Этот ФНЧ настроен на частоту 650 Гц, поэтому СЧ канал воспроизводит сигналы в полосе 650 Гц...6,5 кГц. НЧ составляющие входного сигнала, выделенные фильтром на транзисторе VT2, поступают на ФВЧ на транзисторе VT3, настроенный на частоту 30 Гц. Назначение ФВЧ — отсечь инфранизкие составляющие входного сигнала, перегружающие НЧ головку. С выхода ФВЧ сигнал поступает на инвертирующий вход дифференциального усилителя на ОУ DA3. На его неинвертирующий вход поступает сигнал с узла формирования сигналов ПОСТ и ООСН, выполненного на ОУ DA4. Фазировка каскада на ОУ DA3 приведена для случая неинвертирующего УМЗЧ НЧ канала. При использовании инвертирующего УМЗЧ сигнал с выхода каскада на транзисторе VT3 необходимо подать на неинвертирующий вход ОУ DA3, а сигнал с выхода ОУ DA4 — на инвертирующий.

В качестве канальных УМЗЧ (A1 — A3) можно использовать усилители, описанные в [11], [13], или их аналогичные. При их выборе необходимо только помнить, что номинальная мощность УМЗЧ НЧ канала должна быть не меньше номинальных мощностей УМЗЧ ВЧ и СЧ каналов. Мощность УМЗЧ канала ВЧ может быть в 1,5...2 раза ниже мощности УМЗЧ канала СЧ. Желательно также, чтобы сумма максимальных мощностей УМЗЧ НЧ и СЧ каналов была бы в $3^2=9$ раз выше той мощности, при которой предполагается эксплуатировать комплекс. Последнее определяется тем, что пик-фактор реального музыкального и речевого сигналов равен 3, т. е. максимальное значение выходного напряжения практически в любой фонограмме втрое выше среднего значения и для его неискаженного воспроизведения нужен трехкратный запас по амплитуде выходного сигнала, что эквивалентно девятикратному запасу по мощности.

В качестве ОУ DA2 — DA4 допустимо использовать любые ОУ широкого применения (с соответствующими цепями коррекции, если это необходимо). Транзисторы VT1 — VT3 могут быть любыми кремниевыми с максимально допустимым напряжением между коллектором и базой не менее 20 В и коэффициентом усиления по току не менее 200. Элементы фильтров и резисторы дифференциальных усилителей (за исключением подстроечных) желательно использовать с отклонением их сопротивлений и емкостей от номинальных значений не более 5 %. При настройке какого-либо фильтра на другую частоту необходимо уменьшить емкости соответствующего фильтра во столько раз, во сколько требуется увеличить частоту настройки (и наоборот).

Устройство, собранное без ошибок из исправных деталей, не требует налаживания. При подаче питания напряжения на эмиттерах его транзисторов должны находиться в пределах 0,6...0,7 В, а напряжения на выходах ОУ DA1 — DA3 (SA1 в нижнем по схеме положении) — 1...+1В. Аналогичное напряжение должно установиться на выходе ОУ DA4 при замыкании накоротко резисторов R34 и R36. Фильтры не требуют какой-либо специальной настройки. Каналы ПОСТ и ООСН подстраивают аналогично описанным ранее. Движки подстроечных резисторов R29 и R30 устанавливаются в такое положение, при котором уровень звукового давления, развиваемого АС на частотах 100, 300, 500 Гц (НЧ канал), 1, 2, 4 кГц (СЧ канал, резистор R30) и 10, 15, 18 кГц (ВЧ канал, резистор R29), был примерно одинаковым. Уровень звукового давления измеряют с помощью микрофона с усилителем и вольтметром переменного напряжения на выходе при подводимой к УМЗЧ мощности не более 2...3 Вт на расстоянии 1...2 м от АС. Измерения необходимо сделать минимум на трех (лучше на пяти — семи) частотах в пределах каждой из полос из-за неравномерности АЧХ по звуковому давлению вследствие интерференции звуковых волн в закрытом объеме АС, форма которой отлична от сферической.

Необходимо также отметить, что использование резисторов R29 и R30 в качестве регуляторов тембра, как это предполагалось ранее рядом авторов, недопустимо. Это обусловлено высокой крутизной характеристики разделительных фильтров. Разбаланс уровней звукового давления в различных каналах при такой крутизне фильтров искажает звучание в значительно большей степени, чем акустические недостатки помещения.

Радиолюбитель, стремящийся создать высококачественную АС, должен принимать во внимание еще два момента. Во-первых, существенно сгладить АЧХ АС по звуковому давлению в области СЧ и ВЧ можно, закрыв СЧ и ВЧ головки защитными колпаками, форма которых должна быть как можно ближе к сферической [14]. Во-вторых, для снижения фазовых искажений плоскости установки ВЧ, СЧ и НЧ головок в АС в общем случае должны быть различны. Наиболее полную с практической точки зрения информацию по этому вопросу можно найти в [15].

МЕТОД ИЗМЕРЕНИЯ ПАРАМЕТРОВ НИЗКОЧАСТОТНЫХ ДИНАМИЧЕСКИХ ГОЛОВКИ И ИХ АКУСТИЧЕСКОГО ОФОРМЛЕНИЯ

Наиболее удобным для радиолюбителей является метод определения параметров динамиче-

ских головок из частотной характеристики модуля полного электрического сопротивления головки. На рис. 15 приведена типичная зависимость модуля полного сопротивления $|Z|$ от частоты в свободном воздухе. Аналогичная форма зависимости наблюдается при установке динамической головки в закрытом ящике. Определить эти зависимости, можно получить Q_a , Q_e , V_{as}/V и f_s , необходимые для расчета громкоговорителя.

Схема измерений приведена на рис. 16. Сопротивление токадающего резистора R должно быть примерно в 150...200 раз больше сопротивления динамической головки ВА по постоянному току. При этом УМЗЧ превращается в генератор тока через динамическую головку и падение напряжения на ней, измеряемое с помощью вольтметра В, прямо пропорционально сопротивлению головки. Значение частоты отсчитывают по шкале генератора Г или более точно по шкале частотомера Ч.

Вначале необходимо произвести измерение параметров головки в свободном воздухе. Головку требуется поместить, по возможности, далеко от отражающих поверхностей, например, закрепить на жесткой штанге. Жесткость штанги должна быть такой, чтобы ее собственная резонансная частота была значительно выше f_s . Построив кривую, аналогичную изображенной на рис. 15, определяют f'_s , f_1 , f_2 , R_s , R_{es} , R_e , $R_{1,2} = 0,71R_e$. Q_a и Q_e , характеризующие головку в открытом воздухе, определяют из соотношений:

$$Q'_a = \frac{f'_s}{f_2 - f_1} \sqrt{\frac{(R_s/R_e)^2 - 1}{(R_{1,2}/R_e)^2 - 1}} \quad (1)$$

$$Q'_e = Q'_a / (R_s/R_e - 1) \quad (2)$$

(апострофы в обозначении f'_s , Q'_a и Q'_e обозначают, что эти величины не учитывают измерений в присоединенной массе воздуха, возникающих при работе головки в акустическом оформлении).

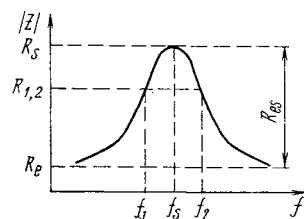


Рис. 15

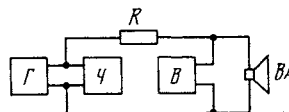


Рис. 16

Далее головку необходимо поместить в закрытый ящик и вновь провести измерения и построить кривую, аналогичную изображенной на рис. 15.

Резонанс будет при этом наблюдаться на частоте f_s'' по ф-лам (1) и (2) могут быть найдены величины Q_a'' и Q_c'' . Точные значения параметров f_s , Q_a , Q_c и V_{as}/V могут быть найдены из соотношений:

$$f_s = f_s' \sqrt{\frac{f_s' Q_c'}{f_s' Q_c}} \quad (3)$$

$$Q_a = Q_a' f_s' / f_s \quad (4)$$

$$Q_c = Q_c' f_s' / f_s \quad (5)$$

$$V_{as}/V = (f_s'/f_s)^2 - 1 \quad (6)$$

Необходимо отметить, что при низкой собственной резонансной частоте головки потери в ящике могут исказить зависимость $|Z|$ от частоты и на ней появится еще один максимум, который легко принять за основной. Поэтому при снятии кривой необходимо быть уверенным в том, что найденный максимум — основной.

Для этого необходимо измерить зависимости $|Z|$ от f в диапазоне от 20 до 100 Гц, и если будет обнаружено несколько резонансных «горбов», выбрать тот, у которого амплитуда максимальна.

Следует отметить, что крутизна зависимости $|Z|$ от f в максимуме очень мала, поэтому точно измерить частоту f_s очень трудно. Для повышения точности измерений можно рекомендовать сделать не менее 5—7 измерений f_s и в качестве базового результата взять среднее арифметическое приведенных измерений. После этого необходимо сравнить полученное значение f_s с $f_s^* = \sqrt{f_1 f_2}$, и если они различаются не более чем на 1...1,5 Гц, то измерения f_s на этом можно считать законченными. Если f_s и f_s^* различаются более чем на 1...1,5 Гц, то измерения необходимо провести снова.

Более детальное описание техники измерений с численными примерами читатели могут найти в [5].

А. ФРУНЗЕ

г. Москва

ЛИТЕРАТУРА

10. Лексин В. и В. Однополосный или многополосный? — Радио, 1981, № 4, с. 35.
11. Чантурия А. Трехполосный усилитель. — Радио, 1981, № 5—6, с. 39.
12. Солнцев Ю. Высококачественный предварительный усилитель. — Радио, 1985, № 4, с. 32.
13. Гумеля Е. Простой высококачественный УМЗЧ. — Радио, 1989, № 1, с. 44.
14. Дольник А. Особенности работы головки громкоговорителя в акустическом оформлении. — ВРЛ, 1977, вып. 56, с. 34.
15. Жбанов В. О фазовых характеристиках громкоговорителей. — Радио, 1989, № 10, с. 58.



РАДИОИНЖИНИРИНГ

КОНВЕРТЕРЫ КВ ДИАПАЗОНА

В нашей стране эксплуатируется большое количество простых и доступных двухдиапазонных (ДВ и СВ) супергетеродинных радиоприемников. Значительно расширить их функциональные возможности позволяет введение в них КВ диапазона. Сделать это можно с помощью конвертера. Однако при его использовании приходится решать проблему подавления помех со стороны радиостанций СВ диапазона. В зависимости от способа ее решения, а также от типа радиоприемника, существует несколько вариантов подключения к нему конвертера.

Рассмотрим простейший вариант, когда подключение конвертера не требует никакой доработки радиоприемника. В этом случае приемник настраивают на самый высокочастотный участок СВ диапазона, где нет мощных радиостанций, а на КВ радиостанции настраиваются с помощью конвертера.

Схема такого варианта конвертера приведена на рис. 1. Он содержит всего два транзистора, один из которых — VT1 работает в смесителе, а другой — VT2 — в гетеродине. Принятый конвертером входной сигнал через конденсатор C1 поступает на входной контур L1C2C3.1 и далее на затвор транзистора VT1. Напряжение гетеродина через конденсатор C5 поступает на исток этого транзистора. Сигнал ПЧ (~1,6 МГц) выделяется контуром L2C4 и через конденсатор C8 подается на антенный вход радиоприемника. Перестройка по всему КВ диапазону обеспечивается конденсатором переменной емкости C3. Причем перекрываются практически все радиовещательные КВ поддиапазоны — от 13 до 49 м.

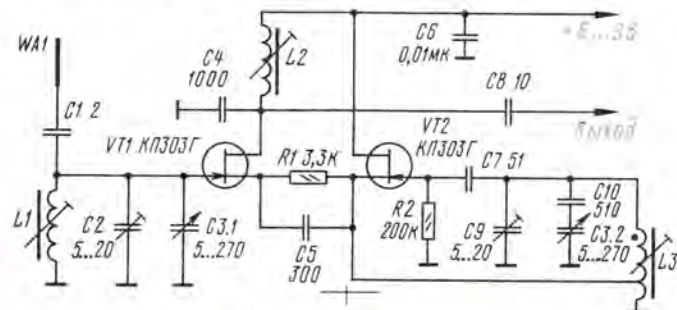


Рис. 1

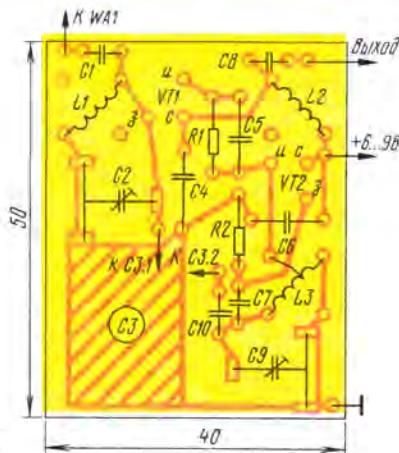


Рис. 2

Как это часто бывает, достоинства иногда оборачиваются недостатками, один из них — большая крутизна перестройки конвертера. Но есть у него и несомненные преимущества — полная автономность и пригодность для использования с любым типом радиоприемника СВ диапазона.

Все детали конвертера размещены на печатной плате, эскиз которой показан на рис. 2. Ее можно разместить в корпусе подходящего размера и соединить с приемником как можно более короткими проводами, лучше одним экранированным, длиной не более 10...20 см. При этом выход конвертера соединяют с антенным входом приемника, а общий провод — с его гнездом «земля». В устройстве можно применить транзисторы КП303В, КП303Г, КП303Д, конденсатор переменной емкости СЗ — любой сдвоенный с максимальной емкостью не менее указанной на схеме, конденсаторы С2, С9 — КПК-МП, остальные — КТ4-25, резисторы — ВС, МЛТ.

В качестве антенны конвертера можно использовать изолированный провод длиной 0,5...1 м. Катушки L1 и L3 намотаны на каркасах от КВ контуров радиоприемников «Соната», «Олимпик» и др. диаметром 6 мм с подстроечниками из феррита 100НН диаметром 2,8 и длиной 12 мм. Катушка L1 содержит 20, а L3 — 18 витков провода ПЭВ-2 0,2 с отводом от 14-го витка. Катушка L2 намотана на каркасе диаметром 4 мм с подстроечником из феррита 600НН диаметром 2,8 и длиной 12 мм и содержит 45 витков того же провода.

Налаживают конвертер в такой последовательности. Сначала (лучше в темное время суток) находят участок СВ диапазона радиоприемника, где нет мощных радиовещательных станций. Обычно этот участок находится на самом краю диапазона (1,5...1,6 МГц) и даже за его пределами. Это объясняется тем, что диапазон СВ сверху ограничен частотой 1605 кГц, а приемник, как правило, имеет небольшой запас по диапазону. На шкале в этом месте надо сделать отметку. Затем к приемнику подключают конвертер, а к нему — антенну длиной несколько метров и пытаются принять какую-либо КВ радиостанцию. Укорачивая в несколько раз антенну и вращая подстроечник катушки L2, добиваются максимальной громкости приема. Далее надо установить границы КВ диапазона. Для этого конденсатор СЗ устанавливают в положение максимальной емкости, на вход конвертера подают от генератора АМ сигнал частотой 5,8 МГц и вращая подстроечник катушки L3, добиваются появления сигнала на выходе

радиоприемника. Если таких положений сердечника будет два, выбирают то, при котором он больше вывернут. Затем подстроечником катушки L1 добиваются наибольшей громкости сигнала. Эту настройку рекомендуется проводить при минимально возможном уровне сигнала генератора. Иногда при сильном изменении положения подстроечника катушки L1 изменяется частота гетеродина, тогда ее уход следует компенсировать подстроечником катушки L3. Отвертку лучше всего использовать из диэлектрического материала.

После этого перестраивают генератор на частоту 21,8 МГц и этот сигнал подают на вход кон-

вертера, а всю настройку повторить. Описанную регулировку границ КВ диапазона рекомендуется провести еще один-два раза.

Об одном из недостатков такого конвертера уже упоминалось, но есть и другой — необходимость шкалы настройки для конденсатора СЗ. Безусловно, гораздо удобнее настраиваться на радиостанции с помощью самого радиоприемника. Это легко реализовать в тех радиоприемниках, у которых в СВ диапазоне отключаются магнитные антенны и возможен прием только на наружную. Конвертер при этом делают не с плавной настройкой, а с фиксированной в нескольких поддиапазонах. Ча-

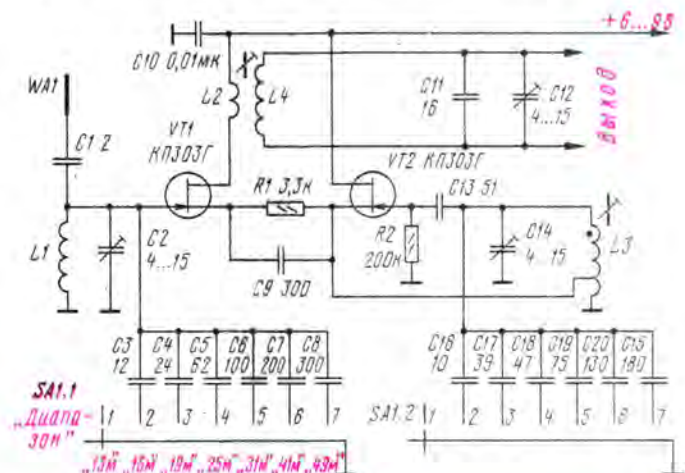


Рис. 3

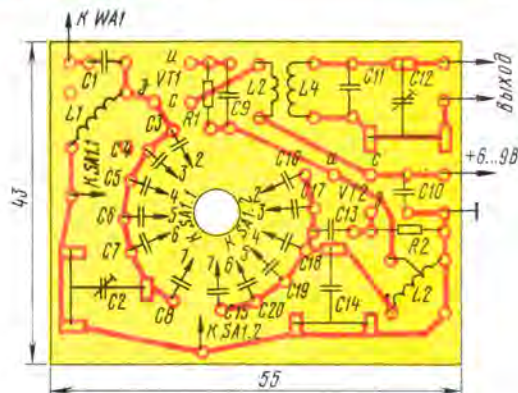


Рис. 4

вертера. Появления его на выходе радиоприемника добиваются конденсатором СЗ, а максимальной громкости — конденсатором С2. Если конденсатор С2 окажется в положении максимальной или минимальной емкости, то следует изменить емкость конденсатора С9, конденсатором СЗ вновь настроиться на сигнал ге-

нератора. Появления его на выходе радиоприемника добиваются конденсатором СЗ, а максимальной громкости — конденсатором С2. Если конденсатор С2 окажется в положении максимальной или минимальной емкости, то следует изменить емкость конденсатора С9, конденсатором СЗ вновь настроиться на сигнал ге-

нератора. Появления его на выходе радиоприемника добиваются конденсатором СЗ, а максимальной громкости — конденсатором С2. Если конденсатор С2 окажется в положении максимальной или минимальной емкости, то следует изменить емкость конденсатора С9, конденсатором СЗ вновь настроиться на сигнал ге-

лать это можно, заменив антенну на экранированную катушку с той же индуктивностью, но это потребует значительной доработки радиоприемника. Есть и другой способ, требующий минимальной доработки радиоприемника и позволяющий достаточно эффективно подавить помехи от СВ радиостанций. В нем использован принцип работы супергетеродинного приемника. Как известно, СВ диапазон лежит в пределах 0,525...1,605 МГц, а диапазон перестройки гетеродина приемника составляет 0,99...2,07 МГц. Диапазон зеркальных частот, которые радиоприемник может принимать так же, как и основной сигнал, составит 1,455...2,535 МГц. Для реализации приема необходимо перестроить на диапазон зеркальных частот контур магнитной антенны, что и сделано для конвертера, схема которого приведена на рис. 3. Он почти аналогичен описанному выше, перекрывает те же радиовещательные поддиапазоны, но имеет семь фиксированных частот настройки как входного, так и гетеродинного контуров.

Катушку L4 вместе с конденсаторами C11 и C12 подключаются параллельно антенной катушке СВ диапазона радиоприемника, что сдвигает его настройку в диапазон зеркальных частот. Учитывая, что на частотах 1,85...1,95 МГц работают радиолобительские станции, диапазон выходного сигнала конвертера выбран в пределах 2,1...2,5 МГц. Это соответствует диапазону перестройки радиоприемника примерно от 1,2 до 1,6 МГц, а поскольку в диапазоне 2,1...2,5 МГц мощных радиовещательных станций нет, то и помехи будут незначительны.

С помощью переключателя SA1.1 входной контур настраивается на центральную частоту требуемого поддиапазона, а переключателем SA1.2 устанавливается частота гетеродина на 2,3 МГц, превышающая центральную частоту поддиапазона, поэтому центральная частота ПЧ и получается равной 2,3 МГц.

Все детали конвертера размещаются на печатной плате из фольгированного текстолита, эскиз которой приведен на рис. 4. Новая деталь конвертера — переключатель (удобнее всего использовать галетный — П2Г, П2Д). Катушки L2 и L4 намотаны на таком же каркасе, что и катушка L2 в предыдущей конструкции. Их обмотки содержат соответственно 20, 120 витков провода ПЭВ-2 0,2.

Доработка приемника будет зависеть от схемы подключения к нему внешней антенны. Если она подключается к антенному контуру через конденсатор в несколь-

ко пФ («Кварц-406», «Кварц-408», «Вега-404», «Селга-405» и т. д.), то взамен него надо установить проволочную перемычку. Если же внешняя антенна подключается к катушке связи антенного контура через резистор («Альпинист-417»), то эту связь необходимо убрать и соединить незаземленный конец антенной катушки СВ с гнездом «Антенна», длина проводника должна быть минимальной.

При налаживании радиоприемник настраивают (по шкале) на частоту 1,4 МГц. На вход конвертера от генератора подают сигнал с частотой 6,075 МГц и переключают его на поддиапазон «49 м». Подстроечником катушки L3 добиваются появления на выходе приемника сигнала, как описано ранее, а подстроечниками катушек L1 и L4 — максимальной его громкости. По мере ее увеличения уровень сигнала генератора надо уменьшать до минимально возможного. Далее переключают конвертер на поддиапазон «13 м» и подав на его вход сигнал частотой 21,6 МГц, конденсатором C14 снова добиваются появления сигнала на выходе радиоприемника, а конденсатором C2 — максимальной его громкости.

Затем переключают конвертер на поддиапазон «49 м», подают на его вход сигнал частотой 6,075 и вновь проводят все перечисленные выше операции для этого поддиапазона. Далее подают на конвертер сигнал частотой на 100 кГц меньше, настраивают на него приемник и конденсатором C12 добиваются максимальной его громкости. И, наконец, увеличивают частоту сигнала генератора до 6,175 кГц, настраивают на него приемник и добиваются максимальной громкости сигнала подстроечником катушки L4.

Все регулировки необходимо повторить 2—3 раза, и после этого можно принимать сигналы радиовещательных станций. Если емкости конденсаторов C3—C8 и C15—C20 подобраны достаточно точно, то удовлетворительное сопряжение на всех поддиапазонах получится автоматически. При этом надо учитывать, что в темное время суток прием на поддиапазонах «13 м», «16 м» и «19 м» значительно ухудшается, вплоть до полного отсутствия.

Конвертеры могут питаться от радиоприемника. Работоспособность их сохраняется при питающем напряжении 5...12 В. Потребляемый каждым из конвертеров ток не превышает 3 мА и от величины питающего напряжения практически не зависит.

г. Курск

И. МЕЧАЕВ

КОНТРОЛЛЕР НГМД ДЛЯ "ОРИОНА-128"

Окончание. Начало см. на с. 13.

Затем последовательно записывают байты 55H и AAH по адресу F708 и проверяют наличие соответствия этих данных на выходе K155TM8. Этой процедурой тестируется прохождение информации по шине данных и регистрам K555IP22 и K155TM8. Затем проверяется наличие питания на панельке БИС KP1818BG93 (выв. 20 — общий, вывод 21 +5 В, вывод 40 +12 В) и только после этого БИС устанавливается в контроллер (при отключенном питании, разумеется). Далее проверяют работу KP1818BG93 и накопителя. Для этого последовательно записывают (адрес, байт, реакция контроллера):

F700 08; включение двигателя и перемещение головок к дорожке с номером 00.

F703 4F

F700 18; включение двигателя и перемещение головок к дорожке с номером 79.

Запись байта 4F по адресу F703 задает номер дорожки — 79. Если дисковод отработал правильно, то налаживание контроллера можно считать законченным.

Если владелец «ОРИОНА-128» столкнулся с проблемой подключения нескольких внешних устройств (помимо контроллера), то в ПРК надо ввести дополнительный дешифратор. Его схема приведена на рис. 5. Те, кто хотел бы ввести в контроллер предкомпенсацию, могут воспользоваться схемой, показанной на рис. 6. При введении этого узла в контроллер необходимо разорвать цепь, идущую от вывода 31 микросхемы KP1818BG93.

М. КОРОТКИН

г. Москва

ЛИТЕРАТУРА

1. Коваленко Б. А., Олейник А. В., Пархоменко Л. П., Солдатенков Л. М. БИС контроллера KP1818BG93 для накопителя на гибком диске. — Микропроцессорные средства и системы, 1986, № 3, с. 3—8.
2. Ахманов С., Рой Н., Скурихин А. Пользователям о «Корвете». — Радио, 1989, № 6, с. 34—37.
3. Сугоняко В., Сафронов В., Коненков К. Персональный радиолобительский компьютер «ОРИОН-128». — Радио, 1990, № 1, с. 37—43.
4. Intel Microprocessor and Peripheral Handbook, 1989, vol. 2, p. 7—87.
5. Микропроцессоры и микропроцессорные комплекты интегральных микросхем. Справочник. Том 1. — М.: Радио и связь, 1988, с. 160.



УДВОЕНИЕ ЧАСТОТЫ ИМПУЛЬСНОГО СИГНАЛА

В процессе разработки устройств на цифровых микросхемах иногда возникает необходимость в удвоении частоты следования импульсов. Один из вариантов подобного удвоителя частоты, простого по схеме, описан ниже.

Длительность выходного импульса одновибратора зависит от параметров элементов времязадающей цепи следующим образом [Л]:

$$T_{\text{вых}} = 0,32C(R + 0,7).$$

В этой формуле сопротивление

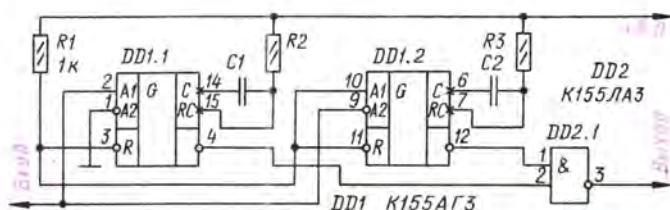


Рис. 1

Узел выполнен на одной микросхеме (см. схему на рис. 1). Одновибратор DD1.1 формирует короткий выходной импульс высокого уровня по плюсовому перепаду каждого входного импульса, а второй одновибратор — DD1.2 — по минусовому перепаду каждого входного импульса. На выходе логического элемента DD2.1 образуется последовательность импульсов, представляющая собой сумму выходных сигналов обоих одновибраторов (рис. 2). Таким образом, каждый входной импульс узел преобразует в два импуль-

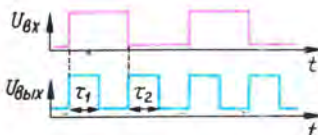


Рис. 2

са, длительность которых определяют параметры элементов времязадающих цепей R2C1 и R3C2 одновибраторов.

Следует учесть, что если рассчитанная емкость менее 500 пФ, то фактическое значение емкости конденсатора времязадающей цепи должно быть на 50 пФ меньше (50 пФ — монтажная емкость вывода цепи по отношению к корпусу микросхемы).

В частном случае, при необходимости получить симметричный выходной сигнал из симметричного входного (скважность импульсов $Q=2$; рис. 2), получим следующие расчетные формулы:

$$T_{\text{вых}} = 0,5 T_{\text{вх}}$$

$$T_{\text{вх}} = \frac{1}{2F_{\text{вх}}};$$

$$T_{\text{вых}} = \frac{1}{4F_{\text{вх}}};$$

$$C = \frac{1}{1,28F_{\text{вх}}(R + 0,7)};$$

где $F_{\text{вх}}$ — входная частота импульсов.

Узел устойчиво работает при

На входе		На выходе		C, пФ, при	
$F_{\text{вх}}, \text{кГц}$	$T_{\text{вх}}, \text{нс}$	$F_{\text{вых}}, \text{кГц}$	$T_{\text{вых}}, \text{нс}$	$R=5,1 \text{ кОм}$	$R=10 \text{ кОм}$
10	50000	20	25000	13000	7500
50	10000	100	5000	2700	1500
100	5000	200	2500	1300	750
200	2500	400	1250	680	330
500	1000	1000	500	220	100
1000	500	2000	250	82	22
2000	250	4000	125	18	—

ние R резистора можно изменять от 5,1 кОм до 51 кОм. Если значение емкости выражать в мкФ, то длительность импульса получится в мс.

Задав произвольно значение R, получим

$$C = \frac{T_{\text{вых}}}{0,32(R + 0,7)}.$$

частоте $F_{\text{вх}}$ до 2 МГц. Номиналы деталей времязадающей цепи при работе на некоторых значениях частоты этого интервала указаны в таблице.

А. ШИФРИН

г. Гатчина
Ленинградской обл.

ЛИТЕРАТУРА

С. Алексеев. Применение микросхем серии К155. — Радио, 1987, № 9, с. 38—40.

БЕСКОНТАКТНЫЙ ПЕРЕКЛЮЧАТЕЛЬ

Переключатель формирует управляющие сигналы для исполнительных механизмов при приближении металлического предмета к датчику — чувствительной катушке. Устройство может быть использовано в автоматике, робототехнике, охранной сигнализации. По своим параметрам этот переключатель аналогичен промышленным БТП-101, ВПБ-18 и др., но значительно проще и экономичнее. Кроме того, он с успехом заменяет специализированную микросхему CS209 (датчик расстояния до объекта), которой часто комплектуют различные импортные оборудование.

Принцип работы переключателя основан на воздействии металлического предмета на катушку, входящую в LC-контур генератора. Она помещена в половину броневого ферритового магнитопровода, на открытом торце которого магнитные силовые линии замыкаются через воздух. Режим генератора выбран так, что приближение к торцу металлического предмета вызывает срыв генерации.

Элемент DD1.1, катушка L1 и конденсаторы C1, C2 (см. схему) образуют высокочастотный генератор. На диоде VD1, резисторе R2 и конденсаторе C3 выполнен выпрямитель, а на элементах DD1.2 и DD1.3 — пороговые элементы, причем первый из них инвертирующий.

В исходном состоянии генератор вырабатывает высокочастотные колебания. При этом на конденсаторе C3 и, значит, на нижнем по схеме входе элемента DD1.2 и на верхнем элементе DD1.3 действует положительное напряжение большее чем пороговое $U_{пг}$, равное $0,5 U_{пит}$. Следовательно, на Выходе 1 устройства присутствует низкий уровень, а на Выходе 2 — высокий. При срыве генерации напряжение на конденсаторе C3 уменьшается до уровня ниже порогового, в результате чего логический уровень напряжения на

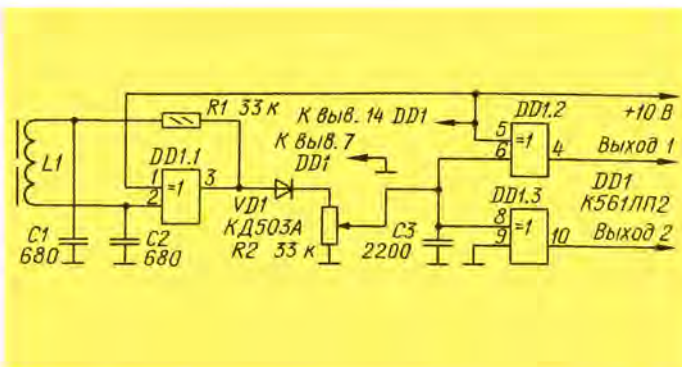
выходах меняется на противоположный, т. е. происходит переключение устройства.

Нагрузку, как и обычно, включают в выходную цепь транзисторного усилителя тока (он на схеме не показан), который выбирают исходя из требуемых тока и напряжения. Не исклю-

высокочастотный или импульсный.

Резистор R2 предназначен для установки чувствительности переключателя. Можно регулировать ее и резистором, включенным параллельно катушке L1. Порог чувствительности переключателя с указанным магнитопроводом соответствует 1...6 мм для парамагнетиков (сталь) и вдвое меньше для диамагнетиков. От размеров предмета, если он крупнее катушки, чувствительность почти не зависит.

Описанное устройство пригодно для подсчета числа дета-



чена и оптронная связь с нагрузкой. Конечно, наличие двух противофазных выходов не всегда обязательно, и можно включить три элемента микросхемы параллельно для увеличения выходного тока. С другой стороны, для построения переключателя достаточно двух логических элементов, поэтому на одной микросхеме может быть выполнено два переключателя.

В устройстве вместо K561ЛП2 может быть использована микросхема K564ЛП2 или другие логические микросхемы с соответствующей коррекцией схем и номиналов. Катушка L1 — бескаркасная, содержит 100 витков провода ПЭЛШО 0,1. Ее помещают в ферритовую чашку магнитопровода Б14. Следует отметить, что число витков, провод, типоразмер магнитопровода, емкость конденсаторов не критичны и могут быть изменены в большую или меньшую сторону. Вместо диода КД503А подойдет любой кремниевый

лей (или монет), а также определения материала, из которого они изготовлены. Так, например, оно легко различает материал монет («медь» или «серебро»). Для повышения надежности его срабатывания след за выпрямителем следует ввести триггер Шмитта, собранный на свободном элементе микросхемы.

Кроме этого, переключатель удобно применить в электронном тахометре и системе электронного зажигания в автомобиле взамен пока еще дорогой и дефицитной магнитоуправляемой микросхемы серии K1116. В этих случаях для катушки L1 необходимо использовать магнитопровод П-образной формы.

А. ЛЕОНТЬЕВ,
С. ЛУКАШ

г. Киев

РАДИОЛЮБИТЕЛЮ-
КОНСТРУКТОРУ

АКТИВНАЯ АКУСТИЧЕСКАЯ СИСТЕМА "ЯУЗА"

Активная акустическая система (ААС) «Яуза» предназначена для прослушивания речевых и музыкальных программ. Она может работать с бытовой радиоэлектронной аппаратурой, имеющей линейный выход (тюнеры, магнитофонные приставки, ЭПУ, предварительные усилители ЗЧ и др.).

В ААС предусмотрены регулировка громкости и тембра

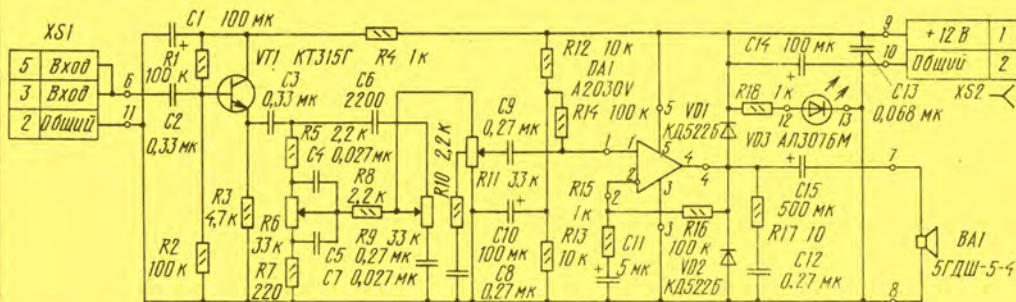
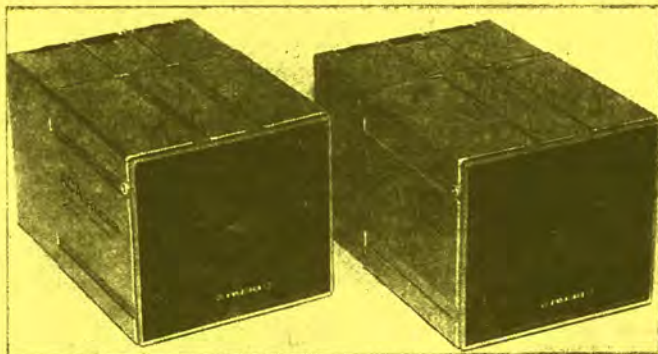


Рис. 1

по высшим и низшим звуковым частотам. Питается она от автономного сетевого блока питания с выходным напряжением 12 В.

Принципиальная схема ААС приведена на рис. 1, а сетевого блока питания — на рис. 2.

Основные технические характеристики ААС

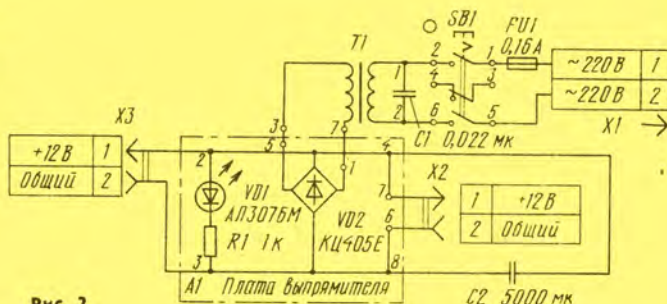
Диапазон воспроизводимых частот, Гц, не уже

180...
12 500

Среднее звуковое давление каждого канала на расстоянии 0,25 м при подаче на вход усилителя синусоидального напряжения 500 мВ, Па, не менее

0,25

Рис. 2



Диапазон регулировки тембра по низшим и высшим звуковым частотам (на выходе усилителя мощности), дБ, не менее
Максимальная шумовая мощность, Вт

±8
5

Габариты, мм 148×
×150×
×230

г. Москва

С. ГОРЕЛОВ



ЦИФРОВОЙ МУЗЫКАЛЬНЫЙ СИНТЕЗАТОР

БЛОК СИНТЕЗА ЗВУКА

Принципиальная схема предлагаемого блока синтеза звука четырехголосного инструмента приведена на рис. 6, а его структурная схема с обозначением номеров микросхем, входящих в отдельные узлы блока, — на рис. 7. У каждого из четырех голосов свой звуковой канал с ЦАП и ФНЧ на выходе. Регистры на входах ЦАП хранят текущие значения кода сигнала. Таблицы форм для всех голосов хранятся в ЗУ формы емкостью в один Кбайт. Каждая таблица длиной в 128 байт соответствует одному периоду сигнала, отсчеты которого закодированы через равные промежутки времени как числа без знака (рис. 8).

Для каждого голоса предусмотрены две таблицы, содержащие форму сигнала. Активной может быть только одна из них, из которой и идет считывание информации, в то время как в другую таблицу ведется запись. Разделение операций чтения и записи необходимо для мгновенного переключения с одной формы на другую сигналом «Выбор» (рис. 9). Устройство синхронизации (УС) «следит» за тем, чтобы переключение форм происходило только при нулевой фазе сигнала, что необходимо для предотвращения щелчков. Кроме того, такая система вывода сигнала требует, чтобы все формы начинались с нуля — значение первого байта должно быть 80H.

При записи сведений в ЗУ формы мультиплексор пропускает адрес с адресной шины (ША) процессора, открывая буферный каскад для прохождения сведений с шины данных (ШД) процессора на вход ЗУ. Таким образом, доступ к ЗУ форм происходит так же, как к оперативной памяти. Аналогично происходит запись и в ЗУ частот — отдельно в старшую и младшую части, но без буферирования, поскольку примененные микросхемы имеют раздельные вход и выход данных.

Временная диаграмма работы

устройства, показанная на рис. 10, иллюстрирует четыре цикла обчета голосов и окно доступа, в течение которого может происходить запись в ЗУ. Если процессор запрашивает запись в адресное пространство ЗУ формы или частоты, то сигнал ГТВ обнуляется и процессор ожидает прихода следующего окна доступа. В это время информация на системной шине не меняется. Такой способ записи несколько тормозит выполнение программы процессором, зато не нарушает работу генератора, что, конечно, важнее. Эту проблему можно решить и применением регистров-зашелок на шинах адреса и данных.

Полный цикл работы устройства состоит из десяти периодов тактовых импульсов (ТИ), поэтому при тактовой частоте процессора 2 МГц частота дискретизации выходного сигнала достигает 200 кГц, что более чем достаточно.

Генератор фазы, собранный на сумматорах DD10—DD14, регистрах DD15—DD19, ЗУ частот DD6—DD9, ЗУ фаз DD20—DD24, тактируется счетчиком DD1, что обеспе-

чивает синхронизацию работы устройства. Запрос записи в ЗУ формируется дешифратором на элементах DD2.5, DD3.2, DD2.6, и, в зависимости от старшей части адреса, запись в ЗУ частот или форм может происходить в соответствии с табл. 1.

Память форм на микросхемах DD28 и DD29 адресуется мультиплексорами DD2.5—DD2.7. Для записи-чтения из этого ЗУ служат буферные микросхемы DD30, DD31. С помощью дешифратора DD36 осуществляется запись в регистры-зашелки DD42—DD49 в каждом из четырех каналов вывода с ЦАП DA1—DA4 и фильтрами второго порядка на операционных усилителях DA5—DA8 на выходе.

Д-триггеры микросхем DD38—DD41 формируют прямые и инверсные сигналы для переключения активных-пассивных страниц для каждого канала в отдельности, а мультиплексор DD37 объединяет эти сигналы в адресный сигнал для ЗУ формы. Переключение таблиц разрешено только в момент, когда фаза текущего канала равна максимальному значению, т. е. 7FH. При этом выход мультиплексора DD33 обнуляется и разрешается работа дешифратора DD35.

Регистр-порт DD32 с адресом в пространстве ввода-вывода ОЕОН служит для управления переключением таблиц. Переключение таблиц каждого канала можно запретить, если в соответствующий разряд регистра-порта записать лог. 0, что необходимо при записи данных в ЗУ формы. При записи лог. 1 будет в соответствии с табл. 2 разрешена смена таблицы, но только один раз — это обеспечивают триггеры микросхем DD38—DD41.

Через разъем X1 блок синтеза звука подключают к стандартной системной шине процессора K580BM80. На контакт «Ф2ТТЛ» разъема подают тактовые импульсы от системного генератора частотой 1...2,5 МГц. Для работы в более удобном поле адресов схема дешифрации может быть иной. Можно также подключить синтезатор к параллельному порту, который есть у каждого компьютера. В этом случае блок синтеза допустимо упростить, удалив элементы дешифрации DD2.5, DD3.2, DD2.6, триггеры DD5.1, DD5.2, формирующие сигнал готовности «ГТВ», и запись в ЗУ управлять непосред-

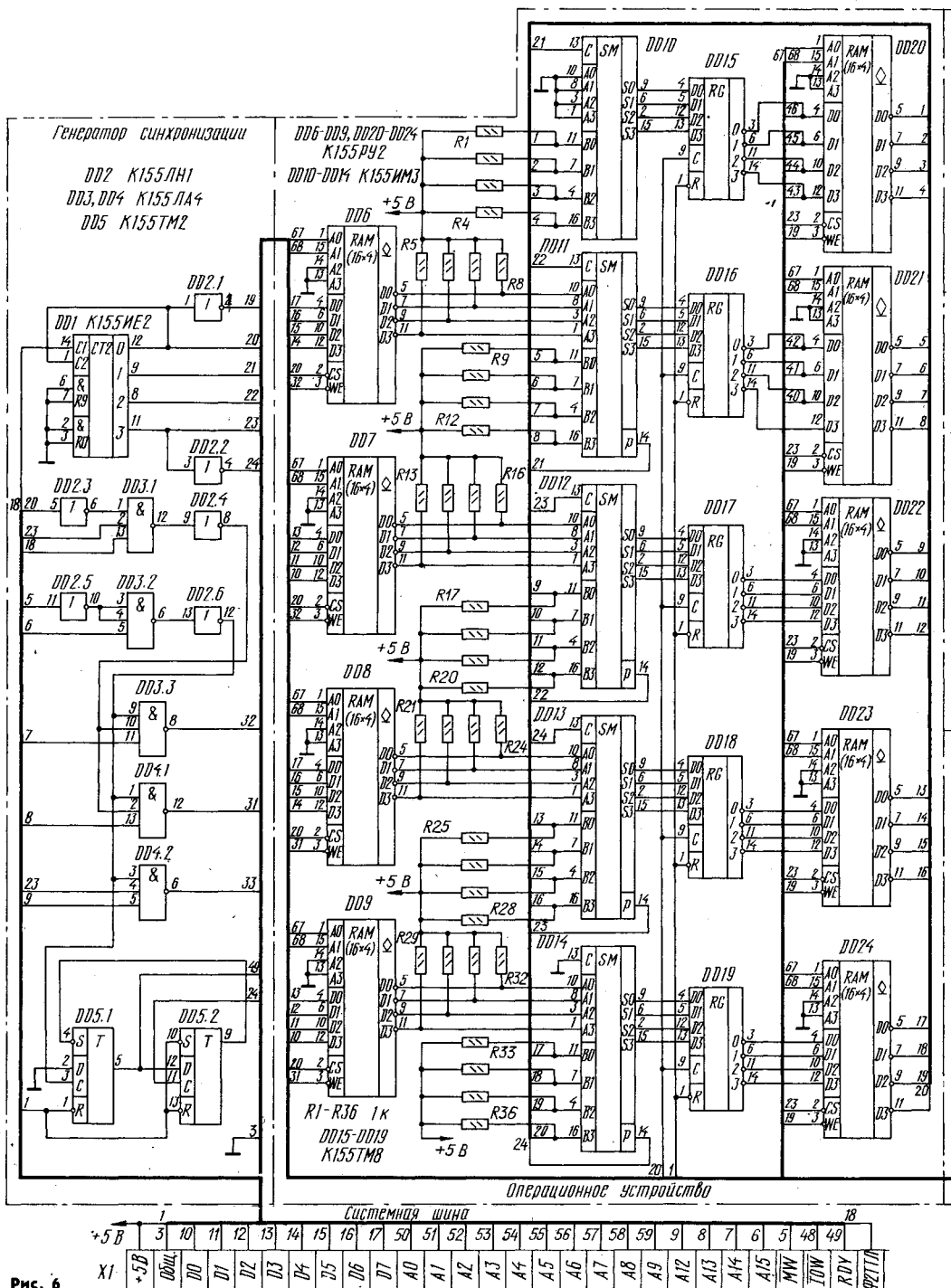
Таблица 1

Номер канала	Адрес доступа в ЗУ		
	Код частоты, мл	Код частоты, ст.	Таблица форм
0	0A000H	0C000H	9000H
1	0A100H	0C100H	9100H
2	0A200H	0C200H	9200H
3	0A300H	0C300H	9300H

Таблица 2

Номер канала	Адрес порта	Разряды порта DD32			
		Выв. 13	Выв. 12	Выв. 11	Выв. 10
0	0EH	0	1	1	1
1	0DH	1	0	1	1
2	0BH	1	1	0	1
3	07H	1	1	1	0
Нет доступа	0FH	1	1	1	1

Окончание. Начало см. в «Радио», 1992, № 11, с. 24—26.



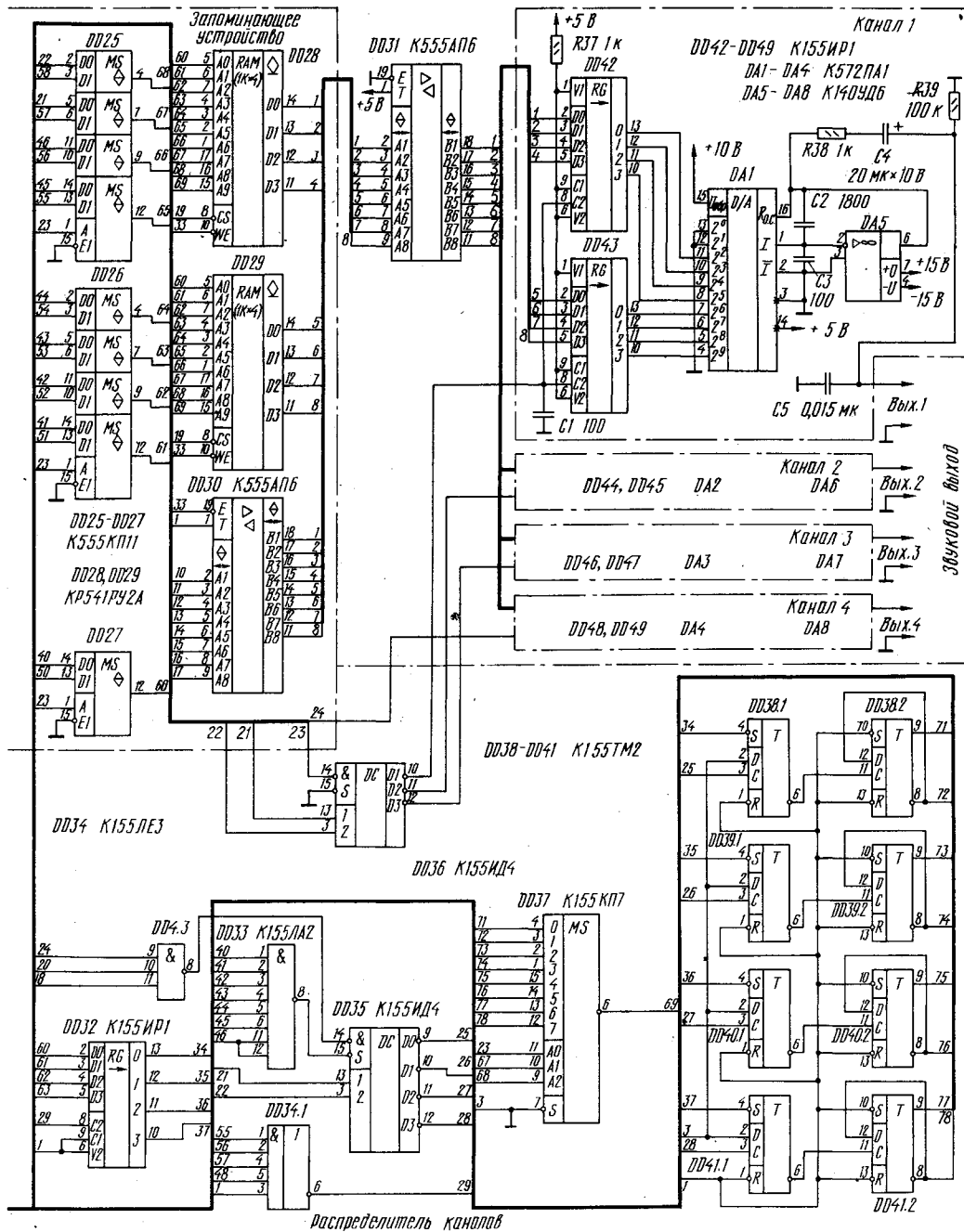
ственно от линий порта.

При монтаже аналоговой части синтезатора (ЦАП, ФНЧ) надо следовать требованиям по предотвращению помех от его цифровой части. В частности, необходимо строго различать провода «Общий»

для аналоговых и цифровых микросхем и соединять их только на выходных зажимах блока питания. Все источники питания аналоговых микросхем должны быть стабилизированы и отфильтрованы. Эти меры уменьшают шум в паузах.

ПРОГРАММНОЕ ОБЕСПЕЧЕНИЕ ИНСТРУМЕНТА

Для программной поддержки блока синтеза инструмента целесообразно использовать систему



управления в виде подпрограмм, на которых строят алгоритмы более высокого уровня, например, формирователи огибающих и исполнительских функций — сустейна, вибрато и других. Самая простая процедура — это установка частоты канала (табл. 3). Перед вызовом подпрограммы код частоты помещают в регистр ВС, а номер

канала — в аккумулятор. Код частоты F можно вычислить по формуле

$$F = \frac{f \cdot 10 \cdot 2^{20}}{f_t}$$

где f — требуемая частота звука, f_t — тактовая частота блока синтеза. Например, для частоты 440 Гц (нота Ля первой октавы) при так-

товой частоте 2 МГц код будет 2307=903H. Ошибка установки строя в данном случае составит 0,025 Гц, т. е. 0,1 цента. Порядок выделения старшей и младшей частей кода частоты не имеет значения, но пауза между ними должна быть минимальной.

Каждый раз вычислять значение кода частоты не обязательно, мож-

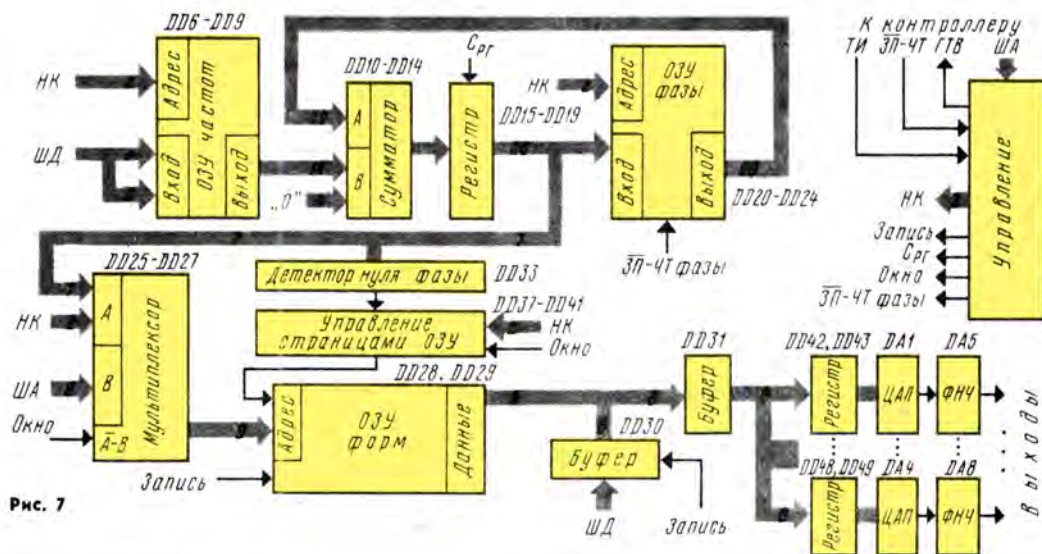


Рис. 7

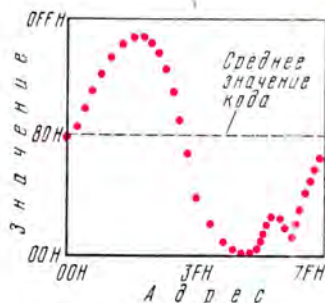


Рис. 8

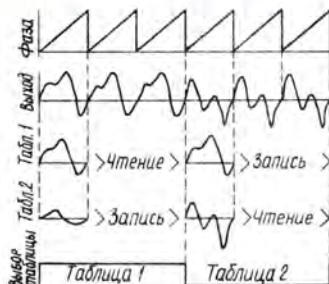


Рис. 9

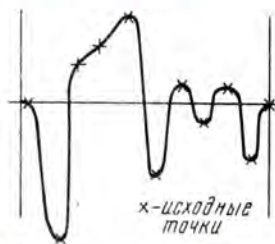


Рис. 11

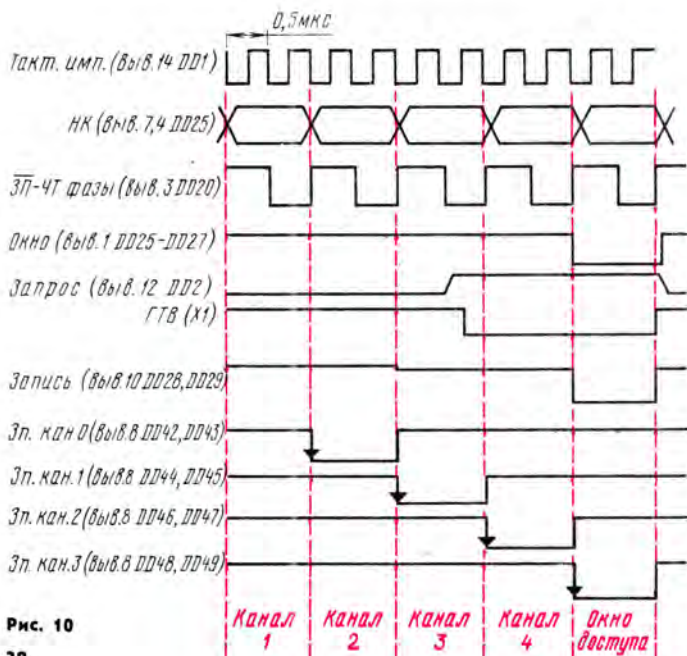


Рис. 10

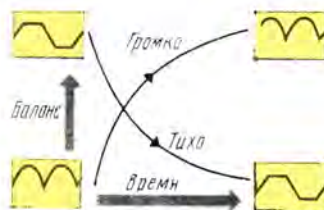


Рис. 12

но использовать заранее составленную таблицу кодов частот звукояда и выборку значений вести оттуда — это повысит быстродействие алгоритма.

Для изменения тембра или громкости звука используют подпрограмму вывода формы (табл. 4), в результате выполнения которой последовательность из 128 чисел записывается в таблицу формы.

Чтобы не было щелчков и шумов при переключении форм, все используемые формы сигнала должны удовлетворять следующим требованиям: среднее значение кода формы должно равняться 80H; форма должна начинаться и кончаться кодом 80H; наклоны кривых в начале и конце двух смежных форм не должны значительно различаться. Если этих мер окажется

недостаточно, тогда потребуется экспериментальный подбор форм.

Для предотвращения искажений следят, чтобы частота гармоники с максимальным номером N_{\max} и содержащейся в сигнале, была не более $f_d/2$, где f_d — частота дискретизации выходного сигнала.

$$N_{\max} = (f_d/2f) = (f_t/20f).$$

Например, при $f = 2000$ Гц и $f_t = 2$ МГц $N_{\max} = 50$, следовательно, форму можно составить суммированием не более чем 50 гармоник с различными амплитудами и фазами.

Задача программного обеспечения более высокого уровня заключается в формировании гибких частоты и формы, т. е. спектрально-временной характеристики звука [5]. Учитывая сравнительно низкую производительность наиболее распространенных микропроцессоров, синтезировать форму сигнала в процессе игры не представляется возможным. Однако форму сигнала можно создать заранее и записать ее в ОЗУ процессора. Например, ОЗУ объемом 16 Кбайт вмещает 128 периодов сигнала длиной 128 точек каждый. Во время же звукоизвлечения достаточно нужную форму, как последовательность данных, несложно переслать в блок синтеза.

Так можно предварительно создать ряд форм сигнала соответствующих атаке, поддержке, затуханию звука. При нажатии на клавишу процессор будет их последовательно и в нужном порядке загружать в блок синтеза. Время создания форм и запоминания их в ОЗУ определяет время подготовки инструмента к игре и может составить несколько секунд — это не обременительно для исполнителя, поэтому стоит использовать гибкие алгоритмы синтеза с большим числом параметров.

В зависимости от выбранного алгоритма его параметры могут по-разному влиять как на создаваемые формы, т. е. на спектральные характеристики звука, так и на время перехода с одной формы на другую, т. е. на временные характеристики звука. Еще одна группа параметров определяет включение-выключение исполнительских эффектов.

Синтез формы можно вести путем сложения гармоник с разными весовыми коэффициентами либо методом интерполяции между точками волновой формы, который иллюстрирует рис. 11 [6]. Интерполяция возможна и между точками различных волновых форм для плавного «перетекания» звука с одного тембра на другой (рис. 12). Такие алгоритмы позволяют получить разнообразие динамичных звуков, используя лишь небольшое число исходных параметров.

Можно пойти и путем записи естественного звука с микрофона, магнитофона или CD-плеера, оцифровать его с помощью АЦП и записать в память. Но в этом случае

Таблица 3

: A = номер канала	
: BC = код частоты	
ВЫВЧАСТ: PUSH H	: сохранить регистры
PUSH D	
LXI H, 0A000H	: HL = адрес загрузки
ADD H	: младшего байта
MOV A, C	: инвертировать
CMA	: младший байт
MOV M, A	: и вывести
LXI D, 2000H	: HL = адрес загрузки
DAD D	: старшего байта
MOV A, B	: инвертировать
CMA	: старший байт
MOV M, A	: и вывести
POP D	: восстановить
POP H	: регистры
RET	: конец

Таблица 4

: A = номер канала	
: BC = начальный адрес	
: массива длиной 128 байт	
ЗАГРЗЧК: PUSH PSW	: запомнить НК
MOV L, A	
ADD L	
ADD L	
MOV L, A	
MVI H, 0	
LXI D, КАНАЛ00	: HL указывает
DAD D	: на подпрограмму
LXI D, ВОЗВРАТ	: обслуживания
PUSH D	: нужного канала НК
ВОЗВРАТ: PCHL	: перейти по HL
POP PSW	: восстановить НК
ADI 90H	
MOV H, A	: HL = адрес ЗУ формы
MVI L, 80H	: канала НК
ЦИКЛО00: DCR L	: L — счетчик цикла
LDAX B	: извлечь из памяти
MOV M, A	: записать в ЗУ формы
INX B	: инкремент указателя
JNZ ЦИКЛО00	: выполнить 128 раз
OUT OFH	: разразить переключения таблиц
RET	: конец
: КАНАЛ00: OUT 0EH	: запретить переключения таблиц
RET	: в 0-м канале на время записи
: КАНАЛ01: OUT 0DH	: то же в 1-м канале
RET	: возврат
: КАНАЛ02: OUT 0BH	: то же в 2-ом канале
RET	: возврат
: КАНАЛ03: OUT 07H	: то же в 3-м канале
RET	: возврат

нельзя забывать о вышеуказанных требованиях к форме сигнала, и в первую очередь — к его периоду. При выполнении этих требований блок синтеза звука может работать как сэмплер — инструмент, воспроизводящий заранее записанные в память звуки. Программа-редактор таких оцифрованных звуков может модифицировать их по желанию пользователя: фильтровать, изменять длину, накладывать другие звуки, нормировать, изменять частоту и т. д. Поскольку все операции производят над числами, то качество звука при этом не страдает, как при аналоговой обработке.

Надо сказать, что качество звука и удобство пользования инструментом в большой степени зависят от программного обеспечения, поэтому оправдана тенденция переложения на него многих функций и упрощения аппаратной части инструмента. Для данного конкретного синтезатора несложно программно реализовать частотное,

амплитудное, тембровое вибрато, глиссандо, портаменто, оглабляющую по частоте и другие эффекты.

Описанный здесь блок синтеза инструмента благодаря относительной простоте и функциональности позволяет использовать различные алгоритмы и методы синтеза звука и может стать хорошей основой для создания различных цифровых музыкальных инструментов.

А. СТУДНЕВ

г. Жуковский
Московской обл.

ЛИТЕРАТУРА

- Вильчинский В., Устройства преобразования аналоговых сигналов. — Радио, 1991, № 12, с. 47—50.
- Кузнецов Л. А. Акустика музыкальных инструментов. — М.: Легпромбытиздат, 1989.
- Mitsubishi Y. Piecewise Interpolation Technique for Audio Signal Synthesis. — Journal of the Audio Engineering society,



БИПОЛЯРНЫЙ ТРАНЗИСТОР: КАК ЕГО ПРОВЕРИТЬ

В трех предыдущих выпусках Школы рассказывалось о транзисторах малой, средней и большой мощности. И у вас, конечно, возник вопрос: как убедиться не только в исправности того или иного транзистора, но и измерить один из основных его параметров — статический коэффициент передачи тока? Ответу на него и посвящена сегодняшняя встреча.

Не секрет, что прежде чем впаивать транзисторы в конструкцию, каждый из них следует проверить, иначе конструкция может оказаться неработоспособной из-за неисправности хотя бы одного транзистора и придется слишком долго доискиваться до причины неудачи.

Самый простой способ проверки — воспользоваться авометром, работающим как омметр, или непосредственно с помощью омметра, собранного вами по нашим прежним рекомендациям. Ведь транзистор условно можно представить как два полупроводниковых диода, соединенных в общей точке, соответствующей выводу базы (рис. 1). Тогда допустимо считать, что один диод «расположен» между выводами базы и коллектора (коллекторный переход), другой — между выводами базы и эмиттера (эмиттерный переход). Поэтому достаточно проверить оба диода, и если они исправны, значит, транзистор работоспособен.

Чтобы проверить транзистор структуры $p-p-p$, нужно подключить щупы омметра сначала к выводам базы и эмиттера, а затем к выводам базы и коллектора в указанной на рис. 1,а и 1,б полярности. Плюсовым щупом большинства авометров (в частности Ц20) в режиме омметра является тот, что соединен с «общим» гнездом. Если переходы транзистора целы, стрелка индикатора покажет небольшое сопротивление. Причем оно будет зависеть от приложенного к переходу напряжения, иначе говоря, от протекающего через него тока. Поэтому результат измерений, скажем, при установке щупа авометра в гнездо « $\times 1$ » не будет соответствовать результату, полученному при установке щупа в гнездо « $\times 10$ », а тем более « $\times 100$ ». Кроме того, сопротивление переходов кремниевого транзистора выше, чем германиевого.

Затем повторяют те же измерения, поменяв полярность подключения омметра на обратную, и

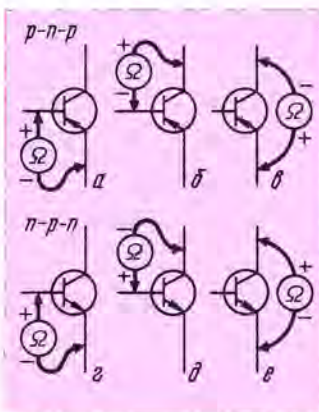


Рис. 1



Рис. 2

вновь определяют сопротивления переходов. На этот раз они должны быть довольно большими, порою на несколько порядков выше, чем в первый раз, особенно для кремниевых транзисторов. Если это так, транзистор можно считать исправным.

Для проверки транзисторов структуры $p-p-p$ полярность подключения щупов омметра при первоначальных измерениях должна соответствовать рис. 1,г,д. Чтобы не повредить переходы, измерения в обоих случаях должны быть кратковременными.

Подобным способом проверяют маломощные низко- и среднечастотные биполярные транзисторы. Высокочастотные же транзисторы нежелательно подвергать такому испытанию, чтобы не повредить эмиттерный переход.

А как быть, если у имеющегося в вашем распоряжении транзистора стерлась маркировка на корпусе и вы не знаете, какой он структуры и какую имеет цолевку? Определить это нетрудно. Измерьте омметром сопротивления между разными парами выводов и определите, какие две па-

ры обладают малым сопротивлением. Выводом базы в этом случае будет тот, которого щуп омметра касается дважды. По полярности же щупа легко определить структуру транзистора — см. рис. 1,а, б, г, д.

После того, как вы определили вывод базы, ясно, что оставшиеся выводы — эмиттер и коллектор. Но какой именно принадлежит коллектору, а какой эмиттеру? Ответить на этот вопрос можно, измерив сопротивления между ними при разных полярностях подключения щупов омметра. Замечают положение щупов, при котором получается наименьшее сопротивление. Если транзистор структуры $p-p-p$ выводом эмиттера будет тот, которого касается плюсовой щуп омметра (рис. 1, в). У транзистора структуры $p-n-p$ вывод эмиттера будет касаться минусового щупа (рис. 1, е).

Описанных способов проверки транзистора еще недостаточно, чтобы сделать заключение о его пригодности для данной конструкции — ведь в описаниях, как правило, упоминается статический коэффициент передачи, которым должен обладать транзистор. Значит, нужно измерить и этот параметр.

Взгляните на рис. 2. Транзистор VT1 подключен через миллиамперметр PA1 и резистор R_b к источнику питания GB1. Через транзистор протекает базовый ток I_b и коллекторный ток I_c . Чем большим статическим коэффициентом передачи обладает транзистор, тем больше будет коллекторный ток по сравнению с базовым. Иначе говоря, разделив значение коллекторного тока на базовый, вы получите весьма приближенное значение статического коэффициента передачи — $h_{21э}$. Коллекторный ток измеряют непосредственно миллиамперметром, а базовый равен отношению напряжения источника питания к сопротивлению базового резистора.

Вот вкратце принцип определения статического коэффициента передачи тока. А теперь познакомимся с приставками и приборами, применяемыми на практике для измерения этого параметра.

На рис. 3,а дана схема приставки к широко распространенному авометру Ц20. Она позволяет измерять коэффициент передачи тока маломощных транзисторов (в том числе и высокочастотных). Пока-

занное включение источника питания и щупов авометра рассчитано на проверку транзисторов структуры p-n-p. Выводы транзистора подключают к зажимам ХТ1—ХТ3, а щупы авометра, переключенного в режим измерения постоянного тока на пределе 3 мА, вставляют в гнезда Х1 и Х2. Вместо авометра к этим гнездам можете подключить самодельный миллиамперметр, работающий на пределе 5 мА.

Если теперь нажать на кнопку выключателя SB1 и подать на приставку напряжение, в цепи базы транзистора потечет ток около 30 мкА. Он усилится транзистором, и стрелочный индикатор авометра (или миллиамперметр) зафиксирует ток коллектора. Остается разделить его на ток базы, и вы получите значение измеряемого параметра. Но на самом деле никаких вычислений делать не потребуется, поскольку вся шкала индикатора авометра рассчитана на статический коэффициент, равный 100 ($3 \text{ мА} : 0,03 \text{ мА} = 100$). И стрелка индикатора указывает непосредственно значение коэффициента передачи (если, конечно, на шкале 100 делений).

Если вы будете использовать миллиамперметр на 5 мА, то для получения тех же результатов целесообразно уменьшить сопротивление базового резистора до 91 кОм, чтобы ток базы составил 0,05 мА, а значит, шкала миллиамперметра была рассчитана на коэффициент передачи 100.

В конструкции приставки кнопочный выключатель и зажимы с гнездами могут быть любые, резисторы — МЛТ-0,25 или МЛТ-0,125 (резистор R2 нужен для ограничения тока через индикатор при неисправном транзисторе), источник питания — батарея 3336.

С помощью такой приставки, конечно, можно проверять и n-p-n транзисторы, но для этого придется изменить полярность подключения питающей батареи, а также поменять местами щупы авометра.

Совсем необязательно питать приставку напряжением 4,5 В; вместо батареи 3336 подойдет гальванический элемент 373 напряжением 1,5 В. Но в этом случае резистор R1 должен быть сопротивлением 51 кОм. При любом другом напряжении питания сопротивление этого резистора должно быть таким, чтобы через него протекал ток 0,03 мА (либо 0,05 мА для работы с миллиамперметром на 5 мА).

Если вы будете часто пользоваться приставкой для проверки транзисторов обеих структур, советуем ввести переключатель SA1 (рис. 3б), позволяющий изменять полярность питающего напряжения без перелайки выводов батареи. Такая приставка более универсальна.

Внешнее оформление приставки показано на рис. 3в. На верхней панели приставки укрепляют за-

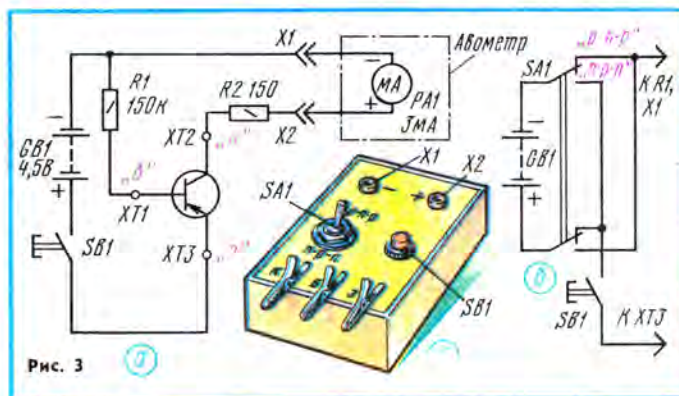


Рис. 3

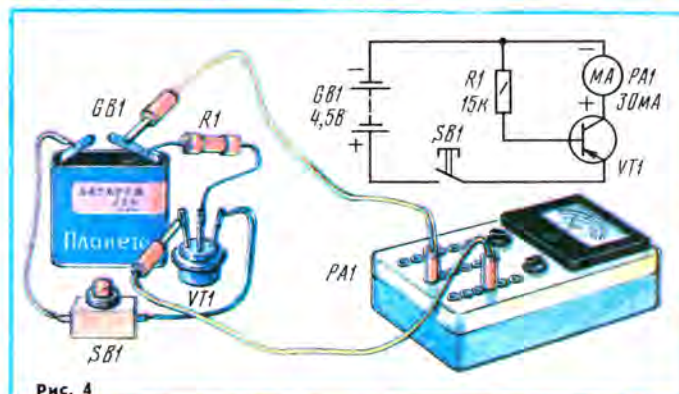


Рис. 4

мы «крокодил» (ХТ1—ХТ3), рядом с ними проставляют соответствующие буквы, помогающие быстро, не задумываясь, подключить выводы базы, эмиттера и коллектора проверяемого транзистора. На этой же панели располагают переключатель, кнопочный выключатель (подойдет звонковая кнопка) и гнезда (можно использовать двухгнездную розетку).

Что касается мощных транзисторов, их проверяют аналогично, но схема приставки немного отличается (рис. 4). Во-первых, в ней нет ограничительного резистора R2, поскольку при значительных токах коллектора на нем будет падать часть напряжения и показания индикатора станут неверными. Во-вторых, значительно уменьшено сопротивление резистора R1, потому что теперь через базу транзистора нужно пропускать больший ток, чем в предыдущем случае. Шкала авометра осталась прежней — она рассчитана на максимальный коэффициент передачи 100, но авометр переключают на предел измерения постоянного тока до 30 мА.

При проверке транзисторов с малым коэффициентом передачи стрелка индикатора будет отклоняться незначительно и прочесть на шкале точный результат будет трудно. Чтобы увеличить угол отклонения стрелки, нужно изменить предел измерения коэффициента передачи, например увеличением

базового тока транзистора. Установив резистор R1 в предыдущей приставке сопротивлением 47 кОм, вы добьетесь того, что вся шкала индикатора будет соответствовать коэффициенту передачи, примерно 30. Точность отсчета возрастает.

Более универсальной можно считать приставку, схема которой приведена на рис. 5. Она позволяет измерить три параметра: статический коэффициент передачи ($h_{21Э}$), обратный ток коллектора ($I_{КБО}$) и обратный ток коллектор-эмиттер при короткозамкнутых выводах эмиттера и базы ($I_{КЭК}$). Испытуемый транзистор подключают соответствующими выводами к зажимам ХТ1—ХТ3. В зависимости от структуры транзистора переключатель SA2 устанавливают в положение «p-n-p» или «n-p-n». При этом изменяется полярность подключения источника питания, а также выводов индикатора PA1. Как и в предыдущем случае, здесь в качестве индикатора используется авометр Ц20.

При измерении коэффициента $h_{21Э}$ (переключатель SA1 в правом по схеме положении) параллельно индикатору подключается через секцию SA1.2 резистор R2, в результате чего стрелка индикатора

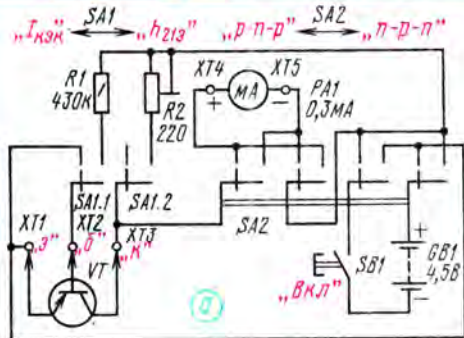


Рис. 5

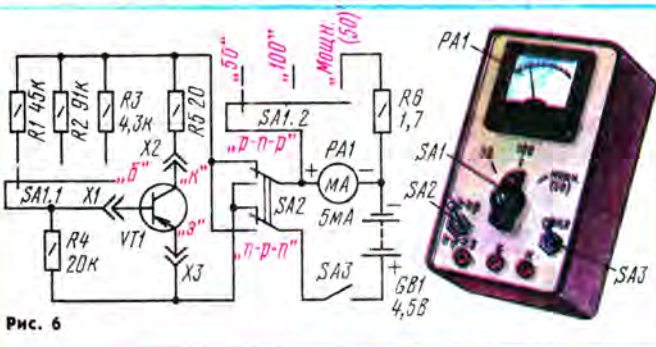
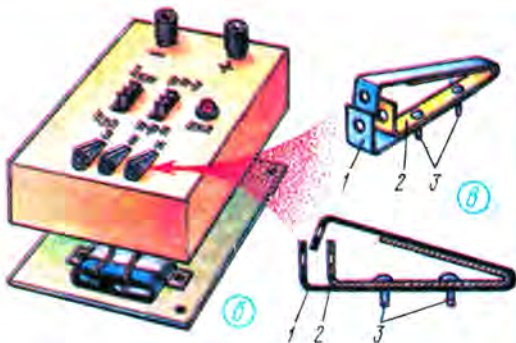


Рис. 6

отклоняется до конечного деления шкалы уже при токе 3 мА (хотя авометр работает на пределе измерения 0,3 мА). В этом же положении переключателя через секцию SA1.1 к выводу базы транзистора подключается резистор R1, обеспечивающий ток базы 10 мкА (0,01 мА). Нетрудно подсчитать, что при этом шкала индикатора будет соответствовать коэффициенту $h_{213} = 300$ ($3 \text{ мА} : 0,01 \text{ мА} = 300$).

В левом по схеме положении переключателя SA1 база транзистора соединяется с эмиттером, а шунтирующий резистор R2 отключается от индикатора. Это положение соответствует измерению тока $I_{КЭК}$, а шкала индикатора соответствует току 300 мкА. Если же отключить вывод эмиттера от зажима XT1, можно определить ток $I_{КБ}$.

Все измерения проводят при нажатии кнопки SB1.

Постоянный резистор может быть МЛТ-0,25 или МЛТ-0,125, подстроечный — любой малогабаритный, например СПЗ-16. Переключатели SA1 и SA2 — движковые, скажем, переключатели диапазонов малогабаритного приемника, кнопочный выключатель SB1 — с самовозвратом.

Защипы XT1—XT3 для подключения выводов транзисторов — любой конструкции, важно лишь, чтобы они обеспечивали надежный контакт с выводами. Хорошо зарекомендовали себя самодельные зажимы, показанные на рис. 5, в.

Каждый зажим состоит из двух согнутых полосок пружинящей латуни или бронзы. В наружной 1 и внутренней 2 полосках просверлены отверстия под вывод транзистора. Внутренняя полоска необходима для увеличения надежности устройства и пружинящих свойств зажима. Полоски скрепляют друг с другом и прикрепляют к корпусу приставки винтами 3. Изнутри корпуса под винты подкладывают земляные лепестки, которые соединяют проводниками с соответствующими цепями приставки.

Для крепления вывода транзистора нужно прижать верхнюю часть полосок до совмещения отверстий, вставить в отверстия вывод транзистора и отпустить полоски. Вывод транзистора окажется надежно прижатым к полоскам в трех точках.

Возможный вариант конструкции этой приставки показан на рис. 5, б. Верхняя панель изготовлена из изоляционного материала (гетинакс, текстолит), нижняя (это крышка, на которой укреплены батарея) и боковые стенки — из алюминия или другого листового материала.

Налаживание приставки сводится к установке резистором R2 заданного предела измерения, равного 3 мА. Для этого нужно установить переключатель SA1 в положение « h_{213} », и не подключая транзистора, включить между зажимами XT1 и XT3 постоянный резистор сопротивлением 1,5 кОм.

Включив кнопкой SB1 питание, резистором R2 устанавливают стрелку индикатора авометра на конечное деление шкалы.

Возможно, вы пожелаете изготовить комбинированный прибор для проверки транзисторов разной мощности обеих структур. Тогда воспользуйтесь схемой, приведенной на рис. 6. В приборе два предела измерения h_{213} , что намного удобнее, поскольку в радиолюбительской практике приходится иметь дело не только с транзисторами, обладающими коэффициентом передачи 60...100, но и с транзисторами, у которых этот параметр не превышает 20.

Для получения двух пределов достаточно установить два различных тока базы. Делается это с помощью переключателя SA1. В первом его положении секцией SA1.1 в цепь базы включается резистор R1 сопротивлением 45 кОм (его можно отобрать из группы резисторов сопротивлением 43 или 47 кОм или составить из двух резисторов, соединенных последовательно либо параллельно), который задает ток базы около 0,1 мА. Максимальный коэффициент передачи тока, измеряемый в этом положении переключателя, равен 50.

При установке переключателя во второе положение в цепь базы включается резистор R2, и сила тока ограничивается до 0,05 мА, а максимальный измеряемый коэффициент передачи равен 100.

В цепи коллектора стоит стрелочный индикатор PA1 с током полного отклонения стрелки 5 мА и сопротивлением рамки около 15 Ом (миллиамперметр типа ПМ-70). Вполне возможно использование ранее изготовленного вами миллиамперметра, установленного на нужный предел измерения и подключаемого к испытателю, выполненному в виде приставки.

Этот прибор позволяет проверять и транзисторы средней и большой мощности — для этих целей служит третье положение переключателя SA1. В цепь базы теперь включается резистор R3, через который протекает ток около 1 мА.

Максимально измеряемый коэффициент передачи ограничен цифровой 50, значит, стрелочный индикатор должен быть рассчитан на ток полного отклонения стрелки до 50 мА. Стрелочный индикатор РА1 шунтируется до указанного тока секцией SA1.2, которая подключает параллельно индикатору резистор R6 сопротивлением 1,7 Ом. Резистор с таким сопротивлением придется изготовить самим из провода с высоким удельным сопротивлением (нихром, константан, манганин).

Остальные резисторы можно применить любого типа мощностью не менее 0,125 Вт. Переключатель SA1 — галетного типа, с двумя секциями на три положения (например, 3ПЗН), переключатель SA2 — типа тумблер с двумя секциями (он используется для изменения полярности подключения стрелочного индикатора и батареи питания при проверке транзисторов разной структуры), выключатель SA3 — любого типа.

Конструкция прибора — произвольная, габариты корпуса зависят от имеющихся в вашем распоряжении деталей и стрелочного индикатора.

Наладка прибора сводится к подбору резистора R6 для получения полного отклонения стрелки индикатора при токе коллектора 50 мА. Методика подбора аналогична описанной для предыдущей конструкции.

Б. СЕРГЕЕВ

г. Москва

ЗНАЕТЕ ЛИ ВЫ, ЧТО...

...первая публикация о самодельном радиоприемнике на транзисторах (их тогда называли полупроводниковыми триодами) появилась на страницах майского номера журнала «Радио» за 1955 г. Это была разработка Г. Цыкина, выполненная на двух транзисторах и одном германиевом диоде. Приемник обеспечивал громкоговорящий прием местных радиостанций.

...массовому увлечению «карманными» приемниками способствовали конструкции на четырех и пяти транзисторах, разработанные В. Плотиным и описанные в журналах «Радио» № 9 за 1958 г. и № 11 за 1959 г.

Ю. ПРОКОПЦЕВ

г. Москва

С ПАЙЛЬНИКОМ В РУКАХ

"ПОЮЩИЕ" ПРИБОРЫ

Чем заменить стрелочный индикатор? — такой вопрос нередко возникал у вас при встрече со схемой интересного измерительного прибора. Омметр, вольтметр, испытатель транзисторов — эти приборы трудно представить без миллиамперметра, стрелка которого индицирует измеряемый параметр. И тем не менее подобные приборы могут работать без стрелочного индикатора. В этом нетрудно убедиться, собрав предлагаемые конструкции, в которых роль индикатора выполняет... генератор звуковой частоты.

Наш первый прибор — пробник (рис. 1). Без него трудно наладить даже самую простую конструкцию. Проверка правильности монтажа, целости обмоток трансформаторов, катушек индуктивности, надежности паяек — все это делается с помощью пробника еще до включения собранной конструкции.

В пробнике работает один малоомощный транзистор — любой из серий МП39—МП42. В коллекторную цепь транзистора включена первичная обмотка трансформатора Т1. Его вторичная обмотка соединена с базой транзистора. Когда щупы ХР1 и ХР2 пробника касаются друг друга или подключены к цепи с небольшим сопротивлением, на базу транзистора через резистор R1 подается напряжение отрицательной полярности. Из-за сильной положительной обратной связи между коллекторной и базовой цепями возникает самовозбуждение (генерация) каскада, и в динамической головке ВА1 возникает звук. Тональность звука зависит от емкости конденсатора C1, сопротивлений резистора R1 и проверяемого участка конструкции (или детали). Таким образом, по изменению тональности звука нетрудно судить о сравнительном сопротивлении тех или иных участков «прозваниваемой» цепи. Исходную тональность звука подбирают изменением сопротивления резистора R1 (с увели-

чением сопротивления высота звука возрастает) или емкости конденсатора C1 (увеличение емкости снижает высоту звука).

В пробнике возможно использование готовых трансформаторов от абонентских громкоговорителей или выходных трансформаторов от малогабаритных транзисторных приемников. Подойдет и самодельный трансформатор, выполненный на магнитопроводе сечением около 1,5 см². Первичная (I) обмотка должна содержать 1000 витков провода ПЭВ-1 0,1, вторичная (II) — 60 витков ПЭВ-1 0,4. Динамическая головка ВА1 — любая малогабаритная мощностью до 0,25 Вт. Источник питания — батарея 3336 либо три последовательно соединенных элемента напряжением по 1,5 В. Выключателя в пробнике нет, поскольку при разомкнутых щупах транзистор закрыт и практически не потребляет тока.

Следующая конструкция — испытатель транзисторов (рис. 2). Он предназначен для проверки малоомощных транзисторов и способен определять коэффициент передачи от 10 до 100.

Как только к зажимам ХТ1—ХТ3 подключают выводы транзистора, устройство превращается в генератор переменного напряжения звуковой частоты. Но вырабатывать колебания генератор способен при определенном положении движка переменного резистора R3. Перемещая его из нижнего по схеме в верхнее положение, добиваются возбуждения каскада и появления звука в динамической головке ВА1. Ясно, что чем на больший угол будет повернут движок резистора, тем меньшим коэффициентом передачи обладает проверяемый транзистор. Значение этого коэффициента читают по положению ручки переменного резистора.

Резистор R1 ограничивает максимальный ток коллектора транзистора, а R2 влияет на нижний предел диапазона измерений при-

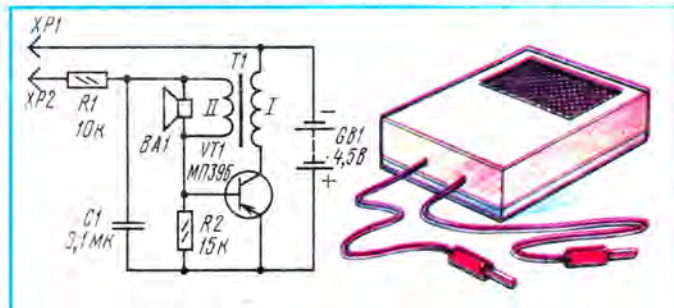


Рис. 1

"РАДИО"-НАЧИНАЮЩИМ

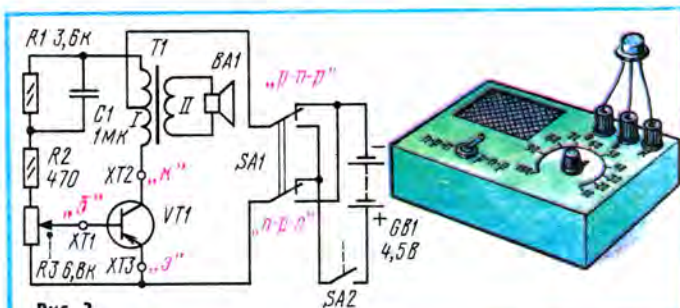


Рис. 2

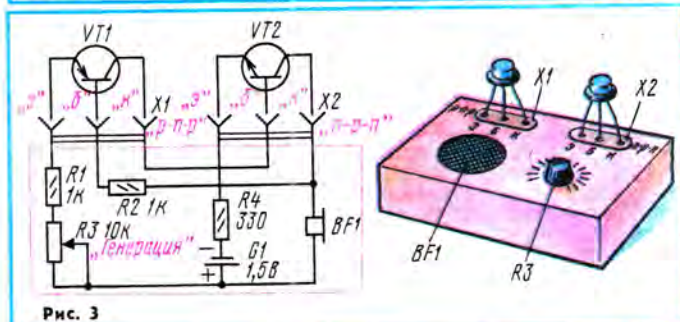


Рис. 3

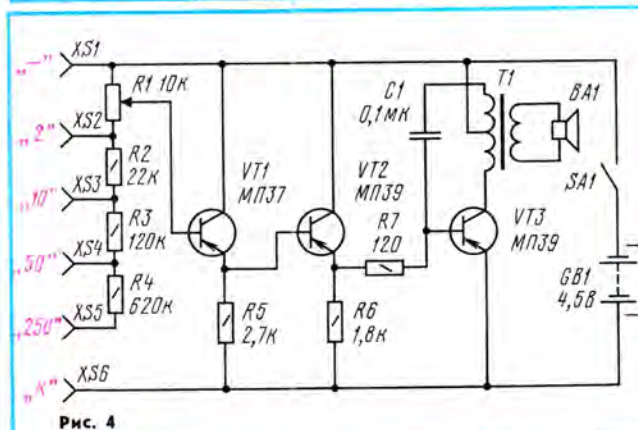


Рис. 4

бора. Структуру испытываемого транзистора устанавливают переключателем SA1, включается прибор выключателем SA2 — он связан с переменным резистором.

Переменный резистор — любого типа, желательно совмещенный с выключателем (при отсутствии такого придется установить в прибор отдельный выключатель). Трансформатор — выходной от карманного радиоприемника. Динамическая головка — такая же, что и в предыдущем приборе.

Чтобы отградуировать прибор, понадобится несколько транзисторов с известными коэффициентами передачи. Их поочередно подключают к зажимам прибора и, поворачивая ручку переменного резистора, добиваются появления генерации. После чего проставляют на шкале резистора значение коэффициента передачи.

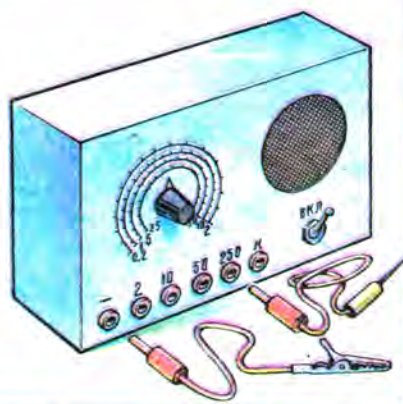
Вариант схемотехнического решения подобного испытателя-пробника приведен на рис. 3. В этом приборе проверяемый транзистор работает в паре с образцовым (заранее проверенным и специально подобранным для пробника), но другой структуры. Если, скажем, проверяют транзистор структуры р-п-п, его выводы вставляют в гнезда разъема X1, а в гнезда разъема X2 вставляют выводы образцового транзистора структуры п-п-п. Тогда получится генератор колебаний звуковой частоты — они слышны в головном телефоне BF1. Звук будет, конечно, лишь в случае исправности проверяемого транзистора. Момент возникновения генерации зависит от положения движка переменного резистора R3 «Генерация».

Помимо двух исправных образцовых германиевых транзисторов

разной структуры, для пробника понадобятся головной телефон ТМ-2А, источник питания G1 — любой гальванический элемент, переменный резистор любого типа и постоянные резисторы мощностью до 0,25 Вт. Разъемами могут стать панельки под транзисторы, гнезда или зажимы.

Коэффициент передачи проверяемого транзистора нетрудно оценить по положению движка переменного резистора — чем в большем диапазоне его перемещения будет сохраняться звук в телефоне, тем большим коэффициентом передачи обладает транзистор.

Последний из серии «поющих» приборов — вольтметр (рис. 4). Он позволяет измерять постоянные напряжения в диапазоне от 0,2 до 250 В. Для удобства весь диапазон разбит на четыре поддиапазона: 0,2...2 В, 1...10 В, 5...50 В, 25...250 В. Для каждого поддиапазона установлено свое гнездо (XS2—XS5), в которое вставляют измерительный щуп. Общим при всех измерениях является гнездо XS1. Кроме того, введено гнездо XS6 для контроля источника пи-



тания — достаточно соединить его щупом с гнездом XS3 и проконтролировать напряжение источника.

Основная часть вольтметра — генератор ЗЧ, собранный на транзисторе VT3.

Измеряемое напряжение приложено к делителю, составленному из резисторов R2—R4 и переменного резистора R1. С движка резистора напряжение в соответствующем отношении подается на базу транзистора VT1 структуры п-п-п. Для повышения входного сопротивления вольтметра между усилительным каскадом и генератором включен эмиттерный повторитель на транзисторе VT2.

Если на какие-то гнезда подано напряжение, то перемещение движка переменного резистора от верхнего по схеме положения к нижнему вызывает увеличение от-

рицательного напряжения на резисторе R6, а значит, на базе транзистора VT3. При определенном напряжении транзистор открывается и возникает генерация — появляется звук в головке ВА1. Если движок продолжать перемещать, генерация снова исчезает. Отсчет измеряемого напряжения ведут по шкале, нанесенной против ручки резистора.

Переменный резистор может быть любого типа сопротивлением от 6,8 до 10 кОм, но желательно с линейной характеристикой. Трансформатор и головка — от карманного приемника. На месте VT1 должен стоять транзистор с коэффициентом передачи 15...30, на месте VT2, VT3 — с коэффициентом 40...80.

Налаживают прибор с контрольным (образцовым) вольтметром постоянного тока. Подавая различные напряжения на соответствующие гнезда прибора и подключая к ним контрольный вольтметр, отмечают на шкале положения ручки переменного резистора, соответствующие моменту возникновения генерации. Каждый раз ручки резистора следует начинать поворачивать от крайнего левого (верхнего по схеме) положения: при подходе к значению измеряемого напряжения сначала будет слышен слабый звук высокого тона, который при дальнейшем вращении ручки исчезает и вместо него появляется громкий звук низкого тона.

Стабильность «показаний» вольтметра во многом зависит от напряжения источника питания. Периодически проверяйте и вовремя меняйте батарею. Не исключено, конечно, питание прибора от блока со стабилизированным выходным напряжением.

Ю. ВЕРХАЛО

г. Москва

**ЗНАЕТЕ ЛИ ВЫ,
ЧТО...**

...известный сплав Вуда, используемый при пайке специальных изделий, плавится при температуре 75 °С. Те же компоненты — висмут, свинец, олово и кадмий, взятые в иных пропорциях, могут образовать сплав с еще меньшей температурой плавления — 56 °С.

...в некоторых довоенных любительских конструкциях динамических головок (их в то время именовали громкоговорителями) электромагнитного типа диффузор выполнялся в виде согнутого пополам, а затем раскрытого под некоторым углом листа плотной бумаги.

Ю. ПРОКОПЦЕВ

2. Москва

ЗВОНОК СТАЛ КОДОВЫМ

Электронный двутональный звонок, описанный А. Глотовым в апрельском номере «Радио» за 1989 г. (с. 60), я превратил в кодовый. Теперь мои близкие и товарищи, зная код звонка, сообщают о своем приходе мелодичным звучанием, а незнающие куда — однотонным сигналом звонка.

Дорабатывая звонок, я заменил его звонковую кнопку (SB1) счетверенным переключателем П2К с удаленным фиксатором. Получился блок кнопок (на рис. 1 он обведен штрих-пунктирными линиями), который с помощью трехконтактного разъема (X1) соединяю с платой электронной части звонка.

Блок кнопок, укрепленный возле входной двери, смонтирован в корпусе размерами $75 \times 30 \times 40$ мм

(рис. 2), склеенным из листового полистирола толщиной 4 мм.

Положение контактов блока кнопок, показанное на рис. 1, соответствует коду 1010. В ждущем режиме звонок обесточен, а база транзистора VT1 через замкнутые контакты SB1.1, SB3.1 кнопок SB1 и SB3 соединена с коллектором.

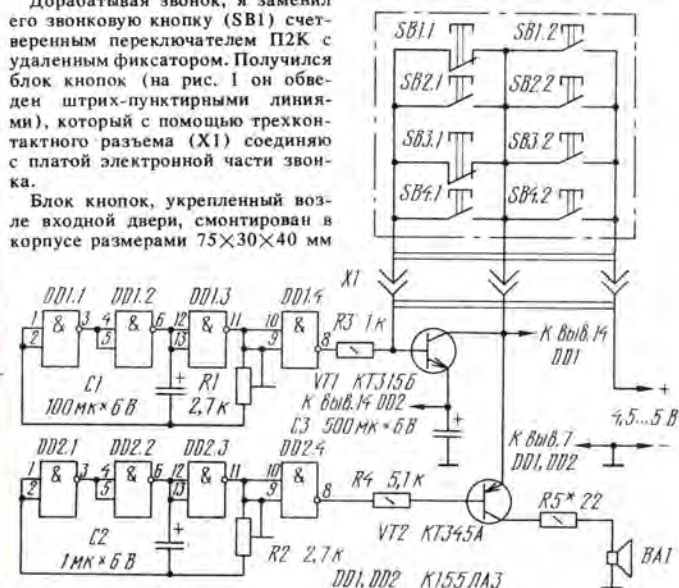


Рис. 1

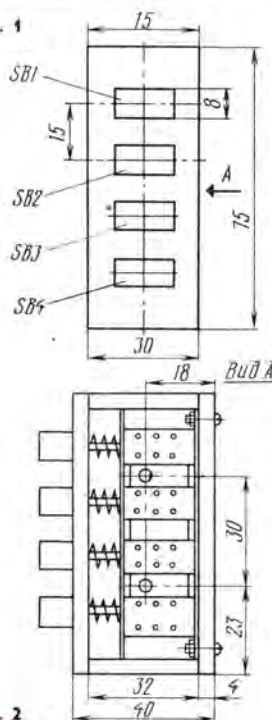


Рис. 2

При нажатии на эти кнопки одновременно через замкнувшиеся контакты SB1.2 и SB3.2 на звонок подается питание, а разомкнувшиеся контакты SB1.1 и SB3.1 размыкают цепь, соединяющую коллектор и базу транзистора VT1. В результате этот транзистор периодически (с частотой следования импульсов генератора колебаний малой частоты, собранного на элементах DD1.1—DD1.3) открывается и подает питание на второй генератор — тональный на элементах DD2.1—DD2.4. При этом динамическая головка BA1 излучает частотно-модулированный звуковой сигнал.

При нажатии других кнопок в любом сочетании цепи базы и коллектора транзистора VT1 оказываются замкнутыми и динамическая головка воспроизводит одночастотный сигнал, так как частотная модуляция не происходит.

Не обязательно делать кодовыми кнопки SB1 и SB3. Можно закодировать три либо одну кнопку. Важно, чтобы их первые контакты работали на размыкание.

Д. СИНЬКОВ

г. Луганск

"РАДИО" – НАЧИНАЮЩИМ



ПРИБОРЫ РАДИОИЗМЕРИТЕЛЬНЫЕ

ОСЦИЛЛОГРАФЫ

Осциллографы, наряду с комбинированными универсальными приборами, являются наиболее часто используемыми в радиотехнической деятельности средствами измерений. Это связано с их широкими функциональными и эксплуатационными возможностями, позволяющими производить непосредственно количественный отсчет параметров исследуемого сигнала и одновременно наблюдать за качественными изменениями его формы.

В зависимости от целей измерений выбор осциллографа производят по его техническим характеристикам, которые должны удовлетворять требованиям решаемой задачи. В ряде случаев, особенно в радиолюбительской практике, решающими факторами могут служить габариты прибора, его масса, удобство в эксплуатации, стоимость. Выбирая осциллограф, следует учитывать условия его эксплуатации, ясно представлять особенности объекта исследования, знать характеристики прибора и понимать роль каждой из них в предстоящих измерениях.

Вид требуемого осциллографа зависит от характера исследуемого сигнала. При наблюдении форм непрерывных сигналов и измерении их основных параметров (длительность, частота, амплитуда) применяют универсальные осциллографы. Для исследования редко повторяющихся и однократных импульсов используют запоминающие осциллографы. При очень высокой частоте сигнала или исследовании быстродействующих процессов необходим стробоскопический осциллограф.

В общем случае при выборе осциллографа потребителя должны интересовать следующие составляющие погрешности прибора:

- основная;
- дополнительная — изменение основной погрешности за счет изменения внешних условий относительно нормальных;
- динамическая — разность между погрешностью прибора в ди-



Осциллограф-мультиметр РС1-01.



Малогабаритный осциллограф-мультиметр С1-112А.



Двухлучевой осциллограф С1-96.

намическом режиме и его статической погрешностью, соответствующей значению величины в данный момент времени;

— энергетическая — обусловленная потреблением мощности от объекта исследования, к которому подключают прибор.

Соответственно допускаемой погрешности измерений выбирают класс точности прибора. Не следует задаваться целью получить погрешность измерений во много раз мень-

ше допускаемой. Следует помнить, что стоимость прибора зависит от его класса точности, поэтому нерациональный подход к выбору данного параметра может повлечь неоправданные затраты. К тому же класс точности прибора, характеризующий его свойства, не является непосредственным показателем точности измерений, выполняемых с помощью этого прибора.

Основным критерием точности измерений является соответствие

Окончание. Начало см. в «Радио», 1992, № 11, с. 46—49.

Тип прибора	Число каналов	Полоса пропуск., МГц	Входное сопротивление, МОм	Входная емкость, пФ	Значения коэффициентов		Размеры рабочей части экрана, мм	Габариты, мм	Масса, кг
					отклонения, В/дел.	развертки, мкс/дел.			
C1-49	1	5,5	1	50	$10^{-2}-20$	$0,04-5 \cdot 10^4$	36×60	170×223×445	8,5
C1-55	2*	10	1	40	$10^{-2}-20$	$0,04-5 \cdot 10^4$	42×60	348×198×495	15
C1-64	2	50	1	25	$5 \cdot 10^{-3}-10$	$0,01-10^6$ ****	48×80	354×242×509	13
C1-64A	2	50	1	25	$5 \cdot 10^{-3}-10$	$0,01-10^6$ ****	64×80	354×242×509	19
C1-65	1	35	1	30	$5 \cdot 10^{-3}-10$	$0,01-5 \cdot 10^4$	48×80	348×200×502	16
C1-65A	1	50	1	25	$5 \cdot 10^{-3}-10$	$0,01-5 \cdot 10^4$	64×80	348×200×502	16
C1-67	1	10	1	40	$10^{-2}-20$	$0,02-5 \cdot 10^4$	42×60	274×182×440	10
C1-68	1	1	1	50	$10^{-3}-5$	$0,4-2 \cdot 10^6$	60×80	274×182×440	10
C1-69	2*	5	1	40	$10^{-3}-20$	$0,1-5 \cdot 10^6$	40×100	360×200×420	20
C1-70/1	2	50	1	30	$10^{-2}-5$	$0,01-5 \cdot 10^5$ ****	64×80	480×200×475	30
C1-70/2	2	10	1	30	$5 \cdot 10^{-4}-20$	$0,01-5 \cdot 10^5$ ****	64×80	480×200×475	24
C1-70/3	2	$3,5 \cdot 10^{-3}$	$5 \cdot 10^{-5}$	—	$5 \cdot 10^{-3}-0,2$	0,0001—5	64×80	480×200×475	24
C1-72	1	10	1	40	$2 \cdot 10^{-2}-10$	$0,05-5 \cdot 10^5$	36×60	225×140×360	8,5
C1-73	1	5	1	35	$10^{-2}-20$	$0,1-5 \cdot 10^4$	40×60	245×90×370	4,5
C1-75	2	250	$5 \cdot 10^{-5}$	—	$10^{-2}-1$	$0,002-10^5$	60×100	408×220×546	23
C1-76	1	1	1	50	$5 \cdot 10^{-4}-20$	$1-5 \cdot 10^6$	60×100	310×180×430	13
C1-77	2	10	1	30	$5 \cdot 10^{-3}-10$	$0,02-2 \cdot 10^5$	60×80	225×160×360	10
C1-79	2	100	1	25	$2 \cdot 10^{-3}-5$	$0,005-5 \cdot 10^5$ ****	48×80	354×220×503	19
C1-82	2	10	1	35	$10^{-3}-5$	$0,05-5 \cdot 10^5$ ****	100×120	300×200×420	15
C1-85**	2	100	1	20	$5 \cdot 10^{-3}-2$	$0,005-2 \cdot 10^5$	100×120	300×200×420	18
C1-92	2	100	1	20	$5 \cdot 10^{-3}-5$	$0,005-5 \cdot 10^4$ ****	100×120	354×220×508	16
C1-93	2	15	1	30	$5 \cdot 10^{-3}-10$	$0,02-10^6$	100×120	308×180×434	10
C1-94	1	10	1	40	$10^{-2}-5$	$0,1-5 \cdot 10^4$	40×60	100×190×300	3,5
C1-96	2*	10	1	25	$2 \cdot 10^{-3}-10$	$0,04-10^5$	94×114	360×160×420	13
C1-97	2	350	$5 \cdot 10^{-5}$	—	$5 \cdot 10^{-3}-0,5$	$0,001-10^5$	80×100	360×200×420	18
C1-99	2	100	1	25	$2 \cdot 10^{-3}-5$	$0,005-10^6$ ****	100×120	344×240×507	17,5
C1-102	2*	10	1	60	$5 \cdot 10^{-4}-20$	$0,04-5 \cdot 10^6$	100×120	200×280×480	15
C1-103	4*	10	1	60	$5 \cdot 10^{-4}-20$	$0,04-5 \cdot 10^6$	100×120	200×280×480	17
C1-104	2	500	$5 \cdot 10^{-5}$	—	$10^{-2}-1$	$0,001-5 \cdot 10^4$	80×100	345×217×484	16
C1-107***	1	5	1	35	$10^{-2}-20$	$0,1-10^4$	40×60	245×112×360	4
C1-108**	1	350	$5 \cdot 10^{-5}$	—	$10^{-2}-1$	$0,001-10^4$	80×100	280×280×480	17
C1-112***	—	—	—	—	—	—	—	—	—
C1-112A***	1	10	1	30	$5 \cdot 10^{-3}-5$	$0,05-5 \cdot 10^4$	40×60	190×110×250	3,5
C1-114***	2	50	1	25	$5 \cdot 10^{-3}-2$	$0,005-10^5$	80×100	348×200×502	14
C1-115/1**	4*	50	1	20	$5 \cdot 10^{-3}-5$	$0,05-5 \cdot 10^4$ ****	100×120	228×320×540	20
C1-117**	2	10	1	35	$10^{-4}-5$	$0,05-5 \cdot 10^5$	60×80	260×160×360	10
C1-117/1**	2	15	1	35	$10^{-4}-5$	$0,05-5 \cdot 10^5$	60×80	260×160×360	10
C1-118	2	10	1	30	$5 \cdot 10^{-3}-5$	$0,05-5 \cdot 10^4$	60×80	210×120×300	4
C1-118A	2	2	1	20	$5 \cdot 10^{-3}-5$	$0,02-5 \cdot 10^4$	60×80	212×133×336	4
C1-125	2	10	1	35	$10^{-3}-5$	$0,02-5 \cdot 10^5$	60×80	260×120×340	5
C1-127	2	50	1	25	$10^{-3}-5$	$0,005-2 \cdot 10^5$	60×80	260×120×340	6
C1-129	2	103	$5 \cdot 10^{-5}$	—	$10^{-2}-1$	$0,0002-10^5$ ****	60×80	215×385×620	21
PC1-01***	1	20	1	35	$2 \cdot 10^{-3}-10$	$0,1-10^5$	60×80	318×158×395	9
PC1-02**	2	100	1	25	$10^{-2}-5$	$0,005-10^5$	60×80	312×152×360	8,5
«САГА»	1	0,7	1	30	$5 \cdot 10^{-3}-5$	$0,05-5 \cdot 10^4$	40×60	100×180×230	3,2
ОМЛ-2М	1	5	1	40	$10^{-2}-50$	$0,1-5 \cdot 10^4$	30×40	203×212×128	4
ОМЛ-3М	1	5	1	40	$10^{-2}-50$	$0,1-5 \cdot 10^4$	30×40	214×194×128	3,5

Примечания: * — двухлучевые осциллографы; ** — цифровая индикация результатов измерений; *** — осциллограф-мультиметр; **** — два генератора развертки.

осциллограммы формы напряжения исследуемого сигнала. Выполнение данного требования зависит не только от типа используемого прибора, но и от правильного его подключения к объекту исследования, выбора режимов работы, использования определенного вида синхронизации развертывающего напряжения и пр. Качество будущей осциллограммы определяют исходя из чувствительности осциллографа, его полосы пропускания, значений входных сопротивлений и емкости канала вертикального отклонения.

Чувствительность прибора задает минимально возможный уровень исследуемого сигнала, пара-

метры которого еще можно измерить по его осциллограмме. Максимальную чувствительность определяют по значению минимального коэффициента деления входного attenuатора. Чем меньше это значение, тем выше чувствительность и больше размах осциллограммы на экране ЭЛТ. Например, гармоническое напряжение амплитудой 5 мВ (размах 10 мВ) и частотой 1 кГц подают последовательно от одного источника сигнала на два осциллографа — C1-67 и C1-96. Минимальный коэффициент отклонения первого 10 мВ/дел (деление 6 мм), второго — 2 мВ/дел. (деление 11 мм). В этом случае на экране

осциллографа C1-67 осциллограмма напряжения занимает одно деление по вертикали, т. е. 6 мм. На экране C1-96 тот же сигнал занимает 5 делений, т. е. 55 мм. Соответственно во втором случае измерения будут более качественными.

Чувствительность осциллографа можно уменьшить, изменяя коэффициент передачи входного attenuатора. Это позволит наблюдать сигналы с большой амплитудой. Исследуя такие сигналы, нужно знать максимально допустимое значение напряжения, которое можно подавать на вход канала вертикального отклонения.



Допустимый размах напряжения определяют путем умножения значения максимального коэффициента деления входного attenuатора на размер рабочей части экрана трубки по вертикали. Так, для рассмотренных выше типов осциллографов имеет значение максимальный коэффициент отклонения для осциллографа С1-67 — 20 В/дел. и 10 В/дел. у С1-96. Рабочая часть экрана по вертикали — 42 (7 дел.) и 94 мм (8 дел.) соответственно. Учитывая дополнительную возможность увеличения значения коэффициента отклонения за счет плавного изменения коэффициента усиления канала не менее чем в 2,5 раза от калиброванного значения, получаем, что осциллограф С1-67 обеспечивает наблюдение формы электрического сигнала амплитудой до 175 В (размах 350 В). Осциллограф С1-96 — до 100 В (размах 200 В).

Однако истинные значения могут быть меньше расчетных из-за конструктивных и схемотехнических особенностей построения усилителя, о чем специально оговаривается в технических данных прибора. В любом случае при работе с такими напряжениями лучше использовать специальные внешние делители, что позволит значительно увеличить максимальный предел исследуемого напряжения и предохранит осциллограф от возможных неисправностей.

Полоса пропускания канала вертикального отклонения $\Delta F = F_{\text{в}} - F_{\text{н}}$ определяется верхней граничной частотой $F_{\text{в}}$ поскольку нижняя граничная частота $F_{\text{н}}$ либо равна нулю — при работе с открытым входом осциллографа, либо составляет единицы Герц — при работе с закрытым входом осциллографа. Для получения удовлетворительной точности измерений необходимо, чтобы значение полосы пропускания осциллографа превышало ширину спектра входного сигнала. Это особенно важно при исследовании импульсных сигналов, фронт и спад которых не должны претерпевать значительных искажений. Так, погрешность передачи длительности фронта $t_{\text{ф}}$ прямоугольного импульса через канал вертикального отклонения не превышает 2 %, если время нарастания $t_{\text{н}}$ переходной характеристики осциллографа будет в 5 раз меньше длительности фронта: $t_{\text{н}} \leq t_{\text{ф}}/5$.

При исследовании импульсов треугольной формы должно выполняться следующее условие: $t_{\text{н}} \leq t_{\text{ф}}/10$. А при наблюдении гармонического (синусоидального) напряжения: $t_{\text{н}} \leq t_{\text{ф}}/3$ [Найдезов А. И., Новопольский В. А. Электронно-лучевые осциллографы. — М.: Энергоатомиздат, 1983]. Учитывая, что время нарастания переходной характеристики в полосе пропускания связано соотношением $t_{\text{н}} \approx 0,35/\Delta F$, получим выражение, которым можно руководствоваться при выборе ширины по-

лосы пропускания, например, при исследовании прямоугольного импульса с длительностью фронта $t_{\text{ф}}$: $\Delta F \geq 1,75/t_{\text{ф}}$, где ΔF выражена в МГц, если $t_{\text{ф}}$ задана в мкс. Если данное требование не выполняется, то параметры наблюдаемого изображения сигнала не будут соответствовать истинным в пределах допускаемых погрешностей.

От соотношений значений входного сопротивления осциллографа и выходного сопротивления источника сигнала, к которому подключают прибор, зависит величина энергетической погрешности. Шунтирующее влияние осциллографа будет минимальным в том случае, если его активное входное сопротивление будет во много раз больше выходного сопротивления источника, а значение входной емкости — меньше выходной емкости этого источника.

Некоторые типы осциллографов имеют несколько каналов вертикального отклонения, что позволяет одновременно исследовать в режиме реального времени независимо друг от друга несколько сигналов. Однако следует помнить, что в многоканальном осциллографе сигналы на отклоняющие пластины поступают с коммутатора, поочередно подключающего эти каналы. Поэтому при исследовании электрических процессов, частоты которых соизмеримы или превосходят значение частоты коммутатора, использовать возможности многоканального режима работы для одновременного наблюдения нескольких сигналов нельзя, — и осциллограф используют как одноканальный. Этого недостатка лишены многолучевые осциллографы, имеющие в своей конструкции для каждого канала вертикального отклонения свои отклоняющие пластины.

Интересуясь характеристиками генератора горизонтальной развертки, необходимо обратить внимание на то, чтобы диапазон значений коэффициентов развертки соответствовал длительностям исследуемых импульсов. Имеется в виду, что пределы значений коэффициента развертки выбранного осциллографа должны гарантировать возможность получения осциллограммы хотя бы одного периода сигнала.

При синхронизации генератора развертки от внешнего источника сигнала следует обратить внимание на требуемое значение синхронизирующего напряжения и его полярность. В случае непосредственного использования усилителя горизонтального отклонения параметры входного напряжения должны соответствовать входным параметрам этого канала.

В таблице приведены основные технические данные некоторых типов универсальных осциллографов.

О. СТАРОСТИН

г. Москва

Микросхемы серии 564 имеют структуру КМОП и обладают всеми преимуществами таких микросхем: ничтожно малой потребляемой в статическом режиме мощностью, широким интервалом допустимого напряжения питания, большим входным и относительно малым выходным сопротивлением. От ранее рассмотренных микросхем структуры КМОП различных серий [1—4] микросхемы серии 564 отличаются прежде всего оформлением: они выполнены в плоских корпусах с планарным расположением выводов с шагом 1,25 мм. Кроме того, эти микросхемы работают в более широком интервале температур: от —60 до +125 °С.

Логика работы микросхем с одинаковыми буквенно-цифровыми обозначениями после номера серии у К176, К561, КР1561 и 564 полностью совпадает. Реальные электрические параметры у микросхем серий К561 и 564 также совпадают, хотя паспортные нормы у них различны. Поэтому ниже рассматривается применение лишь тех микросхем серии 564, которые или отсутствуют в других сериях, или имеют иные буквенно-цифровые обозначения.

Напряжение питания рассматриваемых микросхем, если оно специально не оговорено, может быть в пределах от 3 до 15 В. Его подводят к выводу с наибольшим номером, общий провод — к выводу с вдвое меньшим номером.

Микросхема 564ИД4 (рис. 1) представляет собой преобразователь сигналов двоично-десятичного кода в уровни напряжения для управления семисегментными индикаторами и, прежде всего, жидкокристаллическими. Так же, как и микросхема К176ИД2, преобразователь позволяет изменять полярность сигналов подачи напряжения управления на вход 5: при уровне 0 на нем включенно сегментов соответствуют высокие уровни на выходах а—g, при уровне 1 — низкие.

Особенностью микросхемы можно назвать возможность увеличения амплитуды выходного сигнала по сравнению с входным. Микросхема (так же, как и описываемые далее 564ИД5 и 564УМ1) имеет три вывода для подачи напряжений питания: 16 — $U_{\text{пит.1}}$, 7 — $U_{\text{пит.2}}$, 8 — общий провод. Напряжение $U_{\text{пит.1}}$ должно быть положительным и находиться в пределах от 3 до 15 В, $U_{\text{пит.2}}$ — равным нулю или отри-

ПРИМЕНЕНИЕ МИКРОСХЕМ СЕРИИ 564

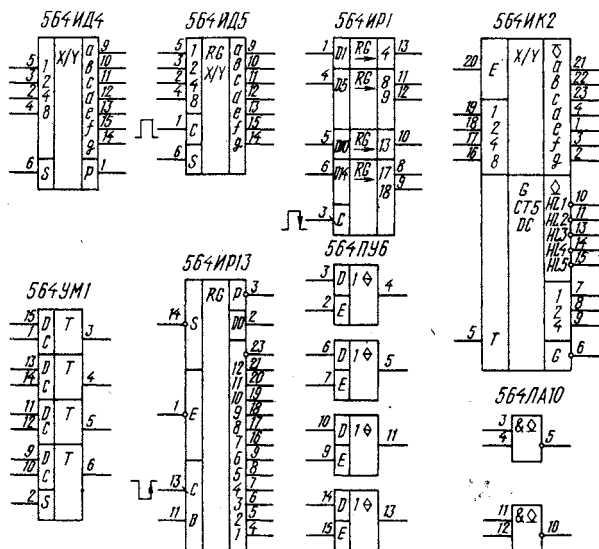


Рис. 1

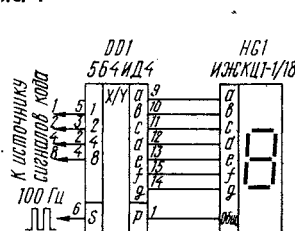


Рис. 2

цательным, причем сумма абсолютных значений напряжений $U_{пит.1}$ и $U_{пит.2}$ не должна превышать 15 В. Уровень 1 входного сигнала должен быть равен $U_{пит.1}$ уровень 0 — нулю, выходные сигналы находятся в пределах от $U_{пит.1}$ до $U_{пит.2}$. Это позволяет при напряжении питания большей части микросхем, равном 3...5 В, управлять и такими жидкокристаллическими индикаторами, которые требуют амплитуды напряжения 10...15 В.

Схема подключения жидкокристаллического индикатора к микросхеме 564ИД4 показана на рис. 2. На ее вход S подаются сигнал формы меандр с частотой 30...200 Гц, который проходит без инвертирования на выход Р, увеличиваясь по амплитуде. При подаче на входы 1, 2, 4, 8 уровня двоичного кода требуемого знака на выходах, соответствующих индицируемым сегментам, напряжение начинает изменяться противофазно напряжению на выходе Р и эти сегменты стано-

вятся темными. На тех выходах, которые соответствуют неиндицируемым сегментам, напряжение изменяется синфазно с напряжением на выходе Р, и сегменты не отличимы от фона. При подаче на входы уровней в кодах цифр 0—9 на индикаторе формируется изображение этих цифр. Сигналы для кодов чисел 10—13 индицируют буквы Л, Н, Р, А соответственно, для кода числа 14 — знак «—», при поступлении кода числа 15 индикатор гаснет.

Паспортная нагрузочная способность микросхемы 564ИД4 при разности напряжений между выводами 16 и 7 (далее называемое напряжением питания), равной 10 В, в состоянии 0 достигает 0,9 мА, в состоянии 1 — 0,45 мА. Реальные значения вытекающих выходных токов в состоянии 0 и напряжении 1 В между выходом и выводом 7 равны 1, 3, 8 и 12 мА при напряжении питания 3, 5, 10, 15 В соответственно, а значения вытекающих выходных токов в состоянии 1 и напряжении 1 В между выходом и выводом 16 — 0,8; 1,6; 3 и 4 мА при указанных выше напряжениях питания. Токи короткого замыкания в состоянии 0 могут достигать 1,2; 4,5; 20 и 36 мА, в состоянии 1 — 1, 3, 12 и 20 мА при тех же напряжениях питания. Указанные выходные токи позволяют использовать микросхему для управления светодиодными индикаторами как с общим анодом, так и с общим катодом без ограничительных резисторов при напряжении питания 5...10 В и с ограничительными резисторами при напряжении 10...15 В. Такими же выходными токами обладают рассматриваемые далее микросхемы 564ИД5 и 564ИД1.

Микросхема 564ИД5 (см. рис. 1) отличается от 564ИД4 наличием на ее входах 1, 2, 4, 8 статического регистра хранения информации с входом записи С и отсутствием выхода Р. Запись в регистр происходит при подаче на вход С импульса положительной полярности. Регистр при этом пропускает на свои выходы, т. е. на входы преобразователя кода, информацию с входов микросхемы (говорят, что регистр «прозрачен»). В режим хранения регистр переходит в момент спада входного импульса.

Микросхема 564ИД1 (см. рис. 1) содержит четыре статических D-триггера с подключенными к их выходам усилителями, позволяющими увеличить амплитуду выходного сигнала аналогично микросхемам 564ИД4 и 564ИД5 и изменить полярность выходного сигнала.

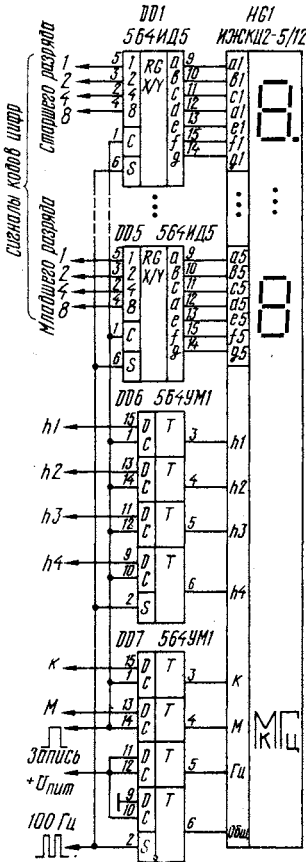


Рис. 3

А В С Д Е Ф

Рис. 4

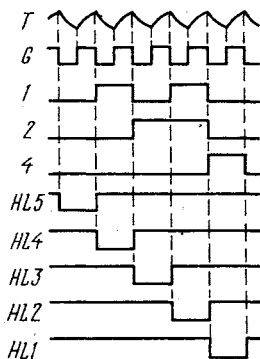


Рис. 5

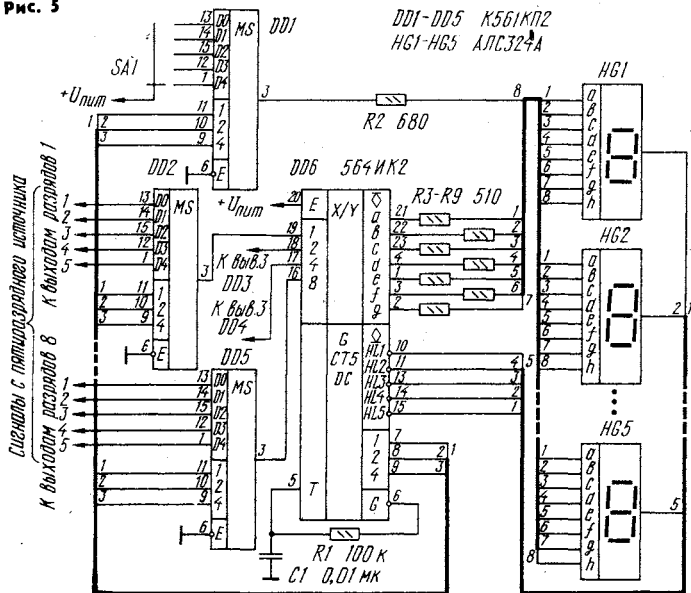


Рис. 6

При уровне 0 на входе S выходные сигналы микросхемы имеют ту же полярность, что и входные, при уровне 1 сигналы инвертируются.

Информация в триггеры с входов D записывается при подаче на входы С импульса положительной полярности. Триггеры при этом «прозрачны», и изменение сигналов на входах D проходит на выходы. Так же, как и в микросхеме 564ИД5, переход триггеров в режим хранения происходит по спаду импульса положительной полярности на входах С.

Основное назначение микросхемы 564УМ1 — совместная работа с микросхемами 564ИД4 и 564ИД5 для управления десятичными точками, знаком полярности, другими знаками и общим электродом жидкокристаллических индикаторов. Пример

использования указанных микросхем для управления индикатором ИЖКЦ2-5/12 показан на рис. 3. Этот пятиразрядный индикатор предназначен для использования в цифровом частотомере и, кроме возможности индикации пяти цифр, имеет четыре десятичные запятые (сегменты h) и надпись «Гц», перед которой могут индифицироваться буквы «к» или «М».

На микросхемы DD1—DD5 подаются сигналы кодов цифр с микросхем счетчиков, на вход D микросхемы DD6, соответствующий необходимой запятой, — уровень 1, на остальные входы D — уровень 0. При поступлении импульса положительной полярности на входы С происходит

4—8 в напряжения для управления семисегментным индикатором (с управляющим входом E), генератор (вход Т, выход G) на инвертирующем триггере Шмитта и счетчик-делитель на 5, вход которого подключен к выходу генератора. Кроме того, выходы 1, 2, 4 счетчика подключены к входам дешифратора с инверсными выходами HL1—HL5.

Преобразователь сигналов двоичного кода имеет выходы с открытым стоком транзисторов с каналом р. На семисегментном индикаторе с общим катодом он индицирует цифры 0—9 при подаче входных сигналов соответствующего двоичного кода и буквы А, В, С, Д, Е, F при подаче уровней кода, соответствующего числам 10—15. Форма этих букв показана на рис. 4.

Индикатор включается при подаче на вход Е уровня 1, при поступлении уровня 0 индикатор гаснет.

По техническим условиям преобразователь обеспечивает выходное напряжение не менее 9 В при вытекающем выходном токе 10 мА и напряжении питания 10 В. В те моменты, когда на выходах преобразователя нет уровня 1, выходы переходят в высокоимпедансное состояние.

Для нормальной работы генератора к его выводам следует подключить RC-цепь: резистор — между выводами Т и G, конденсатор — между выводом Т и общим проводом. Сопротивление резистора может быть в пределах от 10 кОм до 5 МОм, емкость конденсатора — 100 пФ и более. Частоту генерации приблизительно определяют по формуле: $f = k/RC$, где k равно 700, 400, 350 и 300 для напряжений питания 3, 5, 10 и 15 В соответственно, f получается в герцах, R выражают в килоомах, а С — в микрофарадах. При сопротивлении резистора 100 кОм и емкости конденсатора 0,01 мкФ частота будет в пределах от 700 до 300 Гц. При такой частоте мелькание свечения индикатора не заметно.

При поступлении на счетчик микросхемы импульсов на его выходах 1, 2, 4 поочередно появляются сигналы двоичных кодов чисел 0—4, а на выходах дешифратора HL1—HL5 — уровень 0, как показано на осциллограммах (рис. 5). Следует иметь в виду, что в те моменты, когда на выходах HL1—HL5 нет уровня 0, они находятся в высокоимпедансном состоянии, так как они выполнены с открытым стоком транзисторов с каналом п. По техническим условиям в состоянии 0 при напряжении питания 10 В и выходном протекающем токе 80 мА выходное напряжение дешифратора не превышает 1 В.

Нагрузочная способность выходов 1, 2, 4 счетчика равна 1,3 мА при напряжении питания 10 В и

запоминание информации в регистрах микросхем. На входы D двух нижних по схеме триггеров микросхемы DD7 поданы разные уровни (1 и 0), а на входы S всех микросхем — сигнал формы меандр с частотой 30...200 Гц. В результате на выходы «Гц» и «Общ» индикатора HG1 приходят противофазные сигналы и надпись «Гц» индицируется постоянно. При необходимости индикации букв «к» или «М» на соответствующие входы микросхемы DD7 подаются уровни 1, при отсутствии такой необходимости — уровень 0.

Микросхема 564ИК2 (см. рис. 1) предназначена для управления в динамическом режиме пятиразрядным полупроводниковым семисегментным индикатором или пятью отдельными индикаторами. Она содержит преобразователь сигналов двоичного кода 1—2—

выходном напряжении 1 В в состоянии 0, такая же нагрузочная способность и при выходном напряжении 9 В в состоянии 1.

Импульсы тактовой частоты для работы счетчика могут быть поданы с внешнего генератора на вход Т. В этом случае резистор

и конденсатор не нужны, а выход G не используют.

Схема включения микросхемы 564ИК2 для работы на пять семисегментных индикаторов с общим катодом изображена на рис. 6. Мультиплексоры DD2—DD5 служат для подачи на входы преобразователя микросхемы DD6 сигналов в кодах индицируемых цифр с пятиразрядного источника (счетчика, регистра). Мультиплексор DD1 с переключателем SA1 определяет положение запятой.

Если в устройстве положение запятой фиксировано, то ее включение можно обеспечить по схеме на рис. 7, показанной на примере подключения индикатора HG3. Диод VD1 находится в разрыве проводника, соединяющего выход микросхемы DD6 (см. рис. 6) с катодом индикатора, в котором необходимо включить запятой. Вывод резистора R2 подключают к сегменту h этого индикатора. Диод VD1 необходим для исключения подачи обратного напряжения смещения на светодиоды индикатора. Инвертором DD1.1 может быть любой инвертирующий элемент структуры КМОП. При использовании элемента микросхем К561ЛН2 или К176ПУ1, К176ПУ2 транзистор VT1 не нужен.

Вход Е микросхемы DD6 (см. рис. 6) можно использовать не только для гашения индикаторов, но и для регулировки их яркости свечения за счет изменения скважности подаваемых на этот вход импульсов по схеме, представленной на рис. 8. Дифференцирующая цепь C1R1R2 позволяет изменять длительность импульсов, подаваемых на входы Е микросхемы DD6 и DD1 (см. рис. 6) и элемента DD1.1 (см. рис. 7). В последнем случае элемент DD1.1 должен иметь не менее двух входов и выполнять функцию ИЛИ-НЕ.

Аналогично может быть подключен и пятиразрядный полупроводниковый индикатор АЛС311А.

Полупроводниковые индикаторы можно заменить на вакуумные люминесцентные одиночные индикаторы или на один многоразрядный, включив их по схеме на рис. 9. Используемые в этом случае транзисторы структуры р-р-р должны быть крем-

ниевыми с допустимым напряжением коллектор-эмиттер не менее 30 В. Так же, как и при использовании полупроводниковых индикаторов, возможна регулировка яркости их свечения.

Реальная нагрузочная способность микросхемы 564ИК2 значительно больше паспортной. При напряжении 1 В на выходах HL1—HL5: выходной втекающий ток равен около 70, 150, 270 и 350 мА при напряжении питания 3, 5, 10, 15 В соответственно. При выходном напряжении, на 1 В меньшем напряжения питания, выходной втекающий ток через выходы а—г имеет значения, примерно в 10 раз меньшие. Это позволяет при напряжении питания 10...15 В подключать к выходам микросхемы практически любые светодиодные индикаторы с общим катодом, подобрав токоограничительные резисторы.

При использовании полупроводниковых индикаторов с большими размерами знаков (например, АЛС335А) и напряжении питания 5 В значения выходных токов микросхемы может не хватить для обеспечения нормальной яркости их свечения. В этом случае выходы а—г следует уместить эмиттерными повторителями на транзисторах структуры р-р-р (например, серии KT315), выходы HL1—HL5 — повторителями на транзисторах структуры р-р-р средней мощности (например, серии KT502).

Большие выходные токи на выходах HL1—HL5 позволяют использовать микросхему 564ИК2 в качестве распределителя с релейными выходами по схеме на рис. 10. Обмотки реле в нем должны быть рассчитаны на напряжение питания микросхемы и на рабочий ток, не превышающий указанный выше для выходов HL1—HL5.

Направление тока через выходы HL1—HL5 удобно для непосредственного управления симисторами серии КУ208. На рис. 11 изображена схема простейшего варианта устройства «бегущие огни» на микросхеме 564ИК2.

Неиспользуемые входы микросхемы в устройствах, собранных по схемам на рис. 10 и 11, следует соединить с общим проводом или плюсовым проводом питания.

Микросхема 564ИР1 (см. рис. 1) — восемнадцатиразрядный сдвигающий регистр, разделенный на четыре секции с общим входом С для подачи тактовых импульсов. Разводка выводов и логика работы этой микросхемы такие же, как у микросхемы К176ИР10 [4]. Максимальная частота тактовых импульсов для этой микросхемы может быть 1,5 и 3 МГц для напряжений питания 5 и 10 В соответственно.

Микросхема 564ИР13 (см.

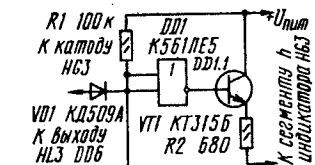


Рис. 7

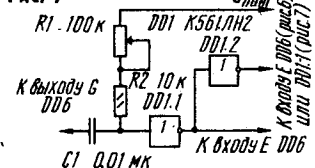


Рис. 8

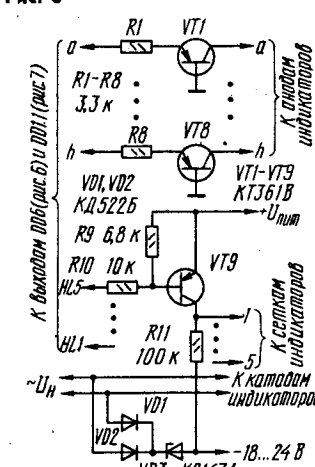


Рис. 9

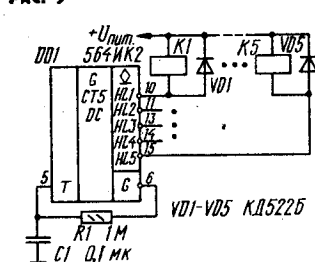


Рис. 10

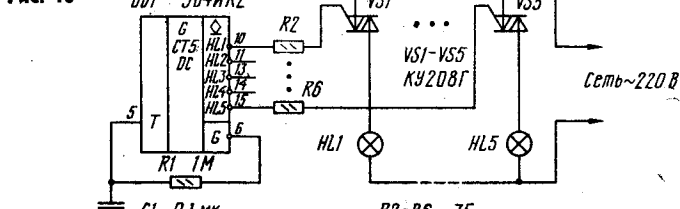


Рис. 11

рис. 1) — двенадцатизарядный регистр последовательного приближения. Разводка выводов и работа этой микросхемы аналогичны микросхеме K155IP17 [5]. Максимальная частота тактовых импульсов равна 2 и 5 МГц для напряжений питания 5 и 10 В соответственно.

Микросхема 564ЛА10 (см. рис. 1) содержит два логических элемента И-НЕ с открытым стоком. Сопротивление выходных транзисторов микросхемы в открытом состоянии довольно низкое: около 30 Ом — при напряжении питания 3 В, 15 Ом — при 5 В, 6 Ом — при 10 В и 4,5 Ом — при 15 В. Допустимый выходной ток определяется допустимой рассеиваемой мощностью 100 мВт на выход и равен от 80 до 150 мА при напряжении питания от 5 до 15 В. Выходное напряжение, которое можно подавать на выходы микросхемы в открытом состоянии, равно 15 В.

Микросхема может применяться для согласования микросхем структуры КМОП с микросхемами ТТЛ, для работы на светодиодные индикаторы, электромагнитные реле и в других случаях, когда нагрузочной способностью стандартных микросхем структуры КМОП недостаточно или требуется коммутация нагрузки от источника с открытым стоком.

Микросхема 564ПУ6 (см. рис. 1) включает в себя четыре преобразователя уровней ТТЛ в уровни микросхем структуры КМОП с индивидуальной возможностью перевода выходов в высокоимпедансное состояние. Микросхема имеет два вывода для подачи напряжений питания: вывод 1 — для подачи напряжения +5 В для питания микросхем ТТЛ и вывод 16 — для подачи напряжения питания микросхем структуры КМОП. Последнее не должно превышать 15 В. Общий провод подключают к выводу 8.

Каждый преобразователь уровня имеет вход Е для управления состоянием выхода. При уровне 1 на входе преобразователь повторяет входной сигнал, увеличенный по амплитуде до напряжения питания, подаваемого на вывод 16, при уровне 0 выход переходит в высокоимпедансное состояние.

С. АЛЕКСЕЕВ

г. Москва

ЛИТЕРАТУРА

1. Алексеев С. Применение микросхем серии K176. — Радио, 1984, № 5, 6; 1986, № 2.
2. Алексеев С. Применение микросхем серии K561. — Радио, 1986, № 11, 12; 1987, № 1; 1990, № 6.
3. Алексеев С. Применение микросхем серии KP1561. — Радио, 1991, № 6.
4. Алексеев С. Применение микросхем серии K176. — Радио, 1984, № 4.
5. Алексеев С. Применение микросхем K155. — Радио, 1987, № 10.

ВОЗВРАЩАЯСЬ К НАПЕЧАТАННОМУ

ЕЩЕ РАЗ О ПИТАНИИ РАДИОПРИЕМНИКОВ ОТ СЕТИ

Этому вопросу была посвящена, в частности, статья [1]. При нынешнем дефиците гальванических элементов и батареей она несомненно актуальна. Вместе с тем описанное в этой статье устройство во многом несовершенно, и если радиолюбители, повторившие его, особенно малоопытные, не будут знать об этом, оно может принести им немало огорчений.

Во-первых, обратим внимание на то, что, когда в гнезде X1 нет вставки, все его контакты замкнуты. Из-за этого при выключенном приемнике батарея постоянно разряжается через резисторы R1 и R2 и эмиттерный переход транзистора VT1. Ток разрядки равен примерно 1,5 мА и за неделю-другую даже при неработающем приемнике батарея окажется практически разряженной.

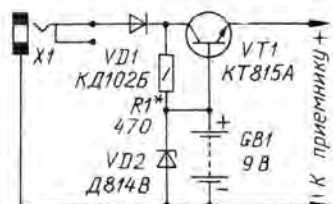
Во-вторых, в статье сказано, что устройство можно применить для приемников с другим типом гнезда. Но если в приемнике у радиолюбителя установлено стандартное гнездо, предназначенное для подключения малогабаритных телефонов, то при введении вставки в такое гнездо выход блока питания на некоторых время окажется замкнутым. Блоку питания это грозит выходом из строя.

В-третьих, транзисторы узла работают попеременно в заперевом режиме. Так, при питании от батареи транзистор VT1 открыт, а VT2 закрыт напряжением на эмиттерном переходе, равным напряжению питания радио-приемника, т. е. примерно 7...8,5 В. При работе от блока питания закрыт будет транзистор VT1. Если напряжение блока равно 20 В, то на эмиттерном переходе оно достигнет 6...8 В. Максимально допустимое же напряжение на эмиттерном переходе этих транзисторов равно 5 В. Значит, не исключена порча транзисторов, а вслед за ними и радиоприемника или блока питания.

В-четвертых, устройство не исключает перезарядки батареи, несмотря на то что зарядный ток

невелик. Это возможно уже при напряжении блока питания 15 В и более. Если приемник питается от батареи аккумуляторов, то перезарядка отрицательно скажется на сроке ее службы.

Между тем в журнале уже были опубликованы неплохие устройства для той же цели, например, [2]. Я предлагаю радиолюбителям модернизированный вариант этого устройства (см. схему). Оно содержит меньше деталей и надежнее в работе.



При питании от батареи GB1 эмиттерный переход транзистора VT1 открывается и через него напряжение поступает к приемнику. На переходе падает напряжение примерно 0,7 В, если транзистор VT1 кремниевый, и 0,4 В, если германиевый. Дiode VD1 защищает батарею от разрядки через блок питания в том случае, если блок подключен к приемнику, но отключен от сети.

При питании от сети батареей и стабилизатор VD2 с резистором R1 выполняют функцию источника образцового напряжения, а транзистор работает усилителем тока. Исправная батарея имеет малое внутреннее сопротивление и поэтому эффективно сглаживает пульсации напряжения сетевого блока питания. При этом стабилизатор VD2 в работе может и не участвовать, оставаясь закрытым.

Устройство позволяет также заряжать от блока питания батарею аккумуляторов 7Д-0,125Д или подобную. Зарядный ток течет через резистор R1. Зарядка продолжается и при выключении

радиоприемника. Стабилитрон при этом защищает батарею от перезарядки.

Поскольку деталей в устройстве немного, его можно собрать навесным монтажом. В устройстве способны работать транзисторы КТ603А—КТ603Е, КТ807АМ, КТ807БМ, КТ815А—КТ815Г, КТ817А—КТ817Г, ГТ404А—ГТ404Г. Диод VD1 — любой выпрямительный с максимально допустимым током, большим чем максимальный ток, потребляемый радиоприемником. Вместо Д814В подойдет стабилитрон КС191Ж, Д818А—Д818Е, два последовательно включенных стабилитрона КС147А или другой с напряжением стабилизации 9,1...9,6 В и током стабилизации не менее 10 мА. Если же приемник рассчитан на работу с шестивольтовой батареей, то и стабилитрон должен быть на напряжение 6,2...6,5 В.

Налаживания узел не требует, надо только заранее подобрать стабилитрон на требуемое напряжение стабилизации и подобрать резистор исходя из значения выходного напряжения. Ток через резистор R1 должен быть равен 8...10 мА, в противном случае требуется уточнить номинал резистора. Гнездо X1 может быть любым.

И. НЕЧАЕВ

г. Курск

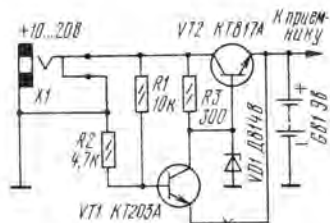
ЛИТЕРАТУРА

1. В. Бондарев. Питание радиоприемника от сети.— Радио, 1991, № 10, с. 36.
2. Переключатель «батарея—сеть» («За рубежом»).— Радио, 1969, № 7, с. 59.

В статье В. Бондарева «Питание радиоприемников от сети», опубликованной в «Радио» № 10 за 1991 г. на с. 36, затронут вопрос, волнующий многих владельцев переносных радиовещательных приемников. Речь в ней шла о несложном устройстве, которое, будучи встроенным в портативный батарейный приемник, позволяет питать его от внешнего сетевого блока с выходным напряжением 10...20 В.

Однако, как показал опыт эксплуатации предложенного устройства, ему присущи некоторые недостатки. Так, например, если приемник выключен и сетевой блок отключен от него, то наблюдается непроизводительный расход энергии батареи че-

рез резисторы R1, R2 и эмиттерный переход транзистора VT1 (см. рис. 1 указанной статьи). Этот бесполезный ток разрядки батареи равен примерно 2 мА. Незаконно расходуется энергия батареи и за счет падения напряжения на открытом транзисторе VT1. Кроме того, случайное замыкание выходной цепи устройства или контактов разъема питающей батареи (что бывает на практике) может привести к необратимым последствиям — выйдет из строя само устройство и даже возможно (при пробитом транзисторе VT2) приемник из-за повышенного напряжения сетевого блока питания.

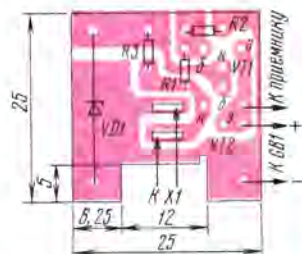


Чтобы устранить эти недостатки, встраиваемое в приемник устройство предлагают монтировать по схеме, приведенной на рис. 1. Оно, как видите, не сложнее исходного. Транзистор VT2, резистор R3 и стабилитрон VD1 здесь соединены также. А вот резисторы R1, R2 и транзистор VT1 включены иначе, и батарея GB1 подключена непосредственно к выходу устройства. Во время питания приемника от сети ток подзарядки батареи будет больше, чем в исходном варианте устройства (там батарея подзарядается через резисторы R1, R2).

После отключения внешнего блока питания батарея GB1 при выключенном приемнике не будет напрасно истощаться. А так как она непосредственно соединена с приемником (как в стандартном варианте питания), то никакого дополнительного падения напряжения не происходит.

Транзистор VT1 и резисторы R1, R2 образуют узел защиты устройства от возможного замыкания его выходной цепи. Пока замыкания нет, он практически не влияет на работу устройства и приемника в целом. При возникновении замыкания закрытый транзистор VT1 тут же откроется и зашунтирует собой стабилитрон VD1. В результате транзистор VT2 закроется и выходное напряжение устройства уменьшится почти до нуля. Никакой пере-

грузки транзистора VT2 по току не происходит.



Возможный вариант монтажа деталей устройства на печатной плате показан на рис. 2.

Устройство в налаживании не нуждается, надо лишь убедиться в надежности срабатывания узла защиты опытным путем. Для этого вывод эмиттера транзистора VT1 отключите от проводника, идущего к эмиттеру транзистора VT2 (на рис. 1 обозначено крестом), а к выходу устройства вместо батареи и приемника подключите вольтметр постоянного тока. Ко входу устройства подключите сетевой блок питания. При этом вольтметр на выходе устройства должен показывать напряжение около 9 В. Точнее установить напряжение можно подборкой стабилитрона VD1. Если теперь свободный вывод эмиттера транзистора VT1 замкнуть на общий проводник устройства, то напряжение на выходе не должно превышать 0,01 В. Это укажет на то, что узел защиты сработал.

После этого восстановите соединение между эмиттерными цепями транзисторов и встройте плату устройства в корпус радиоприемника.

Аналогичное устройство пригодно и для питания радиоприемника от бортовой сети автомобиля, где напряжение колеблется обычно в пределах 10...18 В. Его вход соединяют с сетью проводов со штекером на конце, подключаемым к гнезду прикуривателя. Чтобы избежать повреждения устройства и радиоприемника в случае ошибочной полярности аккумуляторной батареи автомобиля, на входе устройства следует включить защитный диод (например, КД105В) анодом к плюсовому проводу бортовой сети, а катодом к устройству. Аналогичный диод полезен и при работе устройства от сетевого блока питания.

В. БАННИКОВ

г. Москва

(содержание журнала за 1992 г.*)

СТАТЬИ, ОЧЕРКИ

Связь Российского государства. (Беседа с министром связи России В. Б. Булгаком).	1	3
А. Горюховский, А. Гриф	1	75
На ту же тему: о кооперативах	2-3	13
Майкл Фарадей, О. Лежнев	2-3	74
Современные методы диагностики. Г. Шульгин	4	5
Электронных дел мастера, Р. Левин	5	2
Балканы. Год 1944-й... К. Покровский	6	6
Пути, которые мы выбираем. А. Васильев	6	7
Из странствий дальних возвратись... А. Перваков, Н. Акутин	7	12
Александр Павлович Константинов. Н. Константинова, В. Урвалов	8	56
Что делать, если нарушены права потребителя? С. Викторова	10	5
Золотая медаль Колумба	11	2
РСС — региональное содружество связистов. А. Гриф		

ГОРИЗОНТЫ НАУКИ И ТЕХНИКИ. ТЕХНИКА НАШИХ ДНЕЙ

Однополосное радиовещание. В. Поляков	1	6
Экономика современных ИМС. Я. Федотов	2-3	3
Современный модем. Г. Иванов	5	3
РСА изучает Землю. Б. Степанов	6	3
ТВ программы из космоса. Б. Локшин	8	2
Российские просторы и космос. В. Гришмановский, В. Годия	10	2
«Московская прописка» телетекста	10	5
Электроника MC 1502—IBM PC у вас дома. А. Долгий	12	2

СЛУШАЕМ И СМОТРИМ ВЕСЬ МИР

Спорадическое Е-прохождение, или Кому радость, а кому огорчение. Б. Григорьев	1	9
Путеводитель по эфиру. М. Парамонов	2-3	10
Ионосфера и распространение радиоволн. Г. Ляпин	2-3	11
Как сделать прогноз прохождения КВ. Г. Ляпин	4	2
Оперативный прогноз прохождения. Г. Ляпин	7	4
Адреса русскоязычных станций	8	6
Счастливого плавания по волнам эфира. С. Смирнова	8	7
Стереоприем: как избежать искажений. Н. Романова	9	3
О влиянии ЛЭП на телевизионный прием. К. Захаров, Б. Мельников	9	5
УКВ антенна. С. Герасимов	9	7
Адреса христианских радиостанций. М. Парамонов	9	8
Русскоязычные DX-издания. М. Парамонов	10	6
Радио София. С. Соседкин, М. Парамонов	11	4
Прием RTTY-станций. М. Парамонов	12	5

ЛИЧНАЯ РАДИОСВЯЗЬ

Системы личной связи. Н. Душенко	11	27
--	----	----

РАДИОЛЮБИТЕЛЬСТВО И СПОРТ

Скоростники встречаются в Неерпельте. А. Горюховский	1	11
Грустные ноты в мелодии морзянки. А. Разумов	5	7
Как мы стали независимыми. Л. Кормалов, И. Боландин	7	6

* Сокращенное. Первое число обозначает номер журнала, второе — страницу (начало статьи).

Старты надежды. С. Смирнова	10	7
С помощью божьего храма. Е. Турубара	11	5
Международные почтовые деньги. Г. Чилиндз	12	6
Вокруг Земли...на автобусе. И. Пашкуля, Ш. Торбич	12	6

СФ-У

Диплом «Ветераны за мир во всем мире»	1	13
Диплом «LY 91 AWARD»	2-3	8
Диплом «Каунас»	2-3	8
Диплом «Торжок-1000» (уточнение положения)	2-3	8
Диплом «Имени брянских партизан» (новое положение)	2-3	8
Диплом «Воскресение»	4	7
Дипломы «Атаман» и «Тихий Дон»	4	7
Дипломы: «Витязь» (изменение стоимости); «Воронеж» (изменения в положении); «Николай Федорович Ватулин» (изменение условий оплаты); «Советская Арктика»; «Анжеро-Судженск-60» (изменения в положении)	5	10
Дипломы «60-я параллель», «Пулковский меридиан», «60×30», «Север — Юг», «Новая волна», «Оптимист»	7	7
Дипломы «Александр Невский», «Псков» (изменение условий получения); «Каменный пояс»; «Уральские самоцветы»	8	8
Диплом «Золотой век»	10	9
Дипломы «Балаково», «103»	11	7
Диплом «Владимир» (изм. усл. получения)	12	7
Вымпел «Витязь I» (изменение условий получения)	5	10
Вымпел радиолобительской аварийной службы Запорожской области Украины	10	9
Адреса QSL-бюро	2-3	9
см. также 5—11.		

ПРОМЫШЛЕННАЯ АППАРАТУРА

Полный усилитель 3Ч «Вега 50У-122С», В. Люмицкий	5	41
Активная акустическая система «Яуза». С. Горелов	12	34

КОРОТКО О НОВОМ

Унифицированный переносный телевизор «Электроника 25ТЦ-312Д», стационарный двухкассетный магнитофон «Нота М-220 С-1»	1	3-я с. обл.
Цветной телевизор «Фотон 51ТЦ-408Д», кассетный проигрыватель «Яуза П-401С»	2-3	2-я с. обл.
Двухкассетный магнитофон-приставка «Вега МП-122 стерео», полный усилитель «Вега 50У-122 стерео»	2-3	4-я с. обл.
Переносная магнитола «Азамат РМ-204С», стационарный телевизор «Рекорд 50ТБ-308»	4	2-я с. обл.
Кассетный магнитофон-проигрыватель «Лота», радиоприемник «Нейва РП-204»	5	3-я с. обл.
Кассетная магнитола «Сатурн РМ-233С», цветомузыкальная установка «Радуга УСД-03»	6	2-я с. обл.
Мини-магнитофон «Вега М-420С», устройство дистанционного управления на ИК лучах «Орбита СДУ-102»	8	2-я с. обл.
Магнитола «Вега РМ-250С», магнитофон-игрушка «Алиса»	9	4-я с. обл.
Цифровой лазерный проигрыватель компакт-дисков «Вега ПКД-122С», двухкассетный магнитофон «ИЖ М-306С»	10	26
Магнитола «Протон РМ-211С», стационарный телевизор «Горизонт 51ТЦ-418Д»	10	4-я с. обл.

РАДИОЛЮБИТЕЛЬСКОЕ КОНСТРУКТОРСТВО

Сигнальное устройство на двупороговом компараторе. А. Леонтьев	5	36
Широкополосный кабельный усилитель. О. Ржевский	5	38
RC-генератор на К157ДА1. Д. Алексеев	7	45

Эксперимент с транзисторами 2Т825. В. Ширяев	7	46	Матричный принтер для «Радио-86РК». Д. Медуховский	5	23.
Расширение возможностей индикатора уровня сигнала. Ю. Пришлов	8	27	см. также 6—24.	5	25
Делитель напряжения с гальванической развязкой. В. Пышкин	9	28	Гибкие магнитные диски. В. Кузнецов	6	28
Цифровые одновибраторы. А. Межлумян	10	20	Клавиатура из микропереключателей. Е. Мищенко, С. Мищенко	5	28
Коммутатор нагрузки для цифровых устройств. А. Евсеев	11	19	Итак, снова «DUMPCOR»	7	21
Измерение малых значений частоты. В. Клямов	11	21	Таблица сравнительных характеристик отечественных бытовых и учебных ПЭВМ	7	26
			Редактор текстов «WEL». С. Смирнов	8	18
К расчету колебательных контуров генераторов. С. Бирюков	11	23		9	24
Удвоение частоты импульсного сигнала. А. Шифрин	12	32	Звук в программах на языке БЕЙСИК. А. Беседин	9	27
Бесконтактный переключатель. А. Леонтьев, С. Лукаш	12	33	Копирование экранной области. М. Овечкин	9	27
Ответы на вопросы по статье Иванова А. «Генератор прямоугольных импульсов инфранизкой частоты на КР512ПС10.— Радио, 1991, № 12, с. 32, 33»	5	59	Внешний загрузчик для «Ориона-128». А. Свидло	10	23
ДЛЯ ЛЮБИТЕЛЬСКОЙ СВЯЗИ И СПОРТА			Доработка интерфейса магнитофона «Ориона-128». В. Остапенко	10	25
Передающее устройство SSTV. В. Васильев	1	15	Еще раз о клавиатуре для IBM PC. А. Селезнев	10	25
Лестничные фильтры на неодинаковых резонаторах. И. Гончаренко	1	18	Контроллер НТМД для «Ориона-128». М. Короткин	12	13
	7	59	Программа ROMMONITOR. А. Головкин	12	15
Четырехэлементный «волновой канал» на 10-, 15- и 20-метровый диапазоны. В. Захаров	2-3	14	Сопряжение джойстика с «Радио-86РК». М. Шамсрахманов	12	16
	4	9	Самозапуск программ на «Радио-86РК». В. Чернышев	12	18
Приемник прямого преобразования на ИМС К174ПС1. В. Богданов	5	12	Восстановление испорченных файлов. В. Эдшерашвили	12	19
Какой «двойной квадрат» выбрать? В. Делев	5	14	Ответы на вопросы по статьям, опубликованным в журнале в прошлые годы		
Фазовый модулятор. А. Руднев	5	15	Долгий А. Анализ линейных электрических цепей на «Радио-86РК».— Радио, 1989, № 3, с. 47—51	1	73
Трехдиапазонный трансвер. В. Сушков	6	9	Горшков Д. и др. Персональный радиолокационный компьютер «Радио-86РК».— Радио, 1986, №№ 4—9; 1989, № 2, с. 78	2-3	71
	7	8	Игнатьев Ю. Новый знакогенератор для «Радио-86РК».— Радио, 1991, № 3, с. 44—48	4	60
Расчет координат объектов связи. А. Сычев	8	9		6	59
Формирователь SSB сигнала. Г. Запелалов	8	10	Сугоняко В., Сафронов В. Сообщаем подробности. Новая клавиатура.— Радио, 1991, № 2, с. 44—48	4	60
Замена кварцевого резонатора. Д. Сайфуллин	8	11	Бушуев Г. Переделка клавиатуры МС7004 для IBM PC/XT.— Радио, 1991, № 11, с. 33—35	8	60
Кварцевый фильтр с переключаемой полосой пропускания. И. Нечаев	9	12	ДЛЯ ЮМТА И НАРОДНОГО ХОЗЯЙСТВА		
Вариант переделки передающей приставки. В. Фищенко	9	13	Электронная «спичка». И. Нечаев	1	19
«Морянку» — в память электронного ключа. А. Романчук	9	14	Регулируем яркость светильника. И. Нечаев	1	22
Построение гибридного каскада. В. Шуклин	9	15	Блок управления насосом... с бесконтактным датчиком. А. Ваганов	1	23
СВ ключ-автомат на КМОП микросхемах. С. Кемов	10	10	...с поплавоково-герконовым датчиком. А. Агарков	1	24
Электрически малые антенны: возможности и заблуждения. А. Гречихин	11	8	Эволюция электронных часов, или Как эти часы сделать первичными и приспособить для управления сетью вторичных. Х. Гиниатуллин	2-3	18
О качестве SSB сигнала. А. Беззабарный	11	10	Доработка... микрокалькулятора. О. Клевцов	2-3	20
Ответы на вопросы по статьям, опубликованным в журнале в прошлые годы			...индикатора перегрузки стабилизатора. А. Сучинский	2-3	20
Михельсон А. ЧМ приемник на диапазон 430 МГц.— Радио, 1989, № 11, с. 29—31	1	73	...программного устройства «Сигнал-201». Э. Ринкус	2-3	21
Лаповок Я. Я строю новую КВ радиостанцию.— Радио, 1991, № 1, с. 23—26; № 2, с. 21—25; № 3, с. 26—28	4	60	...сторожевого устройства. Р. Романюк	2-3	21
	8	60	Регуляторы температуры жала паяльника... на напряжение 220 В... на напряжение 20...36 В. И. Нечаев	2-3	22
Беседин В. Радиолокационный телефон.— Радио, 1990, № 10, с. 29—33; № 11, с. 24—30	6	59	О защите сторожевого устройства от электрических помех. Н. Трошенко	2-3	54
Малиновский Д. Синтезатор частоты на диапазон 144 МГц.— Радио, 1990, № 6, с. 23—29	7	59	Выключение будильника в часах из набора «Старт 7231». Е. Шевченко	4	12
Бирюков С. Цифровая шкала.— Радио, 1982, № 11, с. 18—20; № 12, с. 23—25	8	60	Гашение незначещаго нуля на табло часов. А. Максимов	4	12
МИКРОПРОЦЕССОРНАЯ ТЕХНИКА			Усовершенствование будильника. В. Блишук	4	13
Редактор текстов «Микро». В. Барчуков, Е. Федеев	1	32	Вариант будильника часов. С. Козлов	12	8
	2-3	28	Плавное увеличение громкости будильника. П. Галашевский	12	8
Модемы. Г. Иванов	1	38	Будильник из «музыкальной открытки». Д. Очулин	12	9
Приставка сопряжения ЛК «Орион-128» с телевизором. В. Пушков	2-3	31	Доработка исполнительного устройства. О. Ибах	12	9
Сопротивление определяет компьютер. А. Лысков	2-3	34	Прерывистый сигнал в будильнике. Б. Бабакин	12	10
«Орион-128». Программатор ППЗУ. В. Сугоняко, В. Сафронов	4	14	Термометр с полупроводниковым датчиком. (По страницам зарубежных журналов)	4	59
Усовершенствование блока питания для «Радио-86РК». А. Сергеев	4	16			
Программное изменение вида курсора в «Радио-86РК». А. Мишкаускас	4	17			
Программа преобразования текстов. А. Гюмюшлю	4	18			

Электронный «рублильник». А. Иванов	5	17	ной системе зажигания.— Радио, 1991, № 9, с. 48, 49	4	60
Индикатор радиационного излучения. В. Бабин	5	18			
Дозиметр-радиометр. Е. Климчук	6	12			
	7	13			
Комментарий специалиста. Ю. Виноградов	7	15			
Автомат управления виброрассосом. Л. Романов, В. Киреев	6	16	Устройство формирования цветных полос для приставки к ГИС. В. Шкурюпат	1	40
Звуковая сирена с управлением одной кнопкой. (По страницам зарубежных журналов)	6	61	Подключение СДУ на ИК лучах к телевизорам. И. Салыников	1	44
Мелодический сигнализатор. В. и А. Череватенко	8	12	Плавный разогрев накала кинескопа. В. Лапкин	1	47
Громкоговорящая приставка к телефонному аппарату. Г. Гвоздичский	8	16	Прием вблизи телевизионной станции. А. Шур	2-3	35
Простой термометр: каким он может быть? И. Нечаев	8	17	Устройство защиты телевизоров от самовозгорания. Н. Таранов, Н. Гвиденко	2-3	37
Устранение ложных включений в «Суре». А. Сучинский	8	28	Замена кинескопов в телевизорах «Шиллис». Ю. Гельдберг	2-3	76
Усовершенствование электронного автосторожа. В. Талаалаев	8	28	Телевизор — видеомонитор. Д. Войцеховский, А. Пескин	4	20
Охранные устройства (кодовый дверной замок, кодовая охранный сигнализация, сторожевое устройство — электронный звонок). С. Бирюков	9	16	Модуль цветности МЦ-501. Л. Кевещ, А. Пескин	5	28
Световой сигнализатор телефонных звонков. Г. Гвоздичский	9	22		6	30
О любительских дозиметрах. Ю. Виноградов	10	13	Регулировка, доработка и ремонт видеоматричного «Электроника ВМ-12». Ю. Петропавловский	6	34
Электромузыкальный автомат. Д. Феденко	10	16		10	34
Модификация терморегулятора. Ю. Маточкин	10	32	Телевизионный антенный усилитель. И. Нечаев	6	38
Защита коллекторных электродвигателей. В. Кузин	11	11	Усовершенствование приставки к ГИС. Г. Оверченко	7	27
Электрозажигалка-пистолет. В. Фокин	11	13	Автоматический выключатель по излучению строчной развертки. А. Козьякин	7	28
Конденсаторная «спичка». А. Чумаков, А. Кубарев	11	13	Дистанционное управление аппаратурой по двум проводам. В. Шамис	8	34
Из зажигалки для сигарет. И. Александров	11	14	Кодер ПАЛ. О. Яблонский	8	37
Устройство блокировки питания электроустановки. А. Кузема	12	10	Автомат-выключатель телевизора с упрощенным подключением. В. Шамис	9	32
			СДУ на ИК лучах для телевизора ЗУСЦТ. В. Киврин	9	35
			Общий узел задержки декодеров ПАЛ и СЕКАМ. Д. Войцеховский	10	36
			Стабилизатор тока накала кинескопа. И. Нечаев	10	38
			Видеотехника формата VHS. Ю. Петропавловский	11	30
			Пульт и дешифратор СДУ на ИК лучах. В. Вовченко	11	33
			Двухполосная антенна ДМВ. А. Трифонов	12	20
				11	35
<p>Ответы на вопросы по статьям, опубликованным в журнале в прошлые годы</p>					
Александров И. Сторожевое устройство.— Радио, 1990, № 9, с. 32, 33	6	59	<p>Ответы на вопросы по статьям, опубликованным в журнале в прошлые годы</p>		
Ивашенко А., Котеленец Н. Фотореле на симисторе.— Радио, 1989, № 6, с. 32, 33	7	59	Кевещ Л., Пескин А. Новые промышленные декодеры СЕКАМ-ПАЛ.— Радио, 1991, № 3, с. 36—40; № 4, с. 45—49; № 5, с. 34, 35	1	73
Калашник В. Устройство защиты электродвигателя.— Радио, 1988, № 7, с. 24	7	59	Романчук А. Генератор сетчатого поля на микросхемах структуры КМОП.— Радио, 1991, № 9, с. 40, 41	6	59
Саулов А. Усовершенствованный регулятор напряжения.— Радио, 1991, № 7, с. 34—36	7	59	Войтович Л. Устройство размагничивания кинескопа.— Радио, 1991, № 1, с. 42, 43	6	60
Беляков А. Простой терморегулятор.— Радио, 1989, № 3, с. 32	7	60	Данильченко С. Прибор для проверки и восстановления кинескопов.— Радио, 1991, № 10, с. 53—55	7	59
Гушин А. Приставка к часам «Стирт 7231».— Радио, 1991, № 7, с. 30—32	8	60		10	60
Калашник В. Автоматическая водокачка.— Радио, 1991, № 6, с. 32, 33	9	59	Петропавловский Ю. Декодер ПАЛ в видеоматричном формате VHS.— Радио, 1991, № 11, с. 39—43	7	60
<p>ЭЛЕКТРОНИКА ЗА РУЛЕМ</p>					
Щелевые магнитные датчики ДМИ-1 и ДМИ-2. М. Бараночников, Ю. Колесов, В. Смирнов	1	29	<p>СПУТНИКОВОЕ ТЕЛЕВИДЕНИЕ</p>		
Цифровое сторожевое устройство. А. Цедик	2-3	25	Определение азимута и угла места на геостационарный спутник. (По страницам зарубежных журналов)	1	69
Преобразователь напряжения для автомобиля. И. Нечаев	4	45	Индивидуальная система приема СТБ. В. Ботвинов	8	30
Электроника экономйзера. В. Баниников	6	18	см. также 9—37, 10—28.		
	7	16			
Индикатор напряжения бортовой сети. Г. Гвоздичский	7	18	<p>РАДИОПРИЕМ</p>		
Квазианалоговый тахометр. В. Чуднов	8	25	Светодиод — указатель настройки. С. Королев	2-3	54
Доработка блока электронного зажигания. С. Гуреев	8	27	Стереофоническая система радиовещания с пилот-тоном. В. Поляков	4	30
Комбинированное реле указателя поворотов. А. Межлумян	9	31	Необычное использование осветительной сети. А. Васильев	4	35
Плавное выключение дальнего света. Л. Карбеник	11	15	Доработка синхронного АМ приемника. В. Корнев	5	46
О замене КТ848А в блоке зажигания. М. Троян	11	15	ДВ диапазон в приемнике «Олимпик-402». В. Покотило	5	49
Звуковой сигнализатор указателя поворотов. А. Межлумян	11	16	Ремонт радиоды «Вега-323-стерео». И. Филатов	5	49
Улучшение сторожевого устройства. А. Никитин	11	17			
Усовершенствование блока электронного зажигания. В. Талаалаев	11	18			
Зарядное устройство-автомат. С. Гуреев	12	11			
<p>Ответы на вопросы по статьям, опубликованным в журнале в прошлые годы</p>					
Стаханов В. Транзисторные системы зажигания.— Радио, 1991, № 9, с. 26—29	4	60			
Наседкин М. Октан-корректор — в бесконтакт-	6	59			

КВ тюнер. Г. Соловьев	6	21	Тонкомпенсированный регулятор громкости в магнитофоне. Е. Сероваткин, А. Кирушин	6	46
«Ирень-401» принимает третий канал телевидения. И. Севастьянов	8	29	Включение устройств СШП в режимах записи. А. Шихатов	6	46
Синхронный АМ детектор на одной микросхеме. М. Евсиков	8	43	Любителям четырехдорожечной записи на кассетном магнитофоне. Н. Новых	7	25
УКВ конвертер. И. Александров	8	44	Вторая жизнь плеера. УВ с низковольтным питанием. А. Игунов. Преобразователь питания для плеера. П. Сукозев	7	36
Повышение устойчивости приема «Ленинград-006-стерео». Г. Воронин	9	28	Изменение включения регулятора громкости в магнитофоне. В. Голик	8	26
Доработка «Меридиана-235». С. Мальцев	10	27	Восстановление компакт-кассет. Д. Коломойцев	8	29
Доработка радиоприемника «Меридиан РП-348». В. Петелин	8	41	СДП-2 в магнитофоне с однополярным питанием. В. Таран	8	29
Радиомикрофон. И. Севастьянов	10	44	Устранение шумовых влияний. В. Василенко	8	41
Повышение надежности приемника «Ирень-401». А. Радужевич	11	18	Устранение магнитного влияния. А. Тесля	10	27
Увеличение чувствительности приемников «ВЭФ». А. Порохнюк	11	23	Снижение акустического шума. С. Карелин	11	16
АМ приемник с возможностью приема на одной боковой полосе. И. Нечаев	11	37	Использование индикатора в режиме воспроизведения. В. Иваненко	11	26
Синхронный АМ детектор. А. Руднев	11	39	Снижение уровня шума при записи. С. Гуреев	11	42
Конвертеры ВЧ диапазонов. И. Нечаев	12	29	Повышение скорости перемотки в плеере. И. Севастьянов	11	44
Еще раз о питании радиоприемников от сети. И. Нечаев, В. Банников	12	52	Устранение щелчков при включении. А. Бугай	11	60

Ответы на вопросы по статьям, опубликованным в журнале в прошлые годы

Огорельцев С. Простой стереогенератор.— Радио, 1989, № 3, с. 60, 61	1	73
Прилуков Г. и О. КВ радиовещательный приемник.— Радио, 1990, № 5, с. 48—50	2-3	71
Власов В. Простой ЧМ детектор.— Радио, 1991, № 10, с. 69—71	7	60

ЗВУКОТЕХНИКА

«25АС-109» — фазоинвертор. А. Терсков	1	53
Мостовой усилитель мощности ЗЧ. Г. Брагин	10	61
Миниатюрные стереофонические телефоны со свободными излучателями. Александр и Владимир Зинины	2-3	38
Светодиодный индикатор мощности АС. А. Парфенов	2-3	45
Доработка предварительного усилителя. Н. Горбунов	2-3	65
Устройство подавления обратной акустической связи. (По страницам зарубежных журналов)	2-3	66
Оптронная система защиты АС. А. Терсков	4	37
Устранение щелчка в «Арктуре-006-стерео». С. Халенский	5	21
Сферическая АС. О. Плеханов	6	39
Автомобильный стереофонический УМЗЧ. В. Парфенов, А. Парфенов	7	30
Блок электронного регулирования громкости и тембра. А. Терсков	7	34
Таймер в «Прибое-201». Е. Иозеф	7	34
Новь о псевдоквадрафонии. Е. Петров	8	42
О повышении качества звучания АС. А. Фрунзе	9	44
см. также 10—39, 11—40, 12—25.		
Устранение щелчков в АС. М. Грибов	10	32
Доработка «Лидера-206-стерео». А. Милоков	10	32
Доработка динамических головок. А. Четвериков	11	18
Активный регулятор тембра. Д. Гусаков	11	45

Ответы на вопросы по статьям, опубликованным в журнале в прошлые годы

Сухов Н. Регулятор громкости и тембра.— Радио, 1990, № 10, с. 58—61	1	74
Дорофеев М. Режим В в усилителях мощности ЗЧ.— Радио, 1991, № 3, с. 53—56	4	61
Солдатенко А. Устранение щелчков в громкоговорителе.— Радио, 1991, № 1, с. 59	2-3	72
Колосов Д. Релейный коммутатор входов.— Радио, 1991, № 11, с. 52, 53	1	74
Прокопенко Н. Электронный регулятор громкости с распределенной частотной коррекцией.— Радио, 1990, № 2, с. 69—71	2-3	71
Луньков Н. Удвоитель частоты ГСП.— Радио, 1991, № 3, с. 57, 58	2-3	71
Гурин С. Акустическое оформление громкоговорителя.— Радио, 1991, № 4, с. 50—52	2-3	72
Сухов Н. Адаптивное подмагничивание или снова о динамическом.— Радио, 1991, № 6, с. 52—56; № 7, с. 53—58	4	60
см. также 5—59, 6—60.		
Шачнев В. Схемотехника мини-магнитофонов.— Радио, 1991, № 6, с. 66—72	5	59
Карелин С. Электронный селектор входов с малыми искажениями.— Радио, 1991, № 4, с. 52, 53	7	60
Колосов Д. Релейный коммутатор входов.— Радио, 1991, № 11, с. 52, 53	8	60
Вильчинский В. Устройства преобразования аналоговых сигналов.— Радио, 1991, № 11, с. 48—52; № 12, с. 47—50	9	59
Зинины Александр и Владимир. Стереофонические телефоны со свободными излучателями.— Радио, 1991, № 6, с. 48—52	9	59
	10	60

ЭЛЕКТРОННЫЕ МУЗЫКАЛЬНЫЕ ИНСТРУМЕНТЫ

Музыкальный синтезатор. Е. Петров	1	26
см. также 2-3—52, 4—39, 10—61.		
Микросхемы для ЭМИ. П. Алешин	10	42
Цифровой музыкальный синтезатор. А. Студнев	11	24
	12	35

ИЗМЕРЕНИЯ

Осциллографический пробник. Н. Семанкин	1	49
Измеритель добротности. (По страницам зарубежных журналов)	10	61
Измерительные генераторы. О. Старостин	1	68
см. также 4—27 и 5—20.	2-3	48
Радиочастотный пробник. Г. Шульгин	5	22
Несложный функциональный генератор. А. Ладья	6	44
Высокочастотный милливольтметр с линейной шкалой. А. Пугач	7	49
СВЧ генератор. В. Жук	8	35
	9	39
Улучшенный кварцевый генератор на логических микросхемах. К. Тагильцев	9	42
Предварительный делитель частоты на диапазон 50...1500 МГц. В. Жук	10	46

Приборы радиоизмерительные. Осциллографы.
О. Сторостин

Ответы на вопросы по статьям, опубликованным в журнале в прошлые годы
Ануфриев Л. ГЧК универсальный.— Радио, 1991, № 2, с. 58—63
см. также 7—60, 9—60.
Измеритель емкости конденсаторов.— Радио, 1990, № 7, с. 75
Снова о С1-94... Замена ЭЛТ 8ЛОТ1 (предложение А. Вьюхиной).— Радио, 1984, № 5, с. 61
Снежко В. Малогабаритный мультиметр.— Радио, 1991, № 12, с. 54—57

ЦИФРОВАЯ ТЕХНИКА

Восьмиразрядный АЦП. Б. Матанцев
Применение микросхем серии К555. С. Алексеев
Применение микросхем серии 564. С. Алексеев

ИСТОЧНИКИ ПИТАНИЯ

Источник питания повышенной мощности. Г. Гвоздичий
Реверсирующая приставка к зарядному устройству. В. Фомин
Сетевой блок питания для домашней лаборатории. А. Ануфриев
Упрощенный стабилизатор напряжения с двойной защитой от перегрузки. Б. Галацкий
Регулятор напряжения с фазоимпульсным управлением. А. Леонтьев, С. Лукаш
Зарядно-питающее устройство. В. Шамис
Доработка блока питания БП-3. Е. Савицкий
Преобразователь напряжения для авометра. И. Александров
Светодиод в низковольтном стабилизаторе напряжения. П. Алешин

Ответы на вопросы по статьям, опубликованным в журнале в прошлые годы
Янцев В. Комбинированный блок питания.— Радио, 1991, № 9, с. 32—34
Нечаев И. Комбинированный лабораторный блок. Радио, 1991, № 6, с. 61—63
Калашник В. Стабилизатор напряжения.— Радио, 1991, № 8, с. 85
Прытков С. Тритерийный эффект в стабилизаторах на К142ЕН4.— Радио, 1991, № 10, с. 35

«РАДИО» — НАЧИНАЮЩИМ

Школа начинающего радиолубителя
Слово о деталях: диод. В. Сергеев
Как снять характеристику диода
Занимательные эксперименты (два выпрямителя — от одной обмотки; полярность питания — автоматически; регулятор мощности — на одном диоде; управление люстрой по двум проводам; «диодный» пробник; электронная защита). В. Маслаев
Лаборатория — в чемодане
Емкость конденсатора — по шкале омметра
Вольтметр переменного тока. Ваттметр. Блок питания для «Славы». Ю. Верхало
Полярность — без приборов
Слово о деталях: стабилизатор. Б. Сергеев
Занимательные эксперименты (простейший генератор шума; необычный «генератор» импульсов; стабилизатор — ограничитель напряжения; как «растянуть» шкалу вольтметра). В. Маслаев
Самодельный блок питания? Нет ничего проще. Ю. Николаев
Приставка-стабилизатор
«Вечный» паяльник. С. Борисов
Знаете ли вы, что... Ю. Прокопцев
см. также 6—49, 8—48, 10—55, 12—43, 45
Слово о деталях: биполярный транзистор. Б. Сергеев
см. также 8—48, 10—48, 12—40.
Занимательные эксперименты. В. Маслаев
Транзистор «чувствует» температуру; транзистор — усилитель постоянного тока; что такое составной транзистор; транзистор — усилитель переменного тока

11 46
12 46
4 61
8 61
8 61
10 61

Транзистор — переменный резистор; транзистор — стабилизатор
Транзистор — выпрямитель; транзистор — светочувствительный датчик; транзистор — фотоэлемент солнечной батареи
На одном транзисторе (сигнализатор наполнения ванны; пробник-генератор; измеритель RC). Ю. Верхало
На двух транзисторах («живая» маска; исчезающая звезда; переклочатель малогабаритных гирлянд; светомузыка на елке; сверхчувствительный микрофон). Ю. Николаев
«Поющие» приборы (пробник; испытатель транзисторов; вольтметр). Ю. Верхало

8 51
10 50
6 54
10 52
12 43

Автоматический выключатель освещения. Р. Саламов
Электронный метромом. И. Нечаев
Управляемый симисторный регулятор. Н. Таланов, В. Фомин
Супертелефон с АОН. А. Гришин
Емкостное реле. И. Нечаев
Переговорное устройство «Кто там?». Ю. Прокопцев
Радиоприемник — мегафон. И. Александров
Звонок стал кодовым. Д. Синьков

2-3 56
2-3 62
5 52
7 53
9 48
9 52
9 54
12 45

Модернизация приемника «Кварц». А. Сучинский
Радиоприемник на двух микросхемах. Ю. Прокопцев
Детекторный приемник — на базе ТВС. В. Хомицкий
Заземление для радиоаппаратуры. В. Порохов
Ремонт приемника из деталей «Радиоконструктора». Ю. Георгиев
Вторая «жизнь» старого радиоприемника. Ю. Прокопцев

2-3 60
5 50
9 51
9 51
9 55
11 54

Приставка-измеритель емкости к авометру Ц4341. В. Власов
Многофункциональный генератор. И. Нечаев
Доработка осциллографа «ОР-1». А. Суворов
О частотомере «ЧЦ-1». А. Раффо

2-3 58
7 48
7 54
7 54

«Третья рука» — из двух штативов. С. Потапов
Кнопочный переключатель — из реле. Т. Караваяев
Насадка на шуп. И. Толстов
Кнопка — из светодиода. А. Кондратьев
«Зажим» для транзистора. А. Дмитриев
Малогабаритный диодный мост. О. Юдин
Безразмерная ванночка. В. Лимантас

2-3 61
7 52
9 55
11 53
11 55
11 57
11 57

Электронный светфор. С. Засухин
Видеомонитор-игрушка. С. Цецулин
Игровой автомат «Ринг». В. Андрушкевич
Электромузыкальные игрушки (метромом музыканта; электронная гитара; музыкальный карандаш). Ю. Николаев
Игра «Кто сильнее»
Новогодние гирлянды. «Ветущие огни» для малогабаритной елки. И. Нечаев. Комбинированный выключатель одной гирлянды. Н. Семкин. «Беспомеховый» переключатель гирлянд. П. Площанский

2-3 55
5 51
5 54
8 53
8 54
11 50

По следам наших публикаций. «Цифровой частотомер (1—76)», «Электронный звонок на одном транзисторе» (5—55), «Характернограф для транзисторов» (9—53), «ДУ Василия Белецкого» (11—56).

Ответы на вопросы по статьям, опубликованным в журнале в прошлые годы
Яковлев Б. Электронный звонок на одном транзисторе.— Радио, 1991, № 2, с. 81
Нечаев И. Приемник прямого усиления с переменной полосой пропускания.— Радио, 1990, № 2, с. 78, 79
Сазонов П. Испытатель транзисторов.— Радио, 1991, № 5, с. 60—63
см. также 5—60.

1 74
2-3 72
2-3 72

«Переключатель световых эффектов». (По следам наших публикаций). Усовершенствованное, предложенное А. Луценко.— Радио, 1991, № 4, с. 75—78

7 60

Нечаев И. УКВ приставка к трехпрограммному громкоговорителю. — Радио, 1990, № 4, с. 78—80 8 60

РАДИОЛЮБИТЕЛЬСКАЯ ТЕХНОЛОГИЯ

Ремонт динамической головки. М. Магомедов 1 57

Восстановление дисковых аккумуляторов. В. Погарский 1 57, см. также 10—61.

Пульт управления. А. Красовский. Если винт не вывертывается. А. Недзвецкий. Бандаж из ПВХ ленты. Е. Савицкий. Изготовление малоразмерного трансформатора. Л. Любушин 2-3 64

Чтобы легко снимались ручки управления. О разрушении серебряных покрытий. В. Левашов. Изготовление светофильтра. А. Рябов. Как улучшить контакт. В. Сотник. Как сматывать провод с бухты. В. Кудряшев 5 16

Стержень паяльника — из датуна. Д. Кублей. Жало для печатного монтажа. В. Тартаковский. Изготовление жала паяльника «Момент». С. Заяц. Флюс для пайки. Д. Грек 7 56

Восстановление... микросхем серии К142. Н. Иванов. ...переменного резистора. В. Левашов. ...динамической головки. М. Магомедов. ...люминесцентного индикатора. А. Дмитриченко 9 56

Беспаянный монтаж микросхем. Ю. Воробьев. «Антистатический» браслет. Ю. Кузнецов. Приготовление хлорного железа. А. Злотников 10 59

СПРАВОЧНЫЕ МАТЕРИАЛЫ

Микросхемы для видеоаппаратуры. В. Круглов, Б. Степанов. К174АФ1, К174ГЛ1, К174ГЛ1А, К174УК1, К174УП1, К174УР1, К174УР2, К174УР4, К174УР5, К174УР10, К174ХА1, К174ХА8 1 71 9 60

К174ХА11, К174ХА16, К174ХА17, К174ХА20, К174ХА24, К174ХА25, К174ХА27, К174ХА28, К174ХА31 — К174ХА33, КР1051УР1, КР1051УР2 2-3 69

КР1051УР3, КР1051ХА8, КР1021УР1. 4 57

Фотоприемники. М. Бараночников. Фотоэлементы (Ф-32С — Ф-42С, Ф-44С, Ф-45С, Ф-50С, Ф-52С, Ф-54С, Ф-55С, ФЭ-139С) 4 57, см. также 5—57, 6—57.

Фототранзисторы (ФТ-1К, ФТ-2К, ФТ7Б, ФТ7Б-01, ФТ-8К, ФТ-1, ФТ-1Г — ФТ-3Г, ФТГ-1, ФТГ-3 — ФТГ-5) 6 58, см. также 7—57, 8—58.

Маркировка микросхемных стабилизаторов. А. Абакумов, А. Овсенев 8 58

Счетчики Гейгера (СБМ9 — СБМ12, СБМ19 — СБМ21, СБМ30 — СБМ32-К, СБТ7, СБТ9 — СБТ11, СИ8Б, СИ13Б, СИ14Б, СИ19Г — СИ22Г, СИ23БГ, СИ24БГ, СИ29БГ, СИ34Г, СИ37Г). Ю. Виноградов 9 57

Международная цветовая маркировка резисторов и конденсаторов 10 57

Диоды серий КД257, КД258. Н. Орлова, А. Нефедов 11 59

Транзисторы серии КТ850. Л. Ломакин 11 59

Микросхемы КР142ЕП1А, КР142ЕП1Б, А. Нефедов 12 51

Ответы на вопросы по статье Круглова В., Степанова В. «Микросхемы для видеоаппаратуры» (Радио, 1991, № 1, с. 71, 72) 9 60

НАША КОНСУЛЬТАЦИЯ*

Хотите стать нашим автором? 1 70

Радиокурьер 1—12

ФИРМА "РИКОН"

ВЫШЛЕТ ВАМ КОМПЛЕКТ ДОКУМЕНТАЦИИ: схему электрическую принципиальную, описание функционирования, чертеж печатной платы любого из названных ниже устройств, которые Вы сможете самостоятельно изготовить и наладить:

1. ЦИФРОВЫЕ ИЗМЕРИТЕЛЬНЫЕ УСТРОЙСТВА:

- а) логический анализатор радиолюбителя;
- б) цифровой LC-метр;
- в) цифровой синтезатор частоты (48...78 МГц);
- г) анализатор "прошивки" EPROM;
- д) цифровой фазометр;
- е) цифровой функциональный генератор;
- ж) простой EPROM-программатор.

2. РАСШИРИТЕЛЬНЫЕ ПЛАТЫ И БЛОКИ, УСТРОЙСТВА КОНТРОЛЯ ДЛЯ РС ЭВМ:

- а) простой тестер протокола RS-232;
- б) мультиметр на базе РС ЭВМ;
- в) РС ЭВМ как эмулятор EPROM;
- г) ЦАП/АЦП к интерфейсу Centronics;
- д) EPROM-программатор;
- е) устройство контроля и анализа работы НГМД;
- ж) устройство контроля и анализа работы жесткого диска;

- з) модем для работы через электрическую сеть.

3. УСТРОЙСТВА ДЛЯ РАБОТЫ С ШИННОЙ I²C:

- а) интерфейс шины к РС ЭВМ;
- б) ЦАП и АЦП к шине;
- в) дисплей для шины I²C;
- г) микроконтроллер для шины I²C.

4. ВСПОМОГАТЕЛЬНЫЕ УСТРОЙСТВА:

- а) устройство контроля точности хода наручных часов;
- б) преобразователь напряжения для автомобиля (12 В/220 В, 50 Гц; 60 Вт);
- в) аудио-скремблер (кодер-декодер);
- г) детектор наличия СО в газах;
- д) отпугиватель комаров;
- е) приемник и передатчик звукового сопровождения на ИК лучах.

По Вашему запросу мы вышлем необходимые комплектующие изделия для этих устройств.

Цена комплекта документации одного устройства — 45 руб. Деньги направлять ПОЧТОВЫМ ПЕРЕВОДОМ, обязательно указав на бланке Ваш полный адрес и необходимые комплекты (например, 1а, 2е, 3б и т. д.) по адресу: 113556, Москва, ул. Болотниковская, 6Б, фирма "РИКОН", Кураеву А.А.

Телефон (095) 110-57-54. Факс (095) 110-05-02.

По Вашему запросу мы также вышлем:

— **КНИГИ:** Х. Криббель. Схемы любительских электронных устройств. Дж. Уитсон. 500 практических схем на ИС;

— **КОМПЛЕКТУЮЩИЕ ИЗДЕЛИЯ И УСТАНОВочные ЭЛЕМЕНТЫ ЗАРУБЕЖНОГО ПРОИЗВОДСТВА** за рубли по ценам НИЖЕ РЫНОЧНЫХ для сборки всех названных, а также описанных в книгах устройств, или ремонта компьютеров, факсов, копировальных и других импортных аппаратов.

* Материалы этого раздела включены в соответствующие тематические разделы содержания.

ВЛАДЕЛЬЦЫ телефонных станций "Квант"!

АРМ оператора АТСКЭ "Квант"
на базе персонального компьютера
типа IBM PC/AT -
это то, что Вам нужно!

Наш АРМ это:

- удобство пользователя,
- дружественный интерфейс,
- дополнительные возможности.

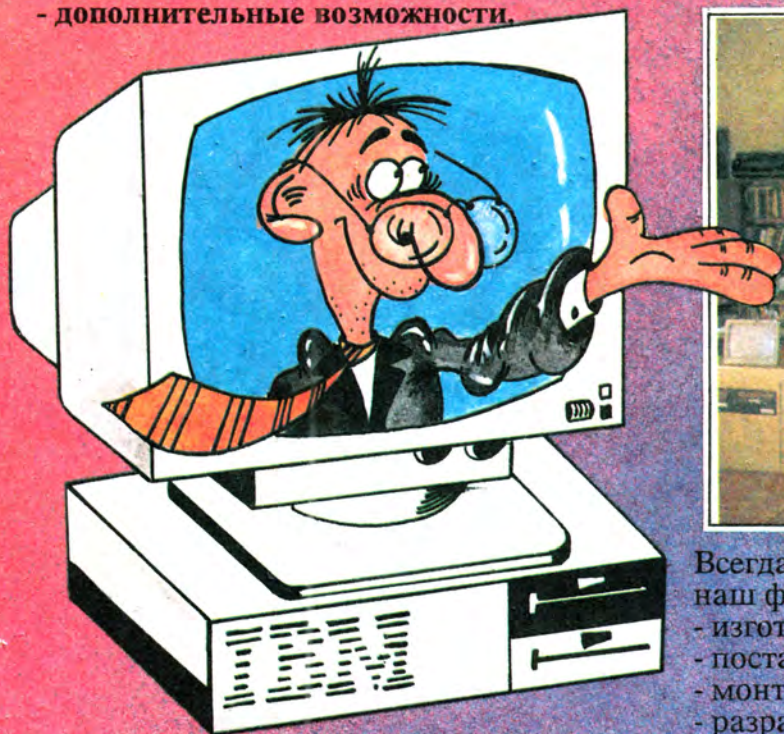
Один раз увидев, Вы не сможете
отказаться!

Индекс 70772

РАДИО

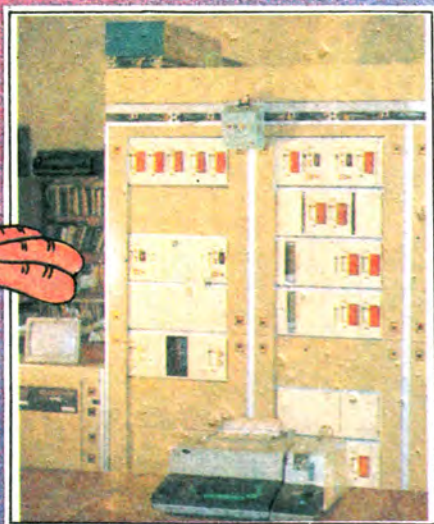
12/92

1-64



"КВАНТ-СЕРВИС" - это работы

- любой сложности,
- с высоким качеством,
- по умеренным ценам.



Всегда в Вашем распоряжении
наш фирменный набор услуг:

- изготовление проектов,
 - поставка оборудования,
 - монтаж и настройка,
 - разработка и наладка ПО,
 - сервисное обслуживание,
 - ремонт оборудования,
- а также другие работы по
Вашему желанию.

КВАНТ

Наш адрес: Россия, 644007,
г. Омск, ул. Яковлева, 143.
Телефон (3812) 24-00-37.
Телефакс 25-67-60.

СЕРВИС

